

radio und fernsehen

Zeitschrift für Radio • Fernsehen • Elektroakustik und Elektronik

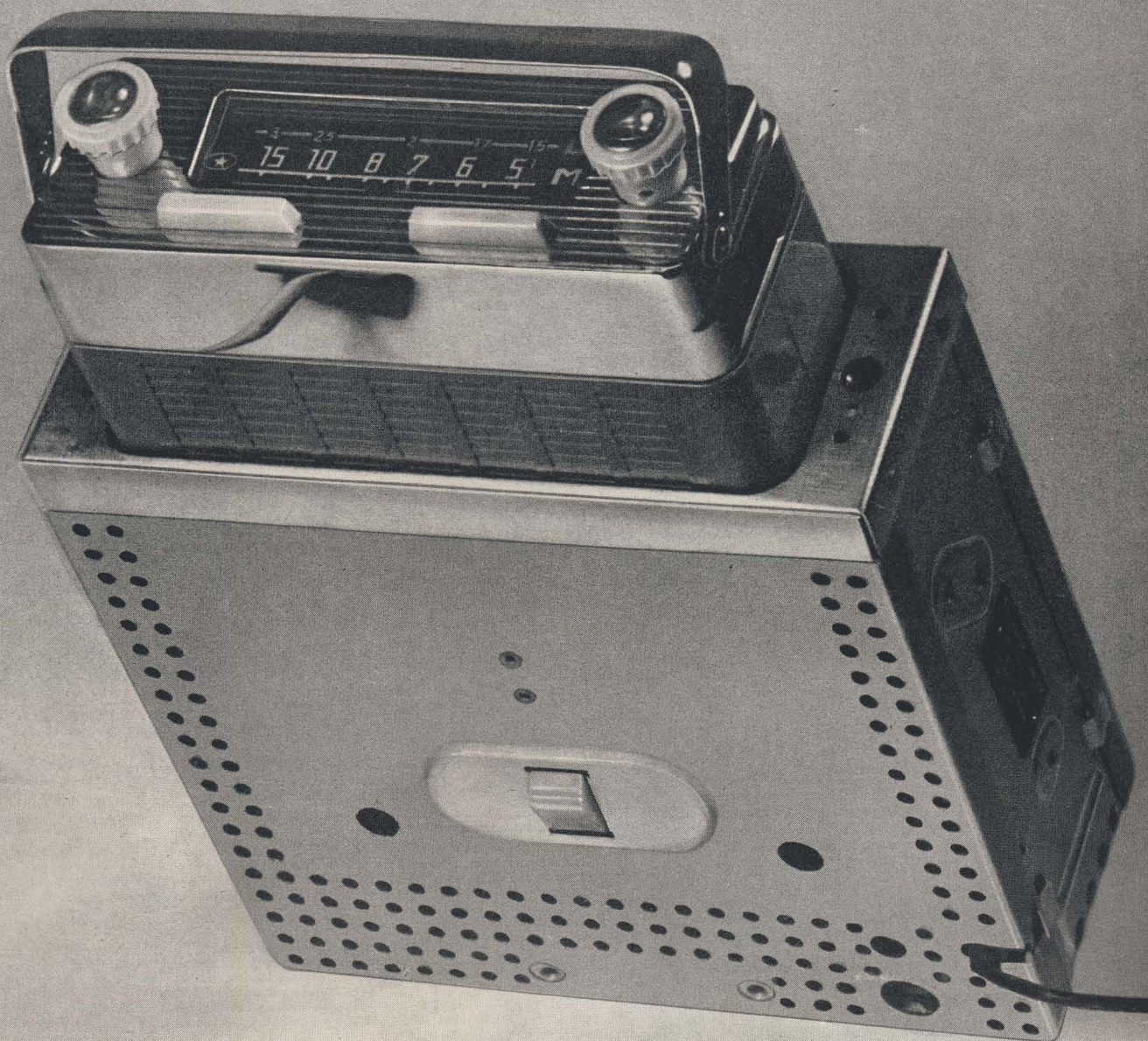
Autoportable A 110-1

PREIS DM 2,00 • 13. JAHRGANG

VERLAGSPOSTORT LEIPZIG • FÜR DBR BERLIN

FEBRUAR 1964

4



VEB VERLAG TECHNIK • BERLIN



AUS DEM INHALT

Nachrichten und Kurzberichte	98
Neue elektronische Meßgeräte aus dem VEB Funkwerk Erfurt, Teil 1	99
Ing. Erich Pohl Autoportable A 110-1	103
Klaus Schulze Die Messung der Leitwertparameter von Transistoren mit der Scheinleitwertmeßbrücke SWM 3	106
Dipl.-Ing. G. Kurz Die Helligkeits- und Kontrasteinstellung beim Fernsehempfänger	107
Dipl.-Ing. A. Seidel Ein interessanter FM-Demodulator	110
Netzgerät zum Selbstbau	112
Halbleiterinformationen (55) SV-Typen (Varistoren)	113
Ing. Winfried Müller Neue Kaltkathoden-Relaisröhren und einige Anwendungshinweise: Z 860 X, Z 861 X, Z 660 W, Teil 2 und Schluß	115
Dipl.-Ing. W. Krause Berechnung eines Differenzverstärkers mit Transistoren	117
Dipl.-Ing. A. Möschwitzer Der Dünnschichttransistor — ein neues aktives Bauelement	121
Aus der Reparaturpraxis	125
Referate	128

VEB VERLAG TECHNIK

Verlagsleiter: Dipl. oec. Herbert Sandig
Berlin C2, Oranienburger Straße 13/14.
Telefon 420019, Fernverkehr 423391, Fernschreiber 011441 Technikammer Berlin (Technikverlag), Telegrammadr.: Technikverlag Berlin
radio und fernsehen
Verantw. Redakteur: Dipl. oec. Peter Schäffer
Redakteure: Adelheid Blodszun, Ing. Karl Belter, Ing. Horst Jancke
Veröffentlicht unter Liz.-Nr. 1109 des Presseamtes beim Vorsitzenden des Ministerrates der Deutschen Demokratischen Republik

Alleinige Anzeigenannahme:

DEWAG-WERBUNG BERLIN, Berlin C2, Rosenthaler Str. 27/31 u. alle DEWAG-Betriebe und Zweigstellen in den Bezirken der DDR.
Gültige Preisliste Nr. 1

Druck: Tribüne Druckerei Leipzig III/18/36
Alle Rechte vorbehalten. Auszüge, Referate und Besprechungen sind nur mit voller Quellenangabe zulässig.
Erscheint zweimal im Monat, Einzelheft 2,—DM

OBŠAH

Oznámení a zprávy	98
Nové elektronické měřicí přístroje z podniku „Funkwerk Erfurt“ (NDR), díl první	99
Ing. Erich Pohl Přenosný autopřijímač A 110-1	103
Klaus Schulze Měření admitančních parametrů tranzistorů pomocí můstku SWM 3	106
Dipl.-Ing. G. Kurz Nastavení jasu a kontrastu u televizoru	107
Dipl.-Ing. A. Seidel Zajímavý FM-demodulátor	110
Pro amatéry: síťový zdroj	112
Informace o polovodičích (55) Typy SV (varistory)	113
Ing. Winfried Müller Nové spínací výbojky se studenou katodou — Z 860 X, Z 861 X, Z 660 W — a několik pokynů k použití; díl druhý a závěr	115
Dipl.-Ing. W. Krause Výpočet diferenčního zesilovače s tranzistory	117
Dipl.-Ing. A. Möschwitzer Tranzistor z tenkých vrstev — nový aktivní stavební prvek	121
Z opravářské praxe	125
Referáty	128

Redaktionsausschuß:

Ing. H. Bauermeister, Ing. E. Böttke, Dipl.-Phys. H. J. Fischer, Ing. R. Gärtner, Dr.-Ing. H. Henniger, Ing. G. Hossner, H. Jakubasch, Ing. G. Kuckelt, Ing. F. Kunze, Dipl.-Ing. H.-J. Loßack, Ing. K. Oertel, Dr. W. Rohde, Dipl.-Ing. K. Schlenzig, Ing. K. Strenge, Ing. J. Werner, H. Ziegler

Bestellungen nehmen entgegen

Deutsche Demokratische Republik: Sämtliche Postämter, der örtliche Buchhandel, die Beauftragten der Zeitschriftenwerbung des Postzeitungsvertriebes und der Verlag
Deutsche Bundesrepublik: Sämtliche Postämter, der örtliche Buchhandel und der Verlag
Auslieferung über HELIOS Literatur-Vertriebs-GmbH, Berlin-Borsigwalde, Eichborndamm 141—167

Ausland:

Volksrepublik Albanien: Ndermarja Shetnore Botimeve, Tirana
Volksrepublik Bulgarien: Direktion R. E. P., Sofia, 11a, Rue Paris
Volksrepublik China: Guozi Shudian, Peking, 38, Suchou Hutung
Volksrepublik Polen: P. P. K. Ruch, Warszawa, Wilcza 46
Rumänische Volksrepublik: Directia Generala a Postei si Difuziarii Presei Politur Administrative C. F. R. Bukarest
Tschechoslowakische Sozialistische Republik: Orbis Zeitungsvertrieb, Praha XII, Vinohradská 46 und Bratislava, Leningradska ul. 14
UdSSR: Die städtischen Abteilungen „Sojuzpesschat“, Postämter und Bezirkspoststellen
Ungarische Volksrepublik: „Kultúra“ Könyv és hírlap külkereskedelmi vállalat, P. O. B. 149, Budapest 62
Für alle anderen Länder: VEB Verlag Technik, Berlin C2, Oranienburger Straße 13/14

СОДЕРЖАНИЕ

Известия и краткие сообщения	98
Новые электронные измерительные приборы завода «ФЭБ Функверк Эрфурт», ч. 1-я	99
Инж. Эрих Польш Автомобильный приемник А 110-1	103
Клаус Шульце Измерение у-параметров транзисторов измерителем полных проводимостей типа SWM 3	106
Диплом-инж. Г. Курц Регулировка контрастности и яркости в телевизорах	107
Диплом-инж. А. Зейдель Любопытная схема частотного детектора	110
Самодельный блок питания	112
Информация о полупроводниковых приборах (55) Варисторы типа SV	113
Инж. Винфрид Мюллер Безнакальные релейные лампы Z 860 X, Z 861 X, Z 660 W и некоторые примеры их использования; ч. 2-я и окончание	115
Диплом-инж. В. Краузе Расчет дифференциального усилителя на транзисторах	117
Диплом-инж. А. Мёшвицер Новый нелинейный элемент — тонкопленочный транзистор	121
Из работы ремонтных мастерских	125
Рефераты	128

CONTENTS

Information and Reports	98
New Electronic Measuring Instruments from VEB Funkwerk Erfurt (Part 1)	99
Ing. Erich Pohl Autoportable A 110-1	103
Klaus Schulze The Measurement of Transistor Conductance Parameters Using the SWM 3 Admittance Bridge	106
Dipl.-Ing. G. Kurz The Brightness and Contrast Adjustment of the TV-Receiver	107
Dipl.-Ing. A. Seidel An Interesting F. M. Demodulator	110
Mains Unit for Home Construction	112
Semiconductor Informations (55) SV Types (Varistors)	113
Ing. Winfried Müller New Cold-Cathode Relay Tubes and Some Instructions for Use: Z 860 X, Z 861 X and Z 660 W (Part 2 and Conclusion)	115
Dipl.-Ing. W. Krause Design of a Transistor-Equipped Difference Amplifier	117
Dipl.-Ing. A. Möschwitzer The Thin-Film Transistor, a New Active Component Part	121
Repair Practice	125
Abstracts	128



Titelbild:

Ein interessantes Gerät aus der Produktion des VEB Stern-Radio Berlin ist dieser Autoportable A 110-1, der auf Seite 103 ausführlich beschrieben wird.

Ich bin schon jahrelang Abonnent Ihrer Zeitschrift „radio und fernsehen“ und erwarte jedesmal mit Ungeduld die neue Ausgabe. Sie war mir bisher stets eine Quelle der Weiterbildung, und ich möchte hiermit der Redaktion meinen Dank für die sehr abwechslungsreiche und lehrreiche Gestaltung dieser Zeitschrift aussprechen. — Möge sie auch im Jahr 1964 in diesem Sinne fortfahren und den Werktätigen unserer Republik behilflich sein, sich ständig weiterzubilden und zu qualifizieren.

H. D., Wilkau-Haßlau

*

Betrifft: Titelbild „radio und fernsehen“ 12 (1963) H. 24.

Oh — wenn Sie dazu eine Bauanleitung veröffentlichen könnten ...! Herzliche Grüße und die besten Wünsche für 1964

Ihr treuer Leser
R. L., Merseburg Süd

*

Als langjähriger Abonnent Ihrer Zeitschrift wende ich mich mit einer Bitte an Sie. Für ein Meisterstück (den von Ihnen veröffentlichten Wobbelbaustein sowie Markengeber) ist es mir trotz aller Anstrengung nicht möglich gewesen, die drei Potentiometer 100 Ω lin., sowie Schwingquarze 1 MHz und 5,5 MHz aufzutreiben. Ich wäre Ihnen sehr dankbar, wenn Sie mir einen Hinweis geben könnten, wo diese Teile erhältlich sind.

H. S., Glauchau/Sa.

Wir sind erstaunt, daß Sie als langjähriger Abonnent unserer Zeitschrift nicht wissen, daß wir prinzipiell keine Bezugsquellen für Teile usw. nachweisen können, obwohl wir dies verschiedentlich schon in unserer Zeitschrift zum Ausdruck brachten. Für diese Fragen ist der Handel zuständig, und wir sind nicht in der Lage, ihm seine Arbeit abzunehmen, auch wenn er sie manchmal nicht richtig macht. Sie werden einsehen, daß wir einen Riesenstab von Mitarbeitern brauchen, wenn wir regelmäßig feststellen sollten, in welchem Ort der DDR es welche Teile zu kaufen gibt. Wir bedauern, Ihnen nicht helfen zu können.

*

Betr.: Heft 6, März 1963, S. 189 (Bauanleitung für einen Transistorempfänger). Ich wäre Ihnen sehr dankbar, wenn Sie mir die richtige Anzahl der erforderlichen Windungen für die Oszillatorschaltung mitteilen würden. Laut Bild 1 des genannten Beitrages hat sie 70 Windungen, gemäß Bild 5 soll sie 10 Windungen haben.

P. Z., Leipzig N 22

Bei der Veröffentlichung der genannten Bauanleitung ist uns ein Fehler unterlaufen, den Sie und andere Leser beim Nachbau bemerkten. Das Bild 1 ist maßgebend für die Oszillatorschaltung. Die Angabe „10 Windungen“ im Bild 5 ist ein Zeichen- bzw. Schreibfehler. Richtig muß es „70 Windungen“ heißen.

Eine entsprechende Berichtigung haben wir in unserem Heft 16 (1963) auf der Nachrichtenseite veröffentlicht. Wir bitten für diesen Fehler um Entschuldigung.

Im nächsten Heft finden Sie unter anderem ...

- Gegentakt-B-Verstärker mit Transistoren ●
- Labor- und Berechnungsunterlagen ●
- Netzwerkberechnungen
- Knotenpunkt- und Maschensatz
- Einiges über die Zuverlässigkeit von Bauelementen und Geräten ●
- Der Mischvorverstärker „Tonmixer“ am Heimbandgerät BG 20-6 ●
- Gehäuse für Transistorkleinempfänger ●

UNSERE LESER SCHREIBEN

Unter „Unsere Leser schreiben“ im Heft 18 des Jahrgangs 1963 wird der Umbau des TV-Empfängers „Rubens“ auf 43-cm-Bildröhre erwähnt. Da ich auch an solchem Umbau interessiert bin, möchte ich Sie bitten, mir mitzuteilen, in welchem Heft diese Umbauanleitung veröffentlicht wurde. Umfaßt diese Veröffentlichung auch die Umstellung vom Parallelton- auf Interkarriertton-Verfahren? Oder gibt es dafür eine besondere Anleitung?

H. G., Sommerfeld/Kr. Oranienburg

Die Umbauanleitung des TV-Empfängers „Rubens“ auf 43-cm-Bildröhre erschien in 9 (1960) H. 10 S. 317 und 318 („Aus der Reparaturpraxis“). Der Umbau von Parallelton- auf Interkarrierttonverfahren hat nichts damit zu tun und wird natürlich in diesem Zusammenhang nicht beschrieben.

Eine Veröffentlichung zum Umstellen des „Rembrandt“ auf Interkarriertton erschien bereits in 11 (1962) H. 17 S. 541 — vielleicht können Sie damit etwas anfangen.

*

Betr.: Bauanleitung für einen 12-W-Gegentaktverstärker im Heft 18 (1961) S. 588. In der angegebenen Schaltung wird als zweite Verstärkerstufe und Phasenumkehrstufe eine ECC 82 verwendet. In allen mir bekannten Schaltungen findet man an dieser Stelle eine ECC 83. ... Es ist nicht einzusehen, warum eine für diese Zwecke gebaute Röhre, die kleinen Anodenstrom und große Verstärkung besitzt, außerdem speziell brumm- und klingarm ist, durch eine Röhre ersetzt wird, die: 1. für Oszillatoren im HF-Gebiet gebaut ist, 2. kleinere Verstärkung bei wesentlich größerem Anodenstrom besitzt. Die Schaltung ist scheinbar für die ECC 83 vorgesehen. Denn bei einem $R_a = 40 \dots 50 \text{ k}\Omega$ arbeitet die ECC 82 im stark gekrümmten Kennlinienbereich, was für NF-Verstärker ja sehr ungünstig sein dürfte!

P. T., Dresden A 28

Ihre Kritik an der Bauanleitung im Heft 18 des Jahrgangs 1961 ist vielleicht etwas sehr „theoretisch“. Nichts gegen Theorie — aber es schadet nie, eine solche mit praktischen Meßergebnissen zu untermauern. Es steht Ihnen natürlich frei, den beschriebenen Verstärker durch Einsatz einer ECC 83 anstelle einer ECC 82 als Phasenumkehrstufe abzuändern. Aber Sie befinden sich im Irrtum mit Ihrer Behauptung, die ECC 82 sei (offenbar vorzugsweise) für HF-Oszillatoren gebaut. Die Röhrenhersteller sind da anderer Meinung; siehe Röhreninformation ECC 82 in unserer Zeitschrift 4 (1955) H. 15 S. 471 und 472. Sie geben eine Phasenumkehrschaltung mit der ECC 82 an, bei der $R_a = R_k = 160 \Omega$ beträgt.

Auch über den Klirrfaktor bei großen Außenwiderständen sagen die dort angeführten Meßergebnisse etwas anderes aus, als in Ihrer Behauptung enthalten. Sie sehen, mit theoretischen Feststellungen, die nicht experimentell überprüft sind, muß man in der Technik sehr vorsichtig sein.

Nachrichten und Kurzberichte

▼ Eine Fernsehrelaisstation, die auch dem Programmaustausch der Intervention zwischen der UdSSR, der CSSR und Ungarn dienen soll, entsteht auf einem Karpatengipfel bei Ushgorod.

▼ Malikustik heißt ein vom Zentralinstitut für Fertigungstechnik, Karl-Marx-Stadt, entwickeltes neues Schallschutzmittel.

▼ Eine Farbradaranlage wurde in Japan entwickelt. Mit dem neuen Gerät, das das Radarbild in verschiedenen Farben wiedergibt, sollen die Bewegungen von Schiffen, Flugzeugen usw. viel leichter verfolgt und auch feste Hindernisse besser erkannt werden können als beim schwarzweißen Schirmbild.

▼ Den von sowjetischen Spezialisten entwickelten Apparat „Elektroschlaf“ haben Wissenschaftler aus Japan, Amerika, Italien und anderen Ländern erprobt und inzwischen in der Sowjetunion gekauft. Das Gerät wirkt mit schwachen Stromimpulsen niedriger Frequenz auf das zentrale Nervensystem ein, und zwar ohne die schädliche Nebenwirkung, die beim Einnehmen von Schlafmitteln über längere Zeit hinweg zu beobachten ist. Anwendung findet der „Elektroschlaf“ bisher bei Hypertonie, Magen- und Zwölffingerdarmgeschwüren, Bronchialasthma, verschiedenen Neurosen mit Schlafstörungen, Sprachstörungen bei Kindern u. a. m. Es wurden ausgezeichnete Erfolge erzielt.

▼ An einem Laser für Augenoperationen, dem sogenannten Ophthalmoskop-Laser, wird am Stanford Medical Center in St. Franzisko gearbeitet. Mit dem Laser wurden bisher zwei Personen mit beschädigter Netzhaut operiert. Das Lasergerät besteht aus einem synthetischen Rubin-kristall von 63 cm Dicke und 760 mm Länge. Es arbeitet mit 6943 Å. Dichromatische Spiegel filtern die Wellenlänge.

▼ An einem Gammastrahlenlaser arbeiten die sowjetischen Wissenschaftler B. V. Chirikov und L. A. Riolin.

▼ Der belgische Fernsehamateurl Jacques Herremann empfängt häufig über eine Entfernung von 450 km (Luftlinie) in guter Qualität die Sendungen des Deutschen Fernsehfunks.

▼ Einen „kybernetischen Kater“ konstruierten Teilnehmer des Zirkels für Amateurkonstruktionen des Pädagogischen Instituts in Stawropol (UdSSR). Mit erstaunlicher Genauigkeit ahmt dieser kybernetische Kater das Verhalten eines lebenden Tieres nach. Er umgeht alle Hindernisse, reagiert auf Laute, schnurrt, wenn er Futter findet usw.

▼ Von dem Prototyp einer Maschine für elektronische Kartografie wird aus Schottland berichtet. Bei dem neuentwickelten Verfahren erübrigt sich eine Reinzeichnung. Die Daten werden unmittelbar vom handschriftlichen Entwurf der Landkarte auf das Magnetband und von dort auf die für den Druck verwendeten Fotonegative übertragen.

▼ Wenn Neutronen auf Wasserstoffatome stoßen, entsteht eine Gammastrahlung. Im Labor für hydrogeologische Probleme „F. P. Sawarenski“ in der Sowjetunion machte man sich diese Eigenschaft des Atoms zunutze. Je nach Intensität der entscheidenden Gammastrahlung läßt sich nämlich der Feuchtigkeitsgehalt des Erdbodens bestimmen und ferner der Abstand zwischen der wassertragenden Schicht und der Erdoberfläche. Ein Gerät, das diese Werte registriert, wird gegenwärtig in den Steppengebieten eingesetzt. Es trägt wesentlich dazu bei, die Kultivierungsarbeiten zu erleichtern.

Stereofonie auf der Leipziger Messe

Die Deutsche Post und die VVB Rundfunk und Fernsehen vermitteln dem Messebesucher in diesem Jahr einen Einblick in ihre Vorbereitungen zur Einführung des Stereoeindrucks. Im Städtischen Kaufhaus zeigt die Rundfunkindustrie Stereoeempfänger mit Transistordecodern. Zur Vorführung des Stereoeindrucks werden Stereosignale von Tonbändern bzw. Schallplatten über eine vom Zentrallaboratorium für Rundfunk- und Fernsehempfangstechnik Dresden entwickelte Codierungseinrichtung einem speziellen Modulator und Verachtacher zugeführt (die letzteren Geräte stellt die Deutsche Post zur Verfügung). Dabei wird das gleiche Pilotverfahren angewandt wie auch zu den Versuchssendungen anlässlich der Ausstellung „40 Jahre Rundfunk in Deutschland“ im Herbst 1963.

Mit dem so gebildeten Hochfrequenzsignal werden die Empfänger gespeist analog dem Empfang mit einer Antenne. Der Besucher kann sich somit ein Urteil über die HF- und NF-Eigenschaften der zunächst für den Export vorgesehenen Rundfunkempfänger bilden.

Auf dem Gemeinschaftsstand des VEB Studioteknik Berlin und des Rundfunk- und Fernsehtechnischen Zentralamtes der Deutschen Post in Halle 15 werden u. a. ein neuentwickeltes volltransistorisiertes Stereomagnetbandgerät (38,1 m/s) sowie Abhöreinrichtungen für Mono- und Stereotechnik in Studioqualität vorgeführt. Hier erhält der Besucher auch Informationen über die wissenschaftlichen Arbeiten des Rundfunk- und Fernsehtechnischen Zentralamtes der Deutschen Post auf dem Gebiet der Stereofonie und Studioanlagen-technik.

Siliziumkarbid-Laser bei Zimmertemperatur

In den Tyco Laboratorien in Waltham, Mass., USA, gelang es, eine Laserdiode aus dem bisher noch nicht benutzten Werkstoff Siliziumkarbid aufzubauen, die

den großen Vorteil hat, bei Zimmertemperatur zu arbeiten. Die Stromdichte betrug 120 A/cm. Das ausgestrahlte kohärente Licht hatte eine Wellenlänge von 4560 Å.

Elektron 1 und 2

In der UdSSR wurden am 30. 1. 1964 die beiden kosmischen Stationen „Elektron 1“ und „Elektron 2“ auf wesentlich voneinander abweichende Umlaufbahnen um die Erde gebracht. Die Parameter für beide Stationen werden wie folgt angegeben.

	Elektron 1	Elektron 2
Perigäum	406 km	460 km
Apogäum	7100 km	68 200 km
Umlaufzeit	2 h 49 min	22 h 40 min
Neigungswinkel zur Äquatorebene	61°	61°

Die Sender der beiden Stationen arbeiten auf folgenden Frequenzen: 19,943 MHz; 19,954 MHz; 20,005 MHz; 30,0075 MHz und 90,225 MHz. Die Hauptaufgabe der beiden kosmischen Systeme ist das gleichzeitige Studium des inneren und des äußeren Strahlungsgürtels der Erde und der mit ihnen verbundenen physikalischen Erscheinungen.

Echo 2

Der am 25. 1. 1964 von den USA gestartete Ballonsatellit „Echo 2“ war das erste gemeinsame Experiment der UdSSR und USA im Kosmos. Mit ihm soll u. a. eine Funktelegrafien- und Funktelefonverbindung im Kurzwellenbereich zwischen amerikanischen und sowjetischen Stationen hergestellt werden. „Echo 2“ ist ein mit einer dünnen Aluminiumschicht plattierter Kunststoffballon mit einem Durchmesser von 44,29 m. Seine Oberfläche wirkt auf Funksignale von der Erde wie ein riesiger Spiegel und reflektiert sie. Zwei an Bord befindliche, mit Sonnenbatterien gespeiste Funkleitsender übermitteln die Meßdaten auf den Frequenzen 136,17 und 136,02 MHz. Seine Bahn hat ein Perigäum von 1030 km, ein Apogäum von 1300 km und eine Neigung von 62°.

Mondsonde „Ranger 6“

Die amerikanische Mondsonde „Ranger 6“ wurde am 30. 1. 1964 von Cape Kennedy aus zu einem Flug zum Mond gestartet. Nach

65 Stunden und 35 Minuten traf „Ranger 6“ am 2. 2. 1964 etwa 32 km vom berechneten Ziel mit einer Geschwindigkeit von 8517 km in der Stunde auf den Mond auf. Vor über vier Jahren landete etwa 840 km nordöstlich dieses Aufprallortes die sowjetische „Lunik 2“. Die wichtigste Aufgabe von „Ranger 6“, Fernsichtbilder von der Mondoberfläche zu übermitteln, wurde jedoch nicht erfüllt, da durch einen Batterieschaden die sechs Kameras der Mondsonde nicht eingeschaltet wurden.

Saturn 1

Die bisher größte amerikanische Rakete, eine zweistufige „Saturn“, wurde am 29. 1. 1964 vom Cape Kennedy gestartet. Bei dem Versuch wurde erstmalig auch die zweite Stufe gezündet, die die vorgesehene Umlaufbahn um die Erde erreichte. Der Flugkörper wiegt mit 5 Tonnen Ballast insgesamt 17 Tonnen.

Technisches Koordinationszentrum der Intervention

Die Intervention plant die Errichtung eines neuen Technischen Koordinationszentrums (TKC) in Prag. Die Entwürfe für dieses Kontrollzentrum, das im neuen Gebäude des Tschechoslowakischen Fernsehens untergebracht werden soll, wurden bereits ausgearbeitet.

Die Wahl fiel auf Prag, weil hier eine internationale Fernsehstation aufgebaut wird, die die Richtfunkstrecken der VR Ungarn, der UdSSR, der VR Polen, der DDR, Österreichs und Westdeutschlands verbinden wird.

Gegenwärtig befindet sich das Technische Koordinationszentrum der Intervention im alten Gebäude des Tschechoslowakischen Fernsehens, wo ein Vierdraht-Dispatchersystem für die Verbindung mit den Fernsehstudios der Teilnehmer der Intervention, mit dem Internationalen Technischen Koordinationszentrum der Eurovision in Brüssel sowie mit anderen Stellen zur Verfügung steht.

Statistik der Rundfunk- und Fernsehteilnehmer in der DDR

Stand vom 31. Dezember 1963

Bezirksdirektion für Post- und Fernmeldewesen	Rundfunkteilnehmer insgesamt	Fernsehteilnehmer davon
Rostock	249 088	106 024
Schwerin (Meckl.)	181 423	76 811
Neubrandenburg	184 532	74 267
Potsdam	368 409	168 372
Frankfurt (Oder)	206 430	90 865
Cottbus	256 871	107 752
Magdeburg	434 424	209 140
Halle (Saale)	641 003	284 045
Erfurt	388 787	175 161
Gera	239 301	101 547
Suhl	163 085	72 459
Dresden	674 399	238 016
Leipzig	558 559	204 017
Karl-Marx-Stadt	756 636	304 558
Berlin	436 065	165 825
	5 739 012 (+ 17 243)	2 378 859 (+ 121 256)

Neue elektronische Meßgeräte aus dem VEB Funkwerk Erfurt

Teil 1

AUTORENKOLLEKTIV

Mitteilung aus dem VEB Funkwerk Erfurt

In unserem Heft 4 (1963) wurde in dem Beitrag „Neue elektronische Meßgeräte aus dem VEB Funkwerk Erfurt“ über Geräte berichtet, die inzwischen in der Serienfertigung laufen. Im folgenden wird wieder eine Reihe neuer Meßgeräte aus den Hauptproduktionsrichtungen dieses Betriebes vorgestellt, bei denen die Forderungen des VI. Parteitag und der Wirtschaftskonferenz der SED nach neuen weltmarktfähigen Erzeugnissen verwirklicht worden sind. Über 60% der neuen Geräte sind nach den Richtlinien des Industriezweiges Nachrichten- und Meßtechnik unter Verwendung von Bausteinen des elektronischen Baukastensystems im mechanischen Baukastensystem konstruiert, wobei auch erstmalig die neue Gehäusereihe nach TGL 11714 eingesetzt wurde.

Durch den universellen Einsatz von Bauteilen, Bausteinen und Bausteingruppen ist es möglich, Entwicklungs- und Konstruktionszeiten zu verkürzen. Die Anwendung gedruckter Schaltungen kann voll verwirklicht werden, wobei gute Übersichtlichkeit und beste Raumaussnutzung gesichert sind. Die gesamte Konstruktion ist servicegerecht und erleichtert die Fehlersuche. Darüber hinaus ist eine schnelle Auswechselbarkeit von Bausteinen gewährleistet. Durch Einsparung von Werkzeugkosten, eine rationelle Fertigung und wirtschaftliche Prüfzeiten wird eine erhebliche Steigerung der Arbeitsproduktivität mit hohem ökonomischem Nutzen erzielt.

Transistorenmeßgerät Typ 1029

Im Rahmen des Transistorenmeßgeräteprogramms der RFT stellt das neue Transistorenmeßgerät Typ 1029 (Bild 1) eine Neuentwicklung dar, die das bekannte Transistorenmeßgerät Typ 1014 ablösen soll. Es dient zur Bestimmung der NF-Parameter von Vorstufentransistoren und ist zum Einsatz in Entwicklungslaboratorien, Prüffeldern, Eingangskontrollen und in Reparaturwerkstätten gedacht. Die NF-Vierpolparameter werden nach der Hybrid-Matrix und nach der Leitwert-Matrix gemessen und können direkt abgelesen werden, wobei sowohl pnp- als auch npn-Typen gemessen werden können. Die dynamischen Werte werden bei einer Meßfrequenz von 820 Hz in Emitterschaltung ermittelt. Bei dieser Frequenz können die Parameter weitgehend als reell betrachtet werden. Die Parameter sind in drei Bereiche unterteilt. Es werden gemessen:

Eingangswiderstand h_{11e}	0 ... 10 k Ω
Stromverstärkung h_{21e}	0 ... 300
Steilheit y_{21e}	0 ... 300 mS
Ausgangsleitwert h_{22e} bei offenem Eingang	0 ... 300 μ S
Ausgangsleitwert y_{22e} bei kurzgeschlossenem Eingang	
Spannungsrückwirkung h_{12e}	0 ... 100 · 10 ⁻⁴
Rückwirkungsleitwert y_{12e}	0 ... 10 μ S

Die statischen Werte (Restströme) I_{CES} , I_{CBO} und I_{CEO} können getrennt gemessen werden, wobei die Stromversorgung so ausgelegt ist, daß auch Schalttransistoren bis zu einer Kollektorspannung von 66 V gemessen werden können. Eine direkte Meßmöglichkeit der Basis-Emitter-Spannung ist zusätzlich vorhanden. Ferner besteht die Möglichkeit, Dioden und Zenerdioden geringer Leistung auf Durchlaß- und Sperrverhalten zu überprüfen. Der prinzipielle Schaltungsaufbau des Transistorenmeßgerätes Typ 1029 ist aus dem Blockschaltbild (Bild 2) ersichtlich. Das Gerät arbeitet nach dem Brückenprinzip. Die niederfrequente Brückenspeisespannung wird in einem Wien-Brückenzusatz erzeugt, der durch besondere Schaltungsmaßnahmen eine große Temperaturstabilität besitzt. Für die Messung der Vorwärtsparameter wird die Brücke mit etwa 2 mV, für die Rückwärtsparameter mit etwa 100 mV angesteuert. Als Indikator wird ein vierstufiger Selektivverstärker benutzt, dessen Gesamtverstärkung etwa $3,5 \cdot 10^3$ beträgt. Diese kann durch einen

Empfindlichkeitsregler eingestellt werden. Die Ausgangsspannung des Verstärkers wird durch eine Spitzenwertgleichrichtung an einem Instrument angezeigt. Gleichzeitig kann der Brückenabgleich über einen Kopfhörer abgehört werden.

Die Gleichstromversorgung des Meßobjekts erfolgt über zwei getrennt regelbare Netzteile; einmal für die Kollektor-Basis-Spannung und zum anderen für die Basis-Emitter-Spannung. Dadurch läßt sich ein kontinuierlicher Arbeitspunkt bis 30 V und 30 mA einstellen. Um das

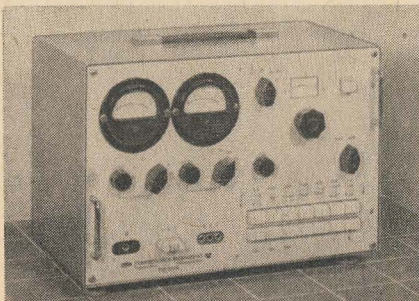


Bild 1: Transistorenmeßgerät Typ 1029

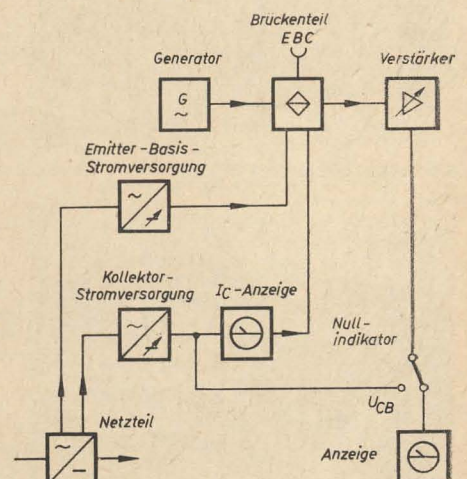


Bild 2: Blockschaltbild des Transistorenmeßgerätes Typ 1029

Gerät vor Überlastung durch fehlerhafte Meßobjekte zu schützen, wird im Netzteil für die Kollektor-Basis-Spannung eine Kurzschlußstrombegrenzung verwendet. Die beiden Anzeigeinstrumente sind gegen Überlastung durch Siliziumgleichrichter geschützt. Das Gerät ist im mechanischen Baukasten-system aufgebaut. Der Verstärker, die Netz-teile, der Oszillator und der Netztransformator sind steckbare Baugruppen, so daß der Service vereinfacht ist.

Kleinquarzuhr Typ 2019

Die neuentwickelte Kleinquarzuhr Typ 2019 (Bild 3) unterscheidet sich in ihrer Konzeption grundlegend von dem Vorgängertyp, der Kleinquarzuhr Typ 2007b. Einmal wurde eine vollständige Transistorisierung durchgeführt und zum anderen wurde durch Beachtung moderner konstruktiver und technologischer Gesichtspunkte, wie Kartenbauweise, gedruckte Schaltung usw. (Bild 4), das Volumen des Gerätes wesentlich verkleinert, so daß man erst jetzt von einer tatsächlichen Kleinquarzuhr sprechen kann. Der Einsatz des Gerätes kann in Laboratorien, physikalischen, geodätischen und hydrografischen Instituten, Prüffeldern und Meßfahrzeugen zur Frequenzmessung und -kontrolle sowie zur Erzeugung von Normalfrequenzen 100/10/1 kHz/100/50 Hz sinusförmig und 100/10/1 kHz/100 Hz und 1 Hz impulsförmig erfolgen. Die Frequenzunsicherheit beträgt $\leq 5 \cdot 10^{-8}$ pro Tag. Darüber hinaus kann die Kleinquarzuhr Typ 2019 in Sternwarten zur Steuerung astronomischer Geräte und zur Zeitbestimmung, in Uhrenfabriken und für Großuhrenanlagen (z. B. bei Bahn und Post) als Mutteruhr eingesetzt werden. Die Genauigkeit der Kleinquarzuhr ist größer als die Anforderungen, die an Schiffschronometer gestellt werden, so daß sie auch auf diesem Gebiete eingesetzt werden kann. Große Bedeutung wird der Zeit- und Frequenzmessung bei der Satellitenbeobachtung beigemessen. Auch diesen Forderungen wird die Kleinquarzuhr gerecht, zumal sie durch den Batteriebetrieb in Gegenden verwendet werden kann, in denen keine Netzspannung

verfügbar ist, wie dies oft bei Satellitenbeobachtungsstationen der Fall ist. Zur Erläuterung der Arbeitsweise des Gerätes soll das Blockschaltbild (Bild 5) dienen. Der komplette Quarzoszillator 100 kHz einschließlich der Trennstufe ist in einem hochkonstanten Thermostaten untergebracht. Mit der Quarzfrequenz wird ein Impulsformer angesteuert, der Rechteckimpulse liefert, mit denen der erste der fünf in Reihe geschalteten dekadischen Multivibratorteiler beaufschlagt wird.

nung wird elektronisch geregelt. Durch die günstigen Abmessungen von $534 \times 236 \times 350$ mm und das geringe Gewicht von nur 16 kp ergibt sich gegenüber der Kleinquarzuhr Typ 2007b ein wesentlich erweitertes Anwendungsgebiet.

AM-FM-VM-Meßgenerator Typ 2039

Der AM-FM-VM-Meßgenerator Typ 2039 (Bild 6) entstand als Weiterentwicklung des AM/FM-Meßgenerators Typ 2006a. Durch die

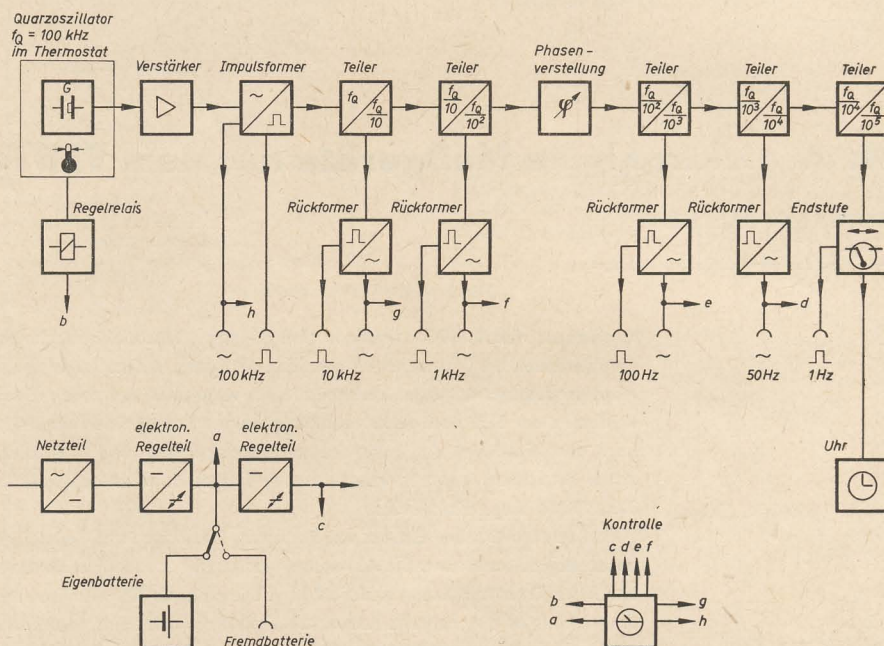


Bild 5: Blockschaltbild der Kleinquarzuhr Typ 2019

Nach dem zweiten Teiler ist eine elektronische Phasenverstelleinrichtung eingefügt, mit deren Hilfe die nun folgenden Frequenzen in Schritten von 1 ms in ihrer Phase verstellt werden können. Damit sind alle Ausgangsfrequenzen ab 100 Hz in ihrer Phase verstellbar. Dem letzten Teiler folgt die Endstufe, die die Leistung zum Antrieb des Sekundenspringer-Uhrwerkes abgibt. Die Sinus- und Impulsfrequenz von 100 kHz wird am Impulsformer abgegriffen und über Trennstufen an die Ausgangsbuchsen gegeben. Nach der ersten, zweiten und dritten Teilerstufe sowie nach der ersten Flip-Flop-Stufe des vierten Teilers werden Impulse abgenommen und dem jeweiligen Rückformer zur Gewinnung der Sinusspannungen von 10 kHz, 1 kHz, 100 Hz und 50 Hz zugeführt, die über Trennstufen ebenfalls an die Ausgangsbuchsen gelangen. Bei Abschluß mit 600 Ω steht an den Buchsen eine Wechselspannung von $U_{eff} = 1$ V zur Verfügung. Gegenüber den Vorläufertypen 2007a bzw. 2007b besitzt die Kleinquarzuhr Typ 2019 einen wesentlichen Vorteil. Bei kurzzeitigem Netzausfall übernimmt automatisch ein eingebauter Nickel-Kadmium-Sammler (12 V/2 Ah), der bei Netzbetrieb als Pufferbatterie arbeitet, die Stromversorgung des Gerätes. Die Gangreserve beträgt bei Raumtemperatur etwa zwei Stunden, so daß während dieser Zeit bei Netzausfall der Uhrengang nicht unterbrochen wird. Ein Spannungswächter sorgt dafür, daß bei Erreichen der Entladeendspannung des Sammlers das Gerät abgeschaltet wird, um eine große Lebensdauer der Batterie zu gewährleisten. Eine Fremdbatterie (12 ... 16 V) kann angeschaltet werden. Die Betriebsspan-

erhebliche Erweiterung der Eigenschaften des neuen Typs gegenüber dem Typ 2006a kann er als Standard-Signalgenerator für ein umfassendes Anwendungsgebiet eingesetzt werden. Sein durchgehender Frequenzbereich von 4,2 bis 300 MHz erfaßt neben dem Kurzwellenrundfunkbereich von 6 bis 21,75 MHz auch die Intercarrierfrequenzen nach Standards der USA, nach CCIR und OIRT sowie nach der französischen Norm. Ebenso können auch alle Frequenzen der Fernsehbänder I und III, des UKW-Bandes und alle üblichen Zwischenfrequenzen der in diesen Bändern arbeitenden Empfänger eingestellt werden. Die Frequenzbereiche wurden so aufgeteilt, daß in allen wesentlichen Bändern und Kanälen und in den Zwischenfrequenzbereichen kein Bereichswechsel notwendig ist. Die Einstellmöglichkeit der Ausgangsspannung im weiten Bereich von 50 mV bis 0,05 μ V berücksichtigt die in den letzten Jahren erfolgte Weiterentwicklung der Empfangstechnik. Die hier durch den Einsatz

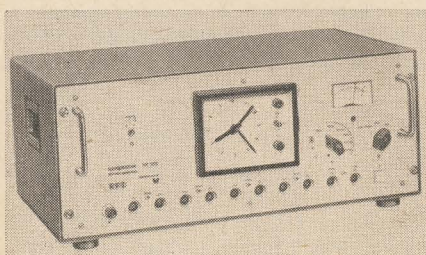


Bild 3: Kleinquarzuhr Typ 2019

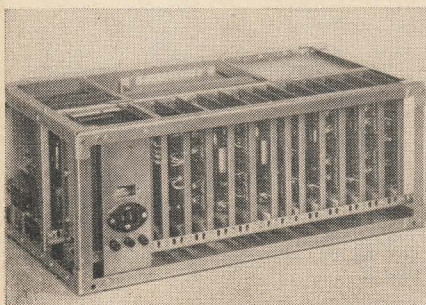


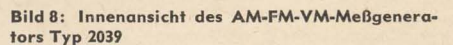
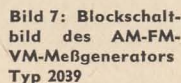
Bild 4: Innenansicht der Kleinquarzuhr Typ 2019



Bild 6: AM-FM-VM-Meßgenerator Typ 2039

Spannung des eingebauten Modulationsgenerators als auch bei Fremdmodulation, zu nennen ist. Die Erweiterung des Modulationsfrequenzbereiches auf 0 bis 6,5 MHz gestattet neben der Modulation mit einem Videosignal auch die Steuerung der Ausgangsspannung im Spannungsbereich von 10 bis 100 % mit Gleichspannung oder beliebigen Impulsen. Das Blockschaltbild (Bild 7) zeigt den elektrischen Aufbau des Gerätes. Der Generator enthält als Hauptstufen den Oszillator mit dem Frequenzmodulator, den Amplitudenmodulator und den Spannungsteiler. Die Oszillatorstufe arbeitet in Hartleyschaltung, wobei der Frequenzbereich in acht Teilbereiche aufgeteilt ist. Zur Bereichumschaltung dient eine Spulentrommel mit den Bereichsspulen, die unabhängig voneinander mit dem zur Abstimmung verwendeten Drehkonden-

Germaniumdiode und wird gleichzeitig zur Anzeige der HF-Oberspannung am Anzeigementriscope verwendet. Die Auskopplung der HF-Spannung vom Oszillator auf den Amplitudenmodulator erfolgt kapazitiv. Als Modulatorröhre wird eine steile Spanngitterröhre EF 861 verwendet. Der Amplitudenmodulator arbeitet in Gitter-1-Modulation. Mit dem Modulationsartenschalter kann der gewünschte Modulationseingang oder der eingebaute NF-Generator an das Gitter der Modulatorröhre geschaltet werden. Bei Videomodulation über den VM-Eingang II verstärkt ein eingebauter Videoverstärker mit Synchronpegelhaltung durch eine Diode und Impedanzwandler das BAS-Normsignal von $U_{ss} = 1 \text{ V}$ auf den für die Modulation erforderlichen Wert. Der Modulationsfrequenzbereich liegt zwischen 5 Hz und 6,5 MHz. Dagegen ist bei Verwendung des



Die Stromversorgung des Gerätes erfolgt durch ein getrennt im hinteren Teil des Gehäuses untergebrachtes Netzgerät. Es enthält ein elektronisch stabilisiertes Anodenstromversorgungsenteil, eine stabilisierte Vorspannungsquelle, mehrere z. T. stabilisierte Heizspannungsquellen und den Regelteil für die Oszillator-Anodenspannung. Zur Vermeidung einer Abstrahlung der HF-Spannung über die Netzzuführung oder die Modulationseingänge wird die HF-Spannung durch Zwischenschaltung von sehr sorgfältig bemessenen Filtern abgesehen, damit die Funktion des Gerätes auch bei kleinster Ausgangsspannung nicht gestört wird.

Zählfrequenzmesser Typ 3505

Der Zählfrequenzmesser Typ 3505 (Bild 9) ist ein Universalgerät zur Frequenzmessung, Periodendauermessung, Zeitintervallmessung und Frequenzverhältnismessung. Er ist eine

Weiterentwicklung des vielfach bewährten Zählfrequenzmessers Typ 3506. Bei gleichzeitiger Verkleinerung der Geräteabmessungen konnte die obere Grenzfrequenz auf 10 MHz erhöht werden. Das Gerät arbeitet nach dem Zählverfahren, so daß die Ergebnisse in Ziffern direkt abgelesen werden können. Durch die eingebaute Wiederholautomatik ist eine ständig ablaufende selbsttätige Messung möglich. Als Zählfrequenzmesser ist das Gerät bis in den Kurzwellenbereich hinein einsetzbar. Weiterhin kann es für Periodendauermessungen verwendet werden, wie sie in der NF-, TF- und Impulstechnik vorkommen. Bei der Zeitintervallmessung sind für das Starten und Stoppen des Meßvorganges getrennte Eingänge vorgesehen, so daß sich daraus ein breiter Anwendungsbereich ergibt. Durch die hohe Folgefrequenz der Zeitimpulse eignet sich das Gerät besonders für viele Probleme der Kurzzeitmeßtechnik. Durch die Frequenzvergleichsmessung ist eine einfache Messung des Verhältnisses zweier Frequenzen bzw. der Differenz zweier Frequenzen zu einer dritten Frequenz möglich, wie sie bei der Messung von Schlupf und Phasenänderungen benötigt werden. Die Funktion des Gerätes in den verschiedenen Betriebsarten soll anhand von stark vereinfachten Blockschaltbildern kurz erläutert werden.

In der Betriebsart „Frequenzmessung“ (Bild 10) gelangt das zu messende Eingangssignal über den 10-MHz-Impulsformer und die Torschaltung auf den Zähler und wird dort während der Öffnungszeit des Tores gezählt und zur Anzeige gebracht. Die Steuerung der Torschaltung erfolgt durch Zeitimpulse, die mit dem Frequenzteiler von der 1-MHz-Normalfrequenz des Quarzgenerators gewonnen werden. Werden beispielsweise 1-s-Zeitimpulse verwendet, so beträgt die Öffnungszeit des Tores 1 s, und das Meßergebnis wird unmittelbar in Hz angezeigt. Am Ende der Meßzeit wird durch Schließen der Torschaltung ein Torschlußimpuls an den Verzögerer abgegeben. Während der Laufzeit des Verzögerers wird das Meßergebnis von dem Zähler angezeigt. Nach Ablauf der Verzögerungszeit wird der Rückstellimpulsgeber angestoßen,

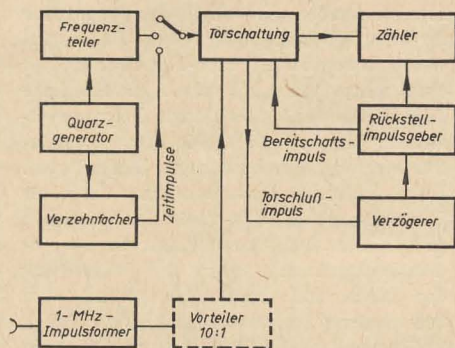


Bild 11: Blockschaltbild für die Betriebsart „Periodendauermessung“

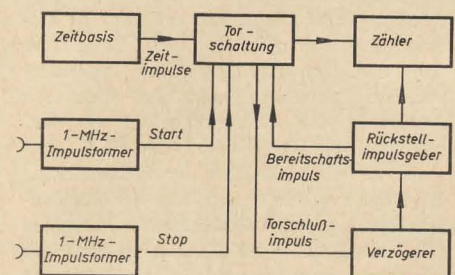


Bild 12: Blockschaltbild für die Betriebsart „Zeitintervallmessung“

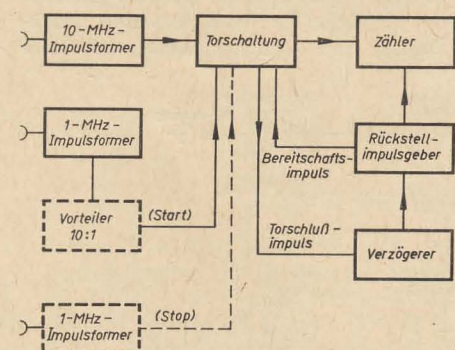


Bild 13: Blockschaltbild für die Betriebsart „Frequenzverhältnismessung“

der den Zähler wieder auf Null stellt und an die Torschaltung einen Bereitschaftsimpuls abgibt. Der nächste Zeitimpuls kann dann die Torschaltung wieder öffnen, d. h., die nächste Messung beginnt. In dieser Betriebsart können Frequenzen von 10 Hz bis 10 MHz gemessen werden. Die längste unmittelbar vom Gerät gelieferte Meßzeit beträgt 10 s, d. h., die Meßgenauigkeit beträgt unabhängig von der Eingangsfrequenz $\pm 0,1$ Hz. Für noch höhere Genauigkeitsansprüche kann eine beliebige Anzahl von Zeitimpulsen zwischen den beiden Zeitimpulsen, die die Torschaltung öffnen bzw. schließen, ausgeblendet werden. Es lassen sich so ohne weiteres Meßzeiten von 100 oder 1000 s erreichen.

Um eine hohe Meßgenauigkeit zu erreichen, muß in den Zähler eine möglichst große Zahl von Impulsen gelangen. Zur genauen Messung niedriger Frequenzen wäre demzufolge eine sehr lange Meßzeit erforderlich, so daß die Messungen sehr zeitraubend würden. In diesem Falle ist es günstiger, die Periodendauer der zu messenden Frequenz zu messen. Im Bild 11 ist das stark vereinfachte Blockschaltbild für die Betriebsart „Periodendauermessung“ gezeigt. Über die Torschaltung gelangen während der Öffnungszeit die Zeitimpulse zum

Zähler und werden dort angezeigt. Die Steuerung der Torschaltung erfolgt durch Impulse, die mit dem 1-MHz-Impulsformer von dem zu messenden Eingangssignal abgeleitet werden. Zur Erhöhung der Meßgenauigkeit kann ein Teiler 10 : 1 eingeschaltet werden, so daß eine Messung über zehn Perioden erfolgt. Das Zusammenwirken von Torschaltung, Verzögerer und Rückstellimpulsgeber ist das gleiche wie in der Betriebsart „Frequenzmessung“. Der Meßbereich bei Periodendauermessung reicht von 0 Hz bis 1 MHz. Die Zeitimpulse können zwischen 10^{-7} s, die mittels des Verzehnfachers von der 1-MHz-Normalfrequenz abgeleitet werden, und einer Sekunde gewählt werden. Die Betriebsart „Zeitintervallmessung“ ist der Periodendauermessung ähnlich, wie Bild 12 zeigt. Die Steuerung der Torschaltung erfolgt jedoch über zwei völlig getrennte Eingänge, d. h., daß über den Starteingang die Torschaltung geöffnet und über den Stoppeingang geschlossen wird. Der Meßbereich umfaßt 10^{-4} bis 10^7 s. Die Zeitimpulse können zwischen 10^{-7} und 1 s gewählt werden. Die Betriebsart „Frequenzverhältnismessung“ kann wie die Periodendauermessung oder wie die Zeitintervallmessung erfolgen. Wie aus Bild 13 ersichtlich, wird anstelle der im Gerät erzeugten Zeitimpulse ein fremdes Signal über den 10-MHz-Impulsformer auf die Torschaltung gegeben. Das Gerät ist in der Kartenbauweise aufgebaut. Dadurch sind alle Bauelemente sehr gut zugänglich und Fertigung und Prüffeldabgleich sowie eventuelle Reparaturarbeiten werden wesentlich erleichtert. Der Zählfrequenzmesser Typ 3505 hat wie alle digitalen Meßgeräte des VEB Funkwerk Erfurt Anschlußmöglichkeit für einen Zählbetragdrucker. Entnahmemöglichkeiten von 6,3 V/1 A und 300 V/15 mA erleichtern den Betrieb von Zusatzgeräten wie z. B. Lichtschranken.

Großsichtanzeige Typ 3507

Die Großsichtanzeige Typ 3507 (Bild 14) kann direkt an den Informationsausgang eines digitalen Zählgerätes mit röhrenbestückten Zähldekaden der Typen 8102, 8103, 8104 und 8105

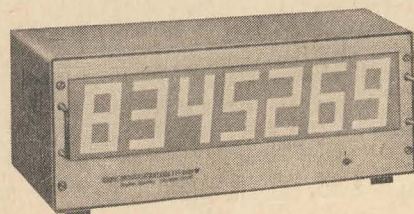


Bild 14: Großsichtanzeige Typ 3507

angeschlossen werden. Die Anzeige des Meßergebnisses erfolgt durch sieben feststehende stilisierte Ziffern mit einer Zahlenhöhe von 95 mm, die ein kräftiges und auch bei ungünstigen Lichtverhältnissen gut erkennbares Bild ergeben. Über den Informationsausgang gelangen die Steuerspannungen in der Binärcode aus maximal sieben Zähldekaden auf Relaisverstärker. Die dem Ziffernwert entsprechenden Relais ziehen an und schalten mit ihren Kontakten Lampengruppen, die das Meßergebnis anzeigen. Dieses bleibt in der Großsichtanzeige gespeichert, bis ein neues Meßergebnis im digitalen Zählgerät angezeigt wird. Das Gerät ist konstruktiv im Baukastensystem aufgebaut und volltransistorisiert.

Wird fortgesetzt

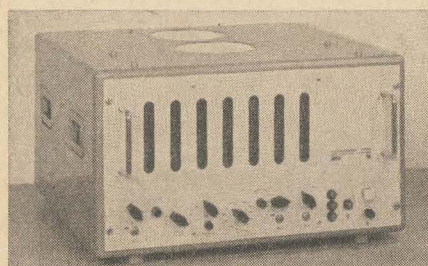


Bild 9: Zählfrequenzmesser Typ 3505

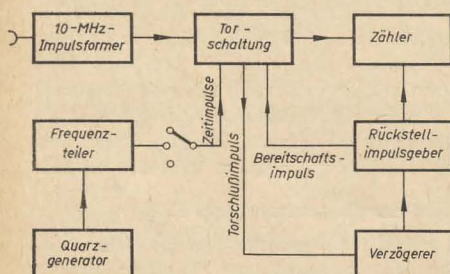
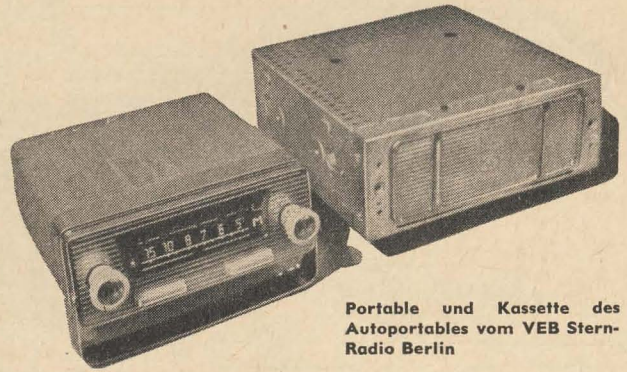


Bild 10: Blockschaltbild für die Betriebsart „Frequenzmessung“

Autoportable A 110-1

Ing. ERICH POHL

Mitteilung aus dem VEB Stern-Radio Berlin



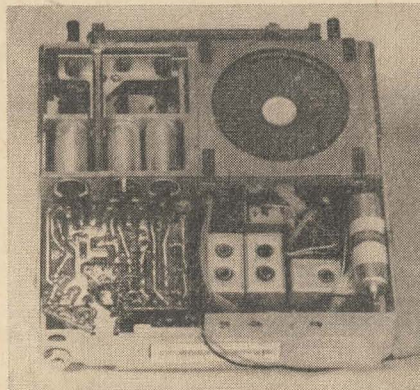
Portable und Kassette des
Autoportables vom VEB Stern-
Radio Berlin

Allgemeines

Erst die Anwendung von Transistoren in transportablen Empfängern gestattete, leistungsfähige Reiseempfänger mit relativ kleinen Abmessungen aufzubauen. So war es nun auch möglich, verschiedene Kombinationen von Geräten mit vertretbaren Abmessungen zu entwickeln. Der Autoportable A 110-1 stellt einen derartigen Mehrzweckempfänger dar. Das Gerät besteht aus zwei Teilen, und zwar dem Portable und der Kassette. Der Portable für sich ist ein vollwertiger Reiseempfänger, während er in Verbindung mit der Kassette zu einem vollwertigen Autosuper wird. Bei der Entwicklung dieser Kombination galt es, die speziellen Bedingungen, denen jeder Empfängertyp gerecht werden muß, sinnvoll miteinander zu verschmelzen. Die höheren Anforderungen, die beim Betrieb im Kraftfahrzeug an das Gerät gestellt werden, bestimmten weitestgehend die Konstruktion des A 110-1. Der Autoportable ist für den Direkteinbau in die Armaturentafel vorgesehen. Die Kassette wird im Fahrzeug fest installiert. Beim Druck auf die Verriegelungstaste an der Unterseite der Kassette (s. Titelbild) kann der Portable aus dem Armaturenbrett bzw. der Kassette herausgezogen werden. Die an der Rückseite des Portables vorhandene Federleiste schaltet das Gerät beim Einschieben in die Kassette selbsttätig auf Autobetrieb um, d. h., die Stromversorgung erfolgt dann nur aus dem Bordnetz des Wagens; die Portablebatterien sind abgeschaltet. Auch alle anderen Ab- und Umschaltoperationen erfolgen mit der Federleiste. Für die Anpassung des Gerätes an das vorhandene Bordnetz sind an der Seite der Kassette zwei Drehschalter von außen zugänglich angeordnet. Damit kann auf 6 V oder 12 V und auf Plus oder Minus an Masse eingestellt werden. Für die Stromversorgung des Portables allein dienen vier Stabzellen Ea AT wie beim Gerät T 100. Die Zellen werden in die Batteriekammer und mit der Batteriekammer in das Gerät gesteckt. Das Gerät braucht dabei nicht geöffnet zu werden. Für den serienmäßigen Einbau des Gerätes im Kraftfahrzeug liefert der VEB Stern-Radio

Berlin für die Typen Wartburg und Trabant passendes Einbaumaterial. Auf Grund seiner günstigen Abmessungen kann das Gerät auch in jeden anderen Fahrzeugtyp eingebaut werden.

Das Umschalten der beiden Wellenbereiche Mittel- und Langwelle geschieht mit der rechten Schiebetaste. Die linke Schiebetaste ist als Tonblende ausgebildet. Links von der Skala liegt der Einschalter mit dem Lautstärkeregler, während der rechte Drehknopf zur Senderabstimmung dient.



Portable, Blick auf Variometer und HF-Leiterplatte

Die NF-Leistung von 2,5 W vom Autosuper kann einem Lautsprecher mit 4 Ω oder zwei Lautsprechern mit insgesamt 2 Ω Impedanz, die im Fahrzeug fest eingebaut sind, zugeführt werden. Zur Tonwiedergabe des Portables dient der eingebaute 65-mm-Lautsprecher.

Schaltung

Als Autosuper ist das Gerät mit einer dreifachen induktiven Abstimmung ausgerüstet. Für den Betrieb als Portable ist die Abstimmung des Oszillators und des Zwischenkreises ebenfalls induktiv, während der Vorkreis (Ferritantenne) kapazitiv mit einem Einfachdrehkondensator abgestimmt wird. Der Gleichlauf zwischen dem Variometer und dem Drehko wird über eine Kurvenscheibe auf mechanischem Wege erreicht. Durch die verschiedenen Abstimmarten im Vorkreis des Empfängers war es möglich, die jeweilige für den Betrieb gerade erforderliche Antenne optimal anzupassen. Die Autoantennenanpassung ist für Autoantennen mit einer Kapazität von etwa 50 bis 85 pF ausgelegt. Zum Abgleich der Antenne beim Einbau des Empfängers in ein Kraftfahrzeug dient der Trimmer C_{40} .

Bei Autobetrieb wird die Antennenspannung bei MW über die Kapazitäten C_1 und C_6 und

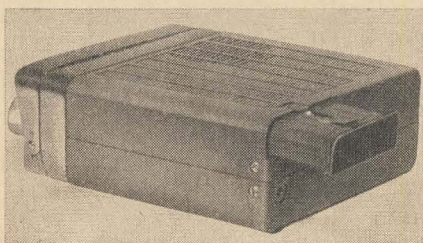
bei LW direkt dem Vorkreisvariometer L_1 , L_2 zugeführt. Zur Verkürzung der Variation bei LW dient die Zusatzspule L_3 , L_4 . Aus den Koppelspulen L_2 und L_4 kommend wird das Antennensignal über die Kontakte 2a und 3a der Federleiste an die Basis des HF-Vorstufentransistors geführt. C_6 dient zur galvanischen Trennung.

Wird das Gerät als Portable mit Ferritantenne betrieben, so dient der Drehko C_7 als Abstimmittel. Aus den Koppelspulen L_6 , L_7 kommend wird das Antennensignal über die Federleistenkontakte 2a und 2b ebenfalls der Basis von T_1 zugeführt.

Der Transistor T_1 arbeitet in Emitterschaltung als geregelte abgestimmte HF-Vorstufe. Der Kollektorkreis ist als π -Kreis ausgebildet. Am Spannungsteiler C_{13} und C_{11} , C_{12} ist der Kollektor angeschlossen. Dadurch wird eine Verstimmung des Kollektorkreises durch Blindleitwärtsänderungen von T_1 , hervorgerufen durch die Regelung, stark vermindert. Außerdem erfolgt durch den Spannungsteiler eine Anpassung des Kollektors an den Resonanzzeitwert des Zwischenkreises, um Selbsterregungen zu verhindern. Im Ausgang des π -Kreises liegt C_{17} mit der Eingangskapazität des Transistors T_2 parallel. Diese Art der Schaltung besitzt den Vorteil, große Spiegelwellenverhältnisse zu erreichen. Die erreichten Werte zusammen mit dem Vorkreis von >10000 garantieren einen pfeifstellenfreien Empfang. Der Transistor T_2 arbeitet als selbstschwingende additive Mischstufe. In Reihe mit dem Bandfilterkreis L_{14} , C_{23} liegt das Oszillatorvariometer L_{13} . Der Oszillator schwingt mit kapazitiver Rückkopplung in Basisschaltung. Eine Neutralisation erübrigte sich durch die feste Abblockung der Basis mit C_{17} .

Blindleitwärtsänderungen im Ausgang von T_1 , beim Regeln können dadurch an der Basis von T_2 nicht mehr wirksam werden. Bei Langwelle werden die beiden Spulen L_{12} und L_{22} noch mit eingeschaltet. Die beiden Spulen gestatten, den Kurvenverlauf auf LW dem der verkürzten Vorkreisvariometer anzupassen. Die Zwischenfrequenz wird in den Transistoren T_3 und T_4 verstärkt, wobei T_3 als Regelstufe arbeitet. Um Übersteuerungen zu vermeiden, wird T_4 mit einem festen Strom betrieben. Die ZF-Transistoren T_3 und T_4 sind mit den Kapazitäten C_{30} und C_{35} neutralisiert. Diese beiden ZF-Stufen wurden als geschlossene Baugruppen in Bandfiltern untergebracht. Die Baugruppe BF III enthält die gesamte Demodulation.

Der Transistor T_5 arbeitet als NF-Vorstufe und als Regelverstärker. Die bei der Demodulation entstehende Richtspannung wird zur

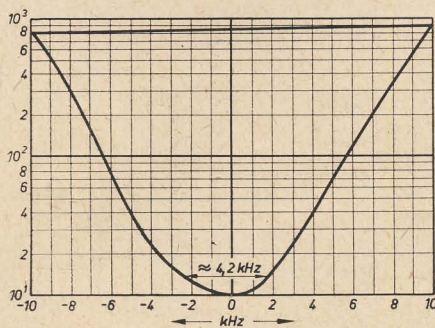


Portable, gelöste Batteriekammer

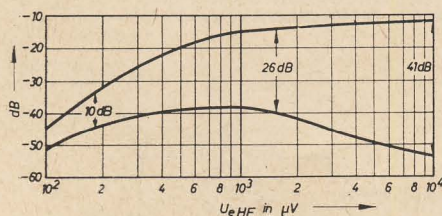
Technische Daten

Portable

Wellenbereiche:	MW 510 + 1,5% bis 1620 kHz LW 150 bis 410 kHz
Transistorenbestückung:	2 × OC 882 a; 2 × OC 871; 2 × OC 816; 2-OC 821 4 × 1,5-V-Ea AT mit Heizcharakteristik
Stromversorgung:	≥ 150 mW bei 10% K 4/3 455 kHz zweistufig regelbar 66 mm Ø als Portable MW besser 800 µV/m LW besser 2 mV/m als Autosuper MW besser 15 µV LW besser 30 µV
NF-Ausgangsleistung:	etwa 4 kHz
Kreise fest/variabel:	als Portable ≥ 33 dB bei 600 kHz als Autosuper ≥ 33 dB bei 600 kHz
Zwischenfrequenz:	als Portable 60 dB bei 200 kHz als Autosuper 72 dB bei 600 kHz
Klangfarbe:	als Autosuper 72 dB bei 295 kHz 78 dB bei 600 kHz
Lautsprecher:	
HF-Empfindlichkeit:	
HF-Bandbreite:	
HF-Selektion:	
Spiegelwellenstörverhältnis:	
Abmessungen in mm:	152 × 57 × 162,5
Gewicht:	≈ 1,5 kp
Kassette	
Bestückung:	2-OC 1016
Betriebsspannung:	6,3 V + 20% — 10% oder 12,6 V + 20% — 10% umschaltbar plus oder minus umschaltbar ≥ 2,5 W bei 10% K
Massepotential:	P 553 (155 × 115 mm)
NF-Ausgangsleistung:	1,2 A max. bei 2,5 W und 6,3 V
Lautsprecher:	4 Ω für einen Lautsprecher 2 Ω für zwei Lautsprecher
Stromaufnahme:	190 × 70 × 180
Lautsprecheranschluß:	≈ 1,6 kp
Abmessungen in mm:	
Gewicht:	



HF-Selektion als Autosuper



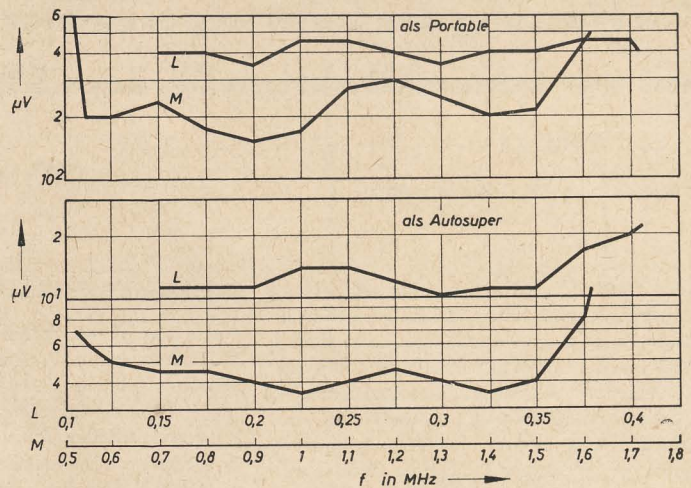
Rauschabstandskurve Portable bei 600 kHz

Die Transistoren T_7 , T_8 arbeiten als Gegentakt-B-Endstufe. Vom Kollektor T_8 nach dem Emittor T_6 liegt eine Gegenkopplung. Beim Betrieb als Portable ist diese relativ gering, da R_{46} mit R_{38} parallel liegt. Erst beim Betrieb als Autosuper tritt die Gegenkopplung stärker in Erscheinung. Zur Klanganpassung an das Wageninnere dient die Tonblende mit C_{44} . Die RC-Kombination R_{52} , C_{54} parallel zur Primärwicklung des Ausgangstrafos Tr_2 wirkt dem Ansteigen des Lautsprecherscheinwiderstandes bei höheren Tonfrequenzen entgegen. Die Gegentakt-B-Endstufe T_7 , T_8 gibt 150 mW an den eingebauten Lautsprecher ab und dient gleichzeitig als Treiberstufe für die Kassettenendstufe T_9 , T_{10} . Diese ist ebenfalls als B-End-

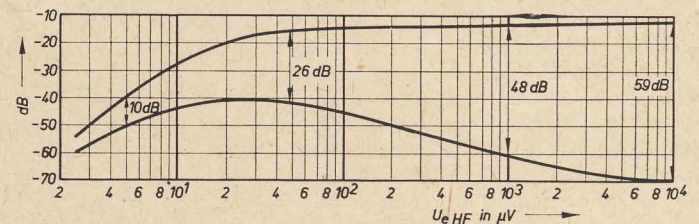
stufe ausgelegt und gibt 2,5 W Sprechleistung an die Lautsprecher ab. Wenn die Kassettenendstufe angeschlossen ist, dann ist der Portablelautsprecher abgeschaltet. Das Lämpchen La_1 ist nur beim Betrieb als Autosuper angeschaltet. Beim Umschalten auf eine andere Betriebsspannung braucht es nicht ausgewechselt zu werden. Es ist im Blendenvorderteil untergebracht, der nach Lösen der beiden Schlitzmuttern (unter den Drehknöpfen) abgenommen werden kann. Bei 12-V-Betrieb arbeitet nur die Kassettenendstufe T_9 , T_{10} mit der Bordnetzspannung, während alle übrigen Stufen mit 6 V betrieben werden. Die Verminderung der Spannung geschieht für die Portablestufe mit dem Spannungsteiler R_{28} , R_{29} und für die übrigen Stufen mit dem Vorwiderstand R_{32} .

Aufbau

Wie schon eingangs erwähnt, waren die Autoauforderungen weitestgehend bestimmend für die Konstruktion des Gerätes. Besonders kam es hier auf eine hohe mechanische Stabilität an. Diese wurde erreicht, indem die wichtigsten Baugruppen in Spritzgußtechnik und die Verdrahtung als gedruckte Schaltung ausgeführt wurden. Das Chassis mit dem gesamten Variometerantrieb — Drehko, Lautsprecher und Potentiometer — ist als kompakte Spritzgußeinheit aufgebaut. Dieses Chassis in Verbindung mit dem Wellenschalter, der HF-Leiterplatte und der Ferritantenne bildet einen geschlossenen HF-Baustein mit HF-Vorstufe und sämtlichen Spulen. An diesen HF-Teil schließt sich der Rahmen mit der Federleiste an. Alle übrigen Bauelemente und Baugruppen liegen auf der ZF-Leiterplatte. Um den Service zu erleichtern, ist die ZF-Leiterplatte klappbar angeordnet. Ein Auswechseln von Bauelementen ist dadurch ohne Schwierigkeiten möglich. Der verchromte



Empfindlichkeitskurven



Rauschabstandskurve Autosuper bei 600 kHz

Blendenvorderteil ist ebenfalls aus Spritzguß und enthält die Skala, das Skalenlämpchen und Tragbügel. Durch diese Aufteilung in Baugruppen ist eine technologisch rationelle Fertigung mit einer hohen Qualität gegeben. Die Kassette ist als Blechkonstruktion aufgebaut und enthält die Endstufe T_9 , T_{10} sowie die gesamte Stromversorgung für den Autobetrieb.

Anordnung der Antenne

Bei der Antennenmontage ist besonders das Eigenstörfeld des Fahrzeuges zu berücksichtigen. Die zweckmäßigste Lage ist vom Kraftfahrzeug abhängig und in den Montagevorschriften der Antennenhersteller sowie in der Entstörvorschrift angegeben. Keinesfalls darf die Autoantenne an einer Stelle am Fahrzeug montiert werden, wo das Originalkabel zu kurz wird. Die vom Antennenhersteller vorgesehene Kabellänge muß unbedingt erhalten bleiben, denn darauf ist der Empfängereingang ausgelegt. Nur wenn der Antennentrimmer C_{49} beim Einbau eines Empfängers mit der zugehörigen Autoantenne abgeglichen wird, ist die volle Empfindlichkeit und Selektion des Gerätes gewährleistet. Sehr gut geeignet ist die vom VEB Antennenwerk Bad Blankenburg hergestellte Autoantenne AURA 110. In Zweifelsfällen bei der Montage läßt man sich am besten von einer Vertragswerkstatt des VEB Stern-Radio Berlin beraten.

Entstörung des Kraftfahrzeuges

Für einen störungsfreien Empfang im Kraftfahrzeug reicht die Grundentstörung des Fahrzeuges nicht aus. In jedem Fall ist eine Vollenstörung des Kraftfahrzeuges notwendig. Für die Vollenstörung der verschiedenen Kraftfahrzeugtypen liegen in den Vertragswerkstätten des VEB Stern-Radio Berlin sowie bei den Fachwerkstätten des IKA-Licht- und Zünddienstes die entsprechenden Entstörvorschriften vor. Auch kann man sich dort über den Umfang der erforderlichen Entstörmaßnahmen erkundigen.

Die Messung der Leitwertparameter von Transistoren mit der Scheinleitwertmeßbrücke SWM 3

KLAUS SCHULZE

Mitteilung aus dem VEB Meßelektronik Berlin

Beim Umgang mit Bauelementen ist es nicht immer zweckmäßig, sich auf festgelegte technische Daten zu verlassen, ohne diese wenigstens einmal selbst gemessen und damit die Brauchbarkeit des betreffenden Bauelementes überprüft zu haben. Für den Transistor steht jedoch hierfür in der DDR noch kein Meßgerät zur Verfügung, mit dem man durch schnelles, rationelles Messen einen Überblick über die HF-Eigenschaften von Transistoren gewinnen kann.

Wer sich aber nicht einfach damit begnügen will, eine beliebige Schaltung nur „spielfähig“ zu machen, sondern sie auch optimieren möchte, der muß nicht nur über die allgemein bekannten Kenndaten eines bestimmten Typs Bescheid wissen, sondern auch über ihre Streuungen, gemittelt über eine möglichst größere Stückzahl. Erst die Kenntnis dieser Exemplarstreuungen gestattet es dem Entwickler, die Einsatzmöglichkeiten und Anwendungsgrenzen des Halbleiters für seine speziellen Zwecke richtig zu beurteilen und seine Schaltung daraufhin auszulegen. Analysiert man einmal einen großen Teil bestehender Transistorschaltungen, dann zeigt sich häufig, daß allein zum Auffangen von Exemplarstreuungen oft das starke Gegenkoppeln angewendet wird, womit man zwar viel gewinnen, nicht selten aber noch mehr verschenken kann.

Auf Grund der Tatsache, daß der Anwender den ihn interessierenden Wert $y_{ab} = f(I_C; U_{CE}; \omega \dots)$ des benötigten Transistors im Datenblatt nicht findet, ist er gezwungen, entsprechende Messungen selbst vorzunehmen. Aus diesem Grund entschloß sich der VEB Meßelektronik Berlin, nach einem Vorschlag des Instituts für Halbleitertechnik Teltow, Halbleitermeßzusätze zu entwickeln, mit denen unter Ausnutzung bereits vorhandener Meßmittel bzw. ihrer Erweiterung ein sicheres, schnelles und bequemes Messen von Transistorparametern ermöglicht wird.



Bild 1: Halbleitermeßzusatz als steckbarer Adapter für die Scheinleitwertmeßbrücke SWM 3

Die Halbleitermeßzusätze

Nach dem Vorschlag des IHT wurde die im VEB Meßelektronik Berlin produzierte Scheinleitwertmeßbrücke SWM 3 bzw. SWM 3-2 erweitert, um sie für eine weitere Anwendung nutzbar zu machen. Bild 1 zeigt einen der vier entwickelten Meßzusätze mit den Maßen $66 \times 54 \times 78$ mm. Die Adapter sind direkt in die Buchsen „Meßobjekt“ bzw. „Zusatzkondensator + C“ (y_{21}) der Scheinleitwertmeß-

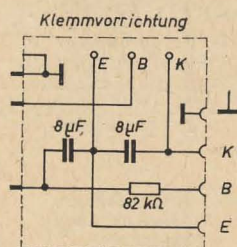


Bild 2: Schaltung des Halbleitermeßzusatzes HMZ 1

brücke einzuführen, womit die Verbindung des Transistors mit der Brücke ermöglicht wird.

Mit der Scheinleitwertmeßbrücke werden Leitwerte gemessen. Sie sind nach Real- und Blindanteil getrennt: $y = g + j\omega C$, wobei C direkt abgelesen werden kann.

Um die vollständige Leitwertmatrix $|y|$ von Transistoren zu erhalten, müssen vier solcher Adapter nacheinander an die Brücke angeschlossen werden, wobei jedem eine entsprechende Meßschaltung zugeordnet ist, deren Schaltelemente jeweils anders verdrahtet sind. Bild 2 veranschaulicht am Beispiel HMZ 1 den Schaltungsaufwand, der in allen übrigen Meßzusätzen der gleiche ist.

In den Verknüpfungsgleichungen

$$\begin{aligned} i_1 &= y_{11} \cdot u_1 + y_{12} \cdot u_2 \\ i_2 &= y_{21} \cdot u_1 + y_{22} \cdot u_2 \end{aligned}$$

sind

- y_{11} der Eingangsleitwert bei kurzgeschlossenem Ausgang,
- y_{12} der Rückleitwert bei kurzgeschlossenem Eingang,
- y_{21} der Vorwärtsleitwert bei kurzgeschlossenem Ausgang und
- y_{22} der Ausgangsleitwert bei kurzgeschlossenem Eingang.

Diese Leitwerte erhält man durch HF-Kurzschluß entweder der Ausgangsspannung u_2 oder der Eingangsspannung u_1 , wenn man den Transistor an den entsprechenden Halbleitermeßzusatz anschließt und an der Scheinleitwertmeßbrücke den Minimumabgleich vornimmt. Hierzu ist ein genügend empfindliches selektives Röhrenvoltmeter notwendig. Die HF-Meßspannung sollte entsprechend der Kleinsignalaussteuerung nicht größer als etwa 8 mV_{eff} sein. Als Sender käme z. B. der Leistungsgenerator Typ 2001 vom VEB Funk-

werk Erfurt in Verbindung mit einer Eichleitung in Frage.

Im Prinzip stellen die Meßschaltungen nichts Neues dar, doch sie gestatten in kompakter Bauweise bei ansprechender äußerer Formgebung ein sicheres Hantieren und schnelles Messen, wozu die Qualifikation einer angelegten Arbeitskraft völlig ausreichend ist. Bild 3 zeigt einen Auszug aus dem Schaltbild der Scheinleitwertmeßbrücke SWM 3-2 und Bild 4 das Prinzipschaltbild der Zusammenschaltung von Brücke und Meßobjekt (im Beispiel zugeschnitten auf den Eingangsleitwert y_{11}).

Die Genauigkeit der gemessenen Parameter hängt in erster Linie von der Meßgenauigkeit der Scheinleitwertmeßbrücke ab. Weiterhin ist aber die Meßgenauigkeit auch eine Funktion der Meßfrequenz, deren Bereich sich für die Halbleitermeßzusätze von 30 kHz bis

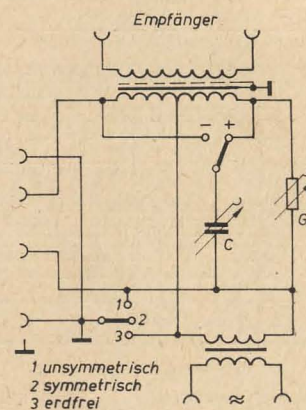


Bild 3: Brückenschaltbild der SWM 3-2

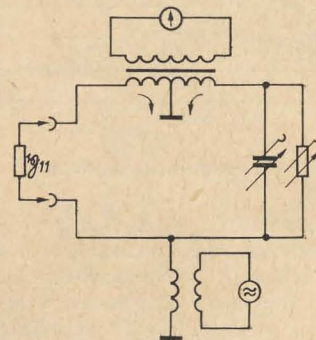


Bild 4: Prinzip der Messung des Eingangsleitwertes

1,5 MHz erstreckt. Die 8-µF-Koppel- und -Kurzschlußkondensatoren der Halbleitermeßzusätze verfälschen zwar nicht die Meßergebnisse im oberen Frequenzbereich, können aber bei Frequenzen von einigen 10 kHz, vor allen Dingen bei eingangsseitig sehr niederohmigen Transistoren, durchaus Fehler verursachen,

die in die Größenordnung der SWM 3 fallen. Der besondere Vorzug der Halbleitermeßzusätze liegt darin, daß alle Parameter unter Betriebsbedingungen ermittelt werden können. Hierfür sind an den Adaptern drei Buchsen vorgesehen, die den Anschluß von Gleichspannungsquellen ermöglichen, um den gewünschten Arbeitspunkt einzustellen. Eine vierte Buchse dient einer eventuell notwendig werdenden zusätzlichen Erdung.

Eine in ihrer Bedienung äußerst praktisch konstruierte Klemmvorrichtung läßt auch das bequeme Anschließen von Leistungstransistoren zu, wenn man für sie zusätzlich einen Kollektoranschluß schafft. Allerdings ist darauf zu achten, daß der Kollektorstrom nicht größer als 400 mA wird, weil damit bleibende Symmetrieänderungen des Übertragers

der SWM 3 hervorgerufen werden können. Die Klemmvorrichtung jeder der vier Meßzusätze ist in ihrer Konstruktion so gestaltet, daß ein einmaliges Betätigen der Drucktaste drei Spannklaue genügend weit öffnet (etwa 2,5 mm), die aber unabhängig voneinander schließen und auch bei unterschiedlich stark verzinnten Transistoranschlüssen sicheren Kontakt geben.

Anwendungsmöglichkeiten der Halbleitermeßzusätze

Die hier beschriebenen Meßadapter werden nicht nur bei der Entwicklung von Transistoren und zur rationellen Kontrolle ihrer Produktion benötigt, sondern können auch von Geräteentwicklern benutzt werden, die mit den Halbleitermeßzusätzen mehr als nur die

vier erwähnten Vierpolgrößen messen wollen. So erlauben sie zusätzlich die Aussage über Grenzfrequenzen. Ebenso ist es möglich, den Transistor in Verbindung mit anderen Bauelementen zu messen, z. B. mit zwischengefügttem Emitterwiderstand (kapazitiv überbrückt oder auch als Gegenkopplung).

Es ist vorgesehen, die Halbleitermeßzusätze HMZ 1 bis 4 den Scheinleitwertmeßbrücken SWM 3 und SWM 3-2 als Zusatz bei Bedarf beizugeben bzw. sie den Besitzern dieser Geräte auf Wunsch nachzuliefern.

Eine ausführliche Beschreibung der Messung der dynamischen Kenndaten von Transistoren mit Hilfe der Scheinleitwertmeßbrücke SWM 3 veröffentlichen wir in Heft 6.

D. Red.

Die Helligkeits- und Kontrasteinstellung beim Fernsehempfänger

Dipl.-Ing. G. KURZ

Der nachfolgende Beitrag ist eine Zusammenfassung der Probleme, die bei der Einstellung der Helligkeit und des Kontrastes eines Fernsehbildes auftreten. Er zeigt eine Übersicht über die prinzipiellen Einstellmöglichkeiten, wie sie sich im Laufe der Fernsehempfängerentwicklung ergaben.

Die Arbeit schließt mit einigen Hinweisen auf Automatikschaltungen, die weitgehend eine Einstellung von Hand erübrigen.

Bedeutung von Helligkeit und Kontrast im Fernsehbild

Für die Wiedergabegüte eines Fernsehbildes ist neben der Schärfe, d. h. dem Auflösungsvermögen, vor allem auch der Kontrast (Gradation) des Bildes von Bedeutung. Bandbreite und Laufzeitverhalten im ZF- und Videobereich des Empfängers bestimmen im allgemeinen die Schärfe eines Fernsehbildes. Sie kann durch Veränderung der Lage des Bildträgers auf der Nyquistflanke durch die Feinabstimmung des Tuners oder bei Spitzengeräten durch einen Scharfzeichner vom Benutzer des Gerätes verändert werden.

Der Kontrast oder physikalisch der relative Leuchtdichteumfang eines Fernsehbildes ist von mehreren Faktoren abhängig. Unter dem relativen Leuchtdichteumfang versteht man das Verhältnis von maximaler zu minimaler Leuchtdichte eines Bildes.

Bevor die Leuchtdichteverhältnisse am Bildschirm untersucht werden, sind einige Bemerkungen zum menschlichen Gesichtssinn notwendig. Das Auge ist in der Lage, unterschiedliche Leuchtdichten einiger Größenordnungen (etwas sieben Zehnerpotenzen) durch Adaption, d. h. Anpassung des Sehorgans an die jeweils herrschende mittlere Leuchtdichte, auszugleichen. Dabei bleibt dann nur noch das Wahrnehmen von Leuchtdichten im Verhältnis von ungefähr 1 : 200 [4]. Es muß daher ein Leuchtdichteumfang von maximal 1 : 200 wiedergegeben werden. Nach [2] erzeugt die Bildröhre jedoch Leuchtdichten von maximal 1 : 1000.

Auf den tatsächlich vom Auge wahrnehmbaren relativen Leuchtdichteumfang haben nun folgende Faktoren einen Einfluß:

1. Helligkeit der hellen Bildteile
2. Helligkeit der dunklen Bildteile
3. Helligkeit der Umgebung.

Verändert man diese Faktoren, so lassen sich recht unterschiedliche Bildeindrücke erzielen. Das sei an einem Beispiel erläutert [1]. In einem Fernsehbild, das in einem dunklen Raum betrachtet wird, sei die Leuchtdichte der Spitzenlichter 200 asb ($1 \text{ asb} = 1/\pi \cdot 10^{-4} \text{ sb}$), die der dunklen Bildteile 2 asb; der relative Leuchtdichteumfang ist also 100 : 1. Nach Einschalten einer Raumbeleuchtung, die auf dem Bildschirm eine zusätzliche Leuchtdichte von 5 asb erzeugt, beträgt der relative Leuchtdichteumfang 205 asb : 7 asb, also ungefähr 30 : 1. Das ist eine Kontrastverminderung. Durch eine Erhöhung der Spitzenleuchtdichte könnte man den relativen Leuchtdichteumfang (und damit den Kontrast) steigern. Schon aus diesem Beispiel folgt, daß dem Betrachter des Fernsehbildes Möglichkeiten gegeben werden müssen, sich den jeweiligen Verhältnissen anpassen zu können.

Bei der Übertragung eines Fernsehbildes spielt vor allem die Kennlinie der Aufnahmekamera eine wichtige Rolle. Die Kamera kann im allgemeinen einen relativen Leuchtdichteumfang von 1 : 30 verarbeiten [2]. Nur dieser Leuchtdichtebereich sollte wiedergegeben werden. Größere relative Leuchtdichten beim Empfänger führen zu „tintigen“ Bildern, d. h. zu einer Verfälschung der Helligkeitsabstufungen der dunklen und hellen Bildteile. Man muß also den Kontrast auf den gerade noch wahrnehmbaren Umfang reduzieren. Es gelten daher folgende Einstellregeln: Man stelle die dunkelsten Bildteile (die Grundleuchtdichte) so hell ein, daß sie gerade noch dunkel genug erscheinen. Die hellsten Bildteile

(Spitzenleuchtdichte) werden so eingestellt, daß sie nicht heller erscheinen als unbedingt nötig ist. Zu diesem Zweck benutzt man am besten den Graukeil eines Fernsehtestbildes.

Möglichkeiten zum Beeinflussen von Helligkeit und Kontrast an der Bildröhre

Der Anodenstrom (Strahlstrom) einer Bildröhre läßt sich bekanntlich wie bei jeder Hochvakuumelektronenröhre steuern.

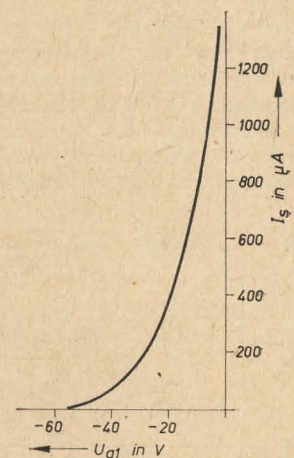


Bild 1: Steuerkennlinie einer Bildröhre

Dabei ergibt sich eine nahezu lineare Abhängigkeit zwischen der Helligkeit auf dem Bildschirm und dem Strahlstrom der Röhre. Die Abhängigkeit des Strahlstromes von der Gitterspannung (Spannung des Wehneltzylinders) ist im Bild 1 dargestellt [3]. Die Kennlinie erklärt die Umwandlung verschiedener Spannungswerte ($-U_{g1}$) in Helligkeitswerte.

Je nach Größe der angelegten Videospannung (ΔU_{g1}) ändert sich der wiedergegebene relative Leuchtdichteumfang (Kontrast). Außerdem kann durch Wahl des Arbeitspunktes (U_{g1}) die Grundhelligkeit eingestellt werden. Grundsätzlich ist es möglich, die Videospannung (ΔU_{g1}) und die Vorspannung zur Einstellung

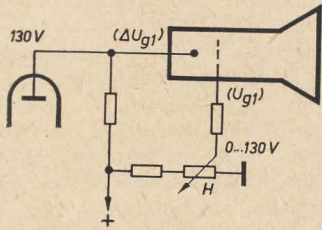


Bild 2: Grundsaltung einer Bildröhre

des Arbeitspunktes (U_{g1}) am Gitter oder an der Katode zuzuführen. Es hat sich eine Schaltung durchgesetzt, die im Bild 2 dargestellt ist. Das Videosignal (ΔU_{g1}) gelangt zur Katode der Bildröhre. Dabei ist im Interesse einer guten Schwarzwertübertragung meist die Direktkopplung von Videoendstufe und Bildröhrenkatode üblich. Die Grundhelligkeit stellt man durch Verändern der Gittervorspannung (U_{g1}) ein. Es sollen einige Möglichkeiten der Helligkeits- und Kontrasteinstellung näher untersucht werden.

Kontrasteinstellung im Hochfrequenzteil des Empfängers

Wie bereits gesagt, wird der Kontrast des Fernsehbildes durch die Größe der Videospannung (ΔU_{g1}) bestimmt. Durch Regeln der Verstärkung in Video- oder Hochfrequenzteil des Empfängers kann daher der Kontrast verändert werden. Da wegen der unterschiedlichen Empfangsfeldstärken eine Regelung der HF-Verstärkung des Gerätes unbedingt nötig ist, wurde diese auch zur Kontrasteinstellung herangezogen.

Empfänger ohne getastete Verstärkungsregelung

Als Beispiel sei der Fernsehempfänger „Weißensee“ genannt [4]. Das Schema der Kontrasteinstellung zeigt Bild 3. Im Gitterkreis der Zeilenendstufe (EL 81) nimmt man die negative Gittervorspannung ab. Durch einen veränderbaren Spannungsteiler (K)

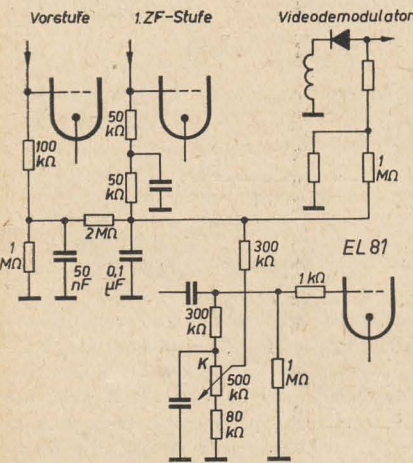


Bild 3: Kontrasteinstellung beim Fernsehempfänger „Weißensee“

kann mit dieser negativen Spannung die Verstärkung im HF- und ZF-Teil des Empfängers eingestellt werden. Der Videoteil arbeitet mit konstanter Verstärkung. Die Kontrasteinstellung erfolgt daher nur durch Verstärkungsänderung im HF-ZF-Teil.

Empfänger mit getasteter Verstärkungsregelung

In der Praxis sind die Empfangsfeldstärken örtlich und zeitlich sehr unterschiedlich. Das bedeutet, daß eine automatische Verstärkungsregelung wie beim Tonrundfunkempfang notwendig ist. Um die Verstärkung unabhängig vom Bildinhalt und möglichst unabhängig von eventuell auftretenden Störimpulsen zu beeinflussen, benutzt man die getastete Regelung. Die Wirkungsweise soll hier nicht näher erläutert werden. Sie ist beispielsweise in [5] beschrieben. Hier sollen nur die Möglichkeiten zum Verändern des Sollwertes der getasteten

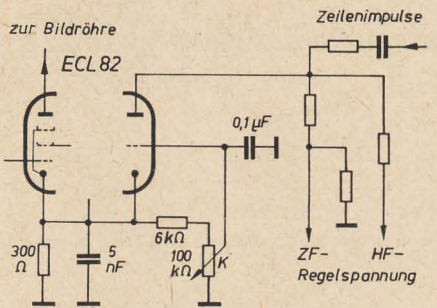


Bild 4: Kontrasteinstellung beim Fernsehempfänger „Derby“

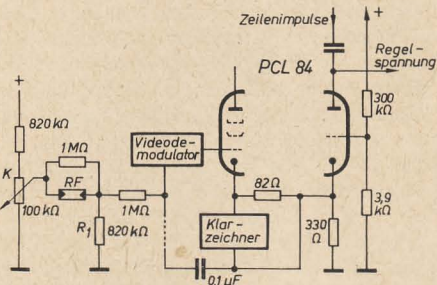


Bild 5: Kontrasteinstellung beim Fernsehempfänger „Stadion“

Regelung, und damit des Kontrastes, beschrieben werden.

Bild 4 zeigt einen Ausschnitt aus dem Schaltbild des Fernsehempfängers „Derby“. Durch Einstellen der Gittervorspannung der Taströhre mit K wird die Größe der Regelspannung verändert und damit der Sollwert der Taströhre beeinflusst. Es ergibt sich also eine Kontrastveränderung im HF-ZF-Teil ohne Beeinflussung der Verstärkung im Videoteil des Empfängers. Eine andere Möglichkeit zur Verstärkungs-einstellung zeigt Bild 5. Das Regeln der Gittervorspannung der Videoendstufe bewirkt auch eine Veränderung der Katodenspannung. Das bedeutet für die Katode der direktgekoppelten Taströhre ebenfalls eine Spannungsänderung und damit eine andere Regelspannung. In diesem Fall wird die Verstärkung im Videoteil kaum beeinflusst (Kontrasteinstellung im HF-ZF-Teil).

Kontrasteinstellung im Videoteil des Empfängers

Eine Verstärkungseinstellung im Videoteil ergibt wesentliche Vorteile. So kann bei geeigneter Bemessung der getasteten Regelung am Videomodulator immer mit einer konstanten Spannung gearbeitet werden. Durch richtige Wahl des Arbeitspunktes der Videodiode (Arbeitsbereich im linearen Teil der Kennlinie) vermeidet man Verzerrungen bei Kontrasteinstellungsänderung. Außerdem ist die Synchronisation und das 5,5-MHz-Intercarriertonsignal völlig unabhängig von der Kontrasteinstellung. Da aber die relative Bandbreite des Videoverstärkers wesentlich größer als die des ZF-Verstärkers ist, sind im Videoteil eher Veränderungen der Durchlaßkurve bei Kontrasteinstellungen durch Kapazitätsänderungen zu erwarten. In einigen älteren Fernsehempfängern hat man durch sorgfältig

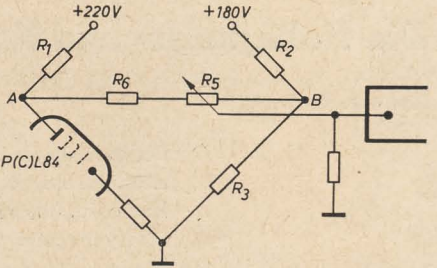


Bild 6: Kontrasteinstellung im Videoteil

dimensionierte mehrstufige Videoverstärker eine brauchbare Kontrasteinstellung im Videoteil erreicht [6]. In neueren Schaltungen [7] liegt der Kontrastregler im Ausgang der Videoendstufe. Bild 6 zeigt eine vereinfachte Darstellung einer derartigen Kontrasteinstellung. In der Brückenschaltung liegt an den Punkten A und B die gleiche Spannung (170 V). Damit ist der Arbeitspunkt der Bildröhre (Schwarzwert) unabhängig von dem mit R₁ eingestellten Kontrast. Ebenso arbeitet die Videoendstufe immer mit der gleichen Anodenspannung. Es sind daher keine Änderungen der Durchlaßkurve bei Kontrasteinstellungen zu erwarten, so daß die Vorteile der videofrequenten Kontrastbeeinflussung ausgenutzt werden können.

Verknüpfung von Kontrast- und Helligkeitseinstellung

Bisher wurden nur die Möglichkeiten zur Kontrasteinstellung betrachtet. In diesen Fällen stellt man die Grundhelligkeit, wie im Bild 2 gezeigt, ein. Da jedoch bei der getasteten Regelung der Synchronwert des Videosignals konstant gehalten wird, bewirkt eine Kontraständerung auch eine Verschiebung des Schwarzwertes (siehe Bild 7), der bekanntlich nur 75% vom Synchronwert beträgt. Es

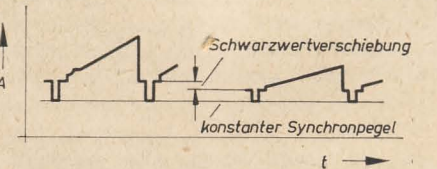


Bild 7: Einfluß der Verstärkungsänderung auf den Schwarzpegel

Spezielle Schaltungen halten daher den Schwarzwert konstant. Es hat sich aber herausgestellt, daß für die Betrachtung eines Fernsehbildes ein mittlerer Grauwert als konstanter Bezugspunkt günstiger ist. Bild 8 zeigt eine Möglichkeit zur Verknüpfung von

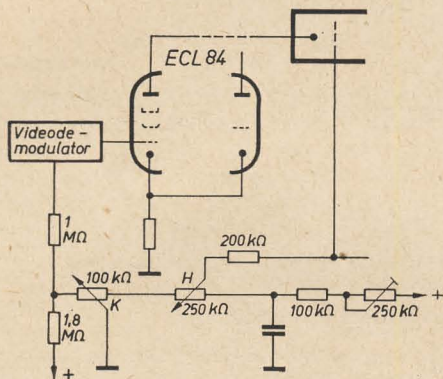


Bild 8: Helligkeits- und Kontrasteinstellung beim Fernsehempfänger „Record“

Helligkeits- und Kontrasteinstellung. Der Kontrast wird mit dem Regler K eingestellt (Änderung der Gittervorspannung der Videostufenregelung). Gleichzeitig verändert sich über den Spannungsteiler K, H, 100 k Ω , 250 k Ω auch der Arbeitspunkt der Bildröhre. Durch geeignete Bemessung der Spannungsteiler kann bei Variation von K ein mittlerer Grauwert auf der Bildröhre konstant gehalten werden. Ältere Schaltungen benutzen eine besondere Röhre zur Verknüpfung von Helligkeits- und Kontrasteinstellung (z. B. ORION AT 611 [8]).

Raumlichtautomatik

Die nachfolgend beschriebene Automatik soll den Kontrast automatisch entsprechend dem auf den Bildschirm von außen auftreffenden Licht einstellen. Wie bereits erwähnt, erfordert eine stärkere Raumbeleuchtung ein Vergrößern des Kontrastes auf dem Bildschirm, um einen gleichen relativen Leuchtdichteumfang zu erzeugen.

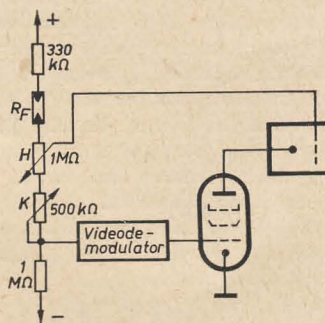


Bild 9: Raumlichtautomatik

Dazu dient eine automatische Steuerung [9]. Im Bild 5 ist ein Fotowiderstand R_F eingezeichnet. Dieser Widerstand ist an der Frontseite des Empfängers angebracht und verändert seinen Widerstandswert je nach Stärke der Beleuchtung. Da er in der Schaltung einen veränderlichen Spannungsteiler mit R_1 für die

Gittervorspannung der Videoendstufe bildet, ändert sich über die getastete Regelung je nach der Beleuchtung die Verstärkung und damit der Kontrast. Dabei bleibt die individuelle Einstellung des Kontrastes mit dem Regler möglich. Eine anschauliche Verknüpfung von Helligkeits- und Kontrasteinstellung mit einer Raumlichtautomatik zeigt Bild 9 (nach [10]). Sobald sich der Widerstand R_F durch die Raumbeleuchtung ändert, werden Kontrast und Grundhelligkeit entsprechend nachgeregelt. Damit erübrigen sich eventuelle Einstellungen bezüglich des relativen Leuchtdichteumfanges bei der Bildwiedergabe.

Kontrastautomatik

Einige Faktoren, die ebenfalls Einfluß auf die Bildwiedergabe haben, blieben bisher unberücksichtigt. So ist der für den Kontrast vorgesehene Amplitudenintervall im BAS-Signal nach der Norm mit einer Toleranz behaftet (Bild 10). Danach kann der Kontrastumfang um $\pm 10\%$ schwanken. Außerdem wird der Weißwert des Bildes (10 ... 12%) nicht immer erreicht.

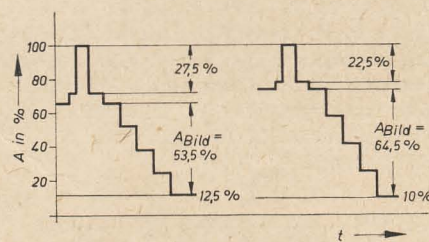


Bild 10: Toleranzen eines BAS-Signals

Bei hellen Bildern, die längere Zeit vorhanden sind, stellt man ein Flimmern (physiologischer Effekt) fest, das man durch Vermindern des Kontrastes zu beseitigen versucht. Das führt bei nachfolgenden dunkleren Bildern zur Bildeindrucksminderung (reduzierter Kontrastumfang).

Eine Kontrastautomatik [11] kann in diesen Fällen bis zu einem gewissen Grad ausgleichen. Bild 11 zeigt das Blockschaltbild einer Kontrastautomatik nach [9]. Der Kontrast (Größe des Videosignals für die Regelstufe) wird mit K eingestellt. Da über die hier vorhandenen drei Videostufen der Schwarzwert nicht durch direkte Kopplung übertragen werden kann, ist eine Schwarzsteuerung vorgesehen. Den Schwarzpegel steuert die Regelstufe, deren Schirmgitterspannung U_{g2} vom jeweiligen Regelzustand abhängt, über die Gittervorspannung der Endstufe. Der Kern der Automatik ist die Kontraststeuerung, die durch

Abnahme des BAS-Signals vor dem Regler vorgenommen wird. Nach Gleichrichtung und Integration erhält man die Regelspannung U_g für die Regelstufe. Damit werden Normschwankungen und der physiologische Effekt berücksichtigt. Außerdem ist eine Raumlichtautomatik, die im Bild 11 nicht eingezeichnet ist, vorgesehen. Sie beeinflusst die Regelstufe

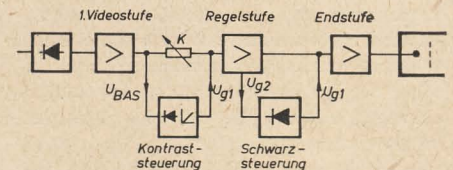


Bild 11: Schema einer Kontrastautomatik

und die Schwarzsteuerung. Eine derartige Automatik ist sehr aufwendig und daher nur in einigen Spitzengeräten vorhanden. Die Sendeseite kann diese Faktoren bedeutend besser beeinflussen als die Empfängerseite.

Literatur

- [1] Jensen, H.: Der Kontrast im Fernseh-
bild. Elektronische Rundschau 9 (1955)
H. 6 S. 236—237
- [2] Großkopf, H.: Bedingungen für die opti-
male Bildreproduktion beim Fernsehen.
Elektronische Rundschau 17 (1963) H. 1
S. 21—23
- [3] Lennartz, H.: So arbeitet mein Fernseh-
empfänger. Funktechnik 12 (1957) H. 17
S. 583
- [4] Wittig, I.: Fernsehempfänger FSO 1
Weißensee. radio und fernsehen 6
(1957) H. 22 S. 706—709
- [5] Werner/Barth: Kleine Fernseh-Repara-
tur-Praxis. VEB Verlag Technik, Berlin
1962
- [6] Kröncke, C.: Ein dreistufiger Videover-
stärker. Funktechnik 14 (1959) H. 9
S. 284—285
- [7] Schaltungsneuheiten in TV-Empfängern.
radio und fernsehen 12 (1963) H. 1
S. 30—32
- [8] TV-Empfänger ORION AT 611. radio
und fernsehen 10 (1961) H. 7 S. 203
bis 206.
- [9] Kurz, G.: Automat im Fernsehempfän-
ger. Funkamateure 12 (1963) H. 4 S. 128
bis 129, 139; H. 5 S. 165—167
- [10] Verbesserte Kontrast-Helligkeitsrege-
lung mit Raumleichtautomatik. Funk-
technik 17 (1962) H. 9 S. 295
- [11] Rappold, A., und Wolf, F.: Der Kontrast-
pilot, eine neuartige automatische Kon-
trastregelung. Fernsehschau 31 (1959) H. 17
S. 407—408

Soeben erschienen:

Klaus K. Streng

UHF-Fernsehempfang

2., ergänzte Auflage
224 Seiten, 166 Bilder, 17 Tafeln,
Ganzleinen 16,— DM

VEB VERLAG TECHNIK · Berlin

Das Band IV/V bedingt eine neue Gerätetechnik. Ziel dieses Buches ist es, den Fernsehtechniker in der Industrie und in der Servicewerkstatt, den Studierenden der Hochfrequenztechnik und den fortgeschrittenen Amateur mit den Grundlagen dieser neuen Technik vertraut zu machen. Bewährte Schaltungen mit den erreichbaren technischen Daten werden dem Leser vorgestellt und die verschiedenen Verfahren zur Lösung eines Teilproblems miteinander verglichen.

Ein interessanter FM-Demodulator

Dipl.-Ing. A. SEIDEL

Von einem FM-Empfänger wird zumeist eine hohe Empfindlichkeit bei geringem Eigenrauschen der Eingangsstufe gefordert. Die Begrenzung und die Qualität der Demodulation stehen dabei erst an zweiter Stelle. Während ersteres weitgehend nur vom Rauschen der in dieser Stufe verwendeten Röhre abhängt, läßt sich die Demodulation schaltungstechnisch variieren.

Der oft verwendete Ratiodetektor hat zwar den großen Vorteil, eine dynamische Amplitudenbegrenzung durch die Änderung seines Eingangswiderstandes mit der Größe der entstehenden Richtspannung zu bewirken, sein einwandfreies Arbeiten als Demodulator hängt aber weitgehend von der Gleichheit der beiden Dioden und vom Ratiofilter ab. Es ergibt sich nämlich ein beträchtlicher Klirrfaktor, wenn die Kopplung zwischen den Kreisen dieses Filters nicht gerade kritisch ist.

Im folgenden soll eine Demodulatorschaltung beschrieben werden, die sowohl eine gute Amplitudenbegrenzung als auch eine verzerrungsarme Demodulation gestattet.

Für eine nahezu ideale Begrenzung bietet sich ein Schmitt-Trigger an. Er stellt einen bistabilen Multivibrator dar, der folgendermaßen arbeitet: Für jede der beiden verwendeten Trioden werden zwei Gittervorspannungen erzeugt, nämlich eine positive, von der Anodenspannung abgeleitet, und eine negative, die durch den gemeinsamen Katodenwiderstand R_{kk} gewonnen wird (Bild 1). Durch R_{kk} werden beide Röhren stark miteinander gekoppelt.

Nimmt man an, $R_{ö1}$ sei geöffnet, so wird $R_{ö2}$ dadurch gesperrt, daß an R_{kk} die dazu nötige negative Gittervorspannung durch den Strom über $R_{ö1}$ erzeugt wird. Das Potential an g_1 von $R_{ö2}$ wird durch den Strom über R_k nur wenig ins Positive verschoben, weil an R_{a1} infolge des Stromes über $R_{ö1}$ ein großer Spannungsabfall entsteht, wodurch die für den Spannungsteiler R_k, R_{g2} zur Verfügung stehende Spannung stark verringert wird.

Wird durch einen Impuls, eine Sinusspannung oder eine beliebig geformte Spannungsschwankung, das Potential an g_1 von $R_{ö1}$ nach dem Negativen verschoben, so kippt die Anordnung in den Zustand um, daß $R_{ö1}$ sperrt und $R_{ö2}$ leitend wird. Das Gitter g_1 von $R_{ö2}$ wird positiver, weil die Spannung an der Anode von $R_{ö1}$ steigt. Dieser Impuls wird durch R_{kk} , unterstützt durch C_k , übertragen. $R_{ö1}$ wird durch den Spannungsabfall an R_{kk} gesperrt gehalten, während $R_{ö2}$ durch den positiven Spannungsabfall an R_{g2} offen bleibt. Dieser Zustand ist meist der stabilere. Wird das Potential am Gitter der ersten Röhre wieder genügend weit und schnell ins Positive verschoben, so kippt die Schaltung wieder in ihren ursprünglichen Zustand zurück.

Man ist also in der Lage, mit Hilfe des Schmitt-Triggers beliebig geformte Wechselspannungen in Rechteckspannungen umzuformen. Da es sich beim UKW-Empfang um Sinusschwingungen konstanter Amplitude handelt,

ist nur dafür zu sorgen, daß eine notwendige Minimalamplitude am Eingang des Triggers nicht unterschritten wird. Wird die Amplitude größer, so hat das keinen Einfluß auf die Größe der vom Trigger abgegebenen Rechteckspannung. Amplitudenschwankungen werden also bis zu einer bestimmten Minimalhöhe statisch ideal begrenzt. Da es in der Natur dieser Schaltung liegt, Rechteckspannungen abzugeben, läßt sich als Demodulator sehr gut die in [1] beschriebene Impulszähl-schaltung verwenden. Es muß auch hier die ZF von 10,7 MHz auf etwa 100 kHz herabgesetzt werden, weil sich Schmitt-Trigger und Demodulator nur sehr schlecht für so hohe Frequenzen aufbauen lassen.

Damit ist folgender Weg gangbar: Nach 2- bis 3stufiger ZF-Verstärkung wird das Signal mit Hilfe einer Mischstufe auf etwa 100 kHz Bandmittenfrequenz herabgesetzt. Diese zweite ZF wird mit einem RC-Verstärker weiter verstärkt und auf den Schmitt-Trigger gegeben. Die Demodulation erfolgt unmittelbar nach diesem durch Differentiation und anschließender Integration der Rechteckimpulse. Die Gesamtschaltung ist im Bild 2 gezeigt.

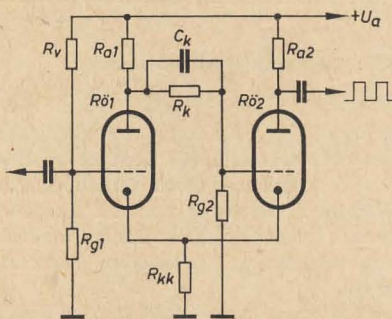


Bild 1: Schaltung des Schmitt-Triggers

Wahl der zweiten ZF

UKW-FM-Sender sind normalerweise mit einem Hub von ± 75 kHz moduliert. Wählt man eine derartig niedrige ZF von etwa 100 kHz, so muß darauf geachtet werden, daß keine Seitenbandfrequenzen in den hörbaren NF-Bereich fallen. Andererseits sollte die niedrigstmögliche Zwischenfrequenz gewählt werden, um mit dem RC-Verstärker eine möglichst hohe Verstärkung — bei dem sowieso sehr breiten Frequenzband von 180 kHz — und ein sicheres Kippen des Schmitt-Triggers zu erreichen.

Bei 75 kHz Hub und 15 kHz oberer NF-Frequenz ist jedes Seitenband 90 kHz breit. Um direkte Einstreuungen in den hörbaren Bereich zu vermeiden, sei die niedrigste vorkommende ZF-Frequenz mit 25 kHz gewählt. Damit liegt die Bandmittenfrequenz mit 115 kHz fest. Änderungen von ± 10 kHz sind dabei ohne weiteres zu verarbeiten, so daß Unstabilitäten des zweiten Oszillators in diesen Grenzen nicht stören.

Der zweite Oszillator schwingt auf 10,585 oder 10,815 MHz. Der Durchlaßbereich des RC-

Verstärkers erstreckt sich über

$$B = 2 (\Delta F + f) = 180 \text{ kHz}$$

von 25 bis 205 kHz.

($\Delta F = 75$ kHz Hub und $f = 15$ kHz obere NF-Frequenz)

Rechnet man bei der ECH 81 mit einer Ausgangskapazität (plus Schalt- und Eingangskapazität der nächsten Röhre) von 20 pF, so ist

$$R_{a1} = \frac{1}{\omega_{ob} \cdot C_1} = 40 \text{ k}\Omega$$

(ω_{ob} = obere ZF-Frequenz = $2\pi \cdot 205$ kHz)

Mit $R_{g1} = 100 \text{ k}\Omega$ wird C_{k1}

$$C_{k1} = \frac{1}{\omega_u \cdot R_{g1}} = 60 \text{ pF}$$

(ω_u = untere ZF-Frequenz = $2\pi \cdot 25$ kHz)

R_{a2} kann gleich R_{a1} angenommen werden, da hier etwa gleiche Verhältnisse vorliegen.

Die Verstärkung der RC-Stufe wird mit diesem Arbeitswiderstand etwa

$$V = S \cdot R_a = 280$$

($S = 7 \text{ mA/V}$, $R_a = 40 \text{ k}\Omega$)

Der Koppelkondensator C_{k2} für den Schmitt-Trigger muß u. U. etwas verändert werden, je nachdem wie der Trigger arbeitet. Als Richtwert gelten ebenfalls 60 pF, obwohl der Eingangswiderstand in diesem Falle größer als 100 k Ω ist.

Für die Demodulation sind vor allem die Größen der Zeitkonstanten des Differentiations- und des Integrationsgliedes ausschlaggebend. Von dem Differentiationsglied muß gefordert werden, daß es eine Zeitkonstante besitzt, die klein gegen die Periodendauer der höchsten ZF-Frequenz ist. Diese setzt sich zusammen aus C_D und R_{D1} mit R_{aII} in Reihenschaltung, wenn man R_{D2} gegen R_{D1} vernachlässigt. Die Zeitkonstante muß folgender Beziehung genügen:

$$\frac{1}{f_{ob}} > C_D (R_{aII} + R_{D1})$$

(f_{ob} = obere ZF-Frequenz = 205 kHz)

Wird R_{aII} , der nur geringeren Einfluß auf die Funktion des Triggers hat, mit 10 k Ω gewählt und R_{D1} mit 5 k Ω angesetzt, so wird

$$C_D < 380 \text{ pF}$$

Es ergibt sich aber ein Klirrfaktorminimum bei $C_D \approx 50 \dots 100 \text{ pF}$ [1]. Die Diode D_1 sperrt die negativen Differentiationsspitzen. Da diese jedoch ziemlich hoch und spitz sind, wird eine zweite Diode D_2 notwendig, die im gleichen Moment, nämlich bei negativen Spitzen, niederohmig wird. Ursache für die Notwendigkeit dieser Maßnahme sind der endliche Sperrwiderstand der Dioden und deren Sperrschichtkapazität. Die Widerstände $R_{D1} + R_{D2}$ stellen den Arbeitswiderstand von D_1 dar, während R_{D2} gleichzeitig der Arbeitswiderstand von D_2 ist.

Das anschließende Integrationsglied, gebildet aus R_1 und C_1 , muß eine Zeitkonstante besitzen, die groß gegen die Periodendauer der niedrigsten ZF-Frequenz ist. Sie sollte dabei jedoch möglichst klein sein, weil sonst die Höhen benachteiligt werden und die gesamte NF-Amplitude kleiner wird. Die Zeitkonstante sollte also auf keinen Fall größer werden als die vorgeschriebene Deemphasis von 50 μs .

$$\frac{1}{f_u} < R_1 C_1$$

f_u = untere ZF-Frequenz = 25 kHz)
Für $R_1 = 50 \text{ k}\Omega$ wird

$$C_1 > 800 \text{ pF}$$

Gewählt wird $C_1 = 1 \text{ nF}$.

Mit diesen Werten ergibt sich eine Zeitkonstante von

$$\tau = R_1 C_1 = 50 \mu\text{s}$$

also gerade die erforderliche Deemphasis.

Als Dioden können die Universaldioden OA 625, OA 645 oder OA 665 verwendet werden.

Praktische Erprobung

Die angegebene Schaltung wurde mit einfachen Mitteln aufgebaut und erprobt. Vor der ECH 81 als zweite Mischstufe war ein neunkreisiger Empfänger (g, der ECH 81 anstelle der herausgenommenen dritten ZF-Stufe) geschaltet. Außerdem wurde der RC-Verstärker mit der EF 80 weggelassen. Der Empfangsort (Ilmenau) lag so, daß nur Sender mit geringer Feldstärke einfielen, trotzdem war ein einwandfreier Empfang der stärkeren Sender zu erzielen. Sender, die bei einem Ratiodektor verwechselt einfielen, blieben auch mit der beschriebenen Schaltung im Rauschen. Das ist allerdings verständlich, weil die dritte ZF-Stufe als Mischstufe ausgelegt wurde. Sie hat damit nicht die Verstärkung einer ZF-

Die Funktion des Schmitt-Triggers wurde mit einem Oszillografen überprüft. Die abgegebene Rechteckspannung wird je nach Arbeitspunkteinstellung der Röhren bei größer bzw. kleiner werdendem Signal unsymmetrisch. Wie jedoch noch ausgeführt wird, hat das keinen Einfluß auf die Demodulation.

Theoretische Erwägungen

Vor dem Aufbau der Schaltung wurden folgende Überlegungen über die Funktion angestellt. Nach der üblichen Darstellung eines modulierten Signals als Trägerschwingung plus Seitenbandfrequenzen schien nämlich zuerst die Verwendung eines Schmitt-Triggers zweifelhaft, denn dieser ist nicht in der Lage, zwei oder mehr Schwingungen zu gleicher Zeit zu verarbeiten. Das bedeutete, daß zumindest nur das obere Seitenband demoduliert würde. Es enthält nicht den gesamten Nachrichteninhalte. Es wäre aber zu erwarten, daß nur jeweils die oberste auftretende Modulationsfrequenz am Ausgang erschiene. Dadurch bliebe die NF unverständlich. Wirklich existierend ist jedoch nur eine einzige Frequenz in einem Zeitraum τ , der sich in der Größe

$$T_{ob} \leq \tau \leq T_u$$

bewegen kann.

schwingungen bis der nächste Anstoß kommt. Die durchschnittliche Amplitude ist abhängig von der Größe der Amplituden der anstoßenden Kurvenzüge.

Nimmt man an, es sei wirklich in dem angegebenen Zeitraum τ nur eine Schwingung einer Frequenz vorhanden, so ist diese aber auf jeden Fall dadurch verzerrt, daß sie einen Übergang von einer Frequenz zur benachbarten darstellt. Diese Verzerrung kann man wieder nach Fourier als Addition von weiteren, höheren Frequenzen deuten.

Der Übergang geschieht jedoch bei 100 MHz Trägerfrequenz, einem Hub von 75 kHz und einer NF-Frequenz von 15 kHz innerhalb von

$$\frac{F}{f + \Delta f} = \frac{100 \cdot 10^6}{90 \cdot 10^3} = 1,11 \cdot 10^3$$

Schwingungen. Das bedeutet, daß sich die Frequenz eines modulierten Signals im ungünstigsten Falle erst während 1111 vollzogener Schwingungen um 1 Hz ändert. Die Verzerrung der einzelnen Schwingung ist also äußerst gering.

Durch die Mischungen wird das Signal erst auf eine Frequenz von 10,7 MHz, dann auf eine solche von 115 kHz herabgesetzt. Die besprochenen Verzerrungen werden dadurch allerdings relativ größer, für die Steuerung des Schmitt-Triggers spielt jedoch die Form des Eingangssignals nur eine untergeordnete Rolle. Wichtig sind nur die ersten „Stücke“ einer stetigen, schnellen Potentialänderung in jeweils umgekehrter Richtung wie die vorhergehende. Durch diese wird der Kipp ausgelöst. Damit entsprechen aber die Abstände zwischen den einzelnen Kippvorgängen genau denen der einzelnen Nulldurchgänge des Signals.

Zusammenfassung

Unter der Bedingung, daß tatsächlich im Moment nur eine einzige Schwingung existiert und die Grenzfrequenz des Triggers genügend hoch liegt, kann dieser je Schwingung der ankommenden zweiten ZF einen Rechteckimpuls abgeben. Diese Impulse haben gleiche Abstände der Nulldurchgänge wie die ZF-Schwingungen, nur daß sie eventuell phasenverschoben sind. Weil aber die Verschiebung für alle Nulldurchgänge die gleiche ist, hat sie keinerlei Auswirkungen. Die Rechteckspannung läßt sich mit dem angegebenen Demodulator einwandfrei demodulieren. Die Schaltung mußte nach diesen Überlegungen theoretisch arbeiten. Bei der praktischen Erprobung ergaben sich die beschriebenen Vor- bzw. Nachteile.

Literatur

- [1] Glaser, W.: Die Impulszählschaltung als FM-Demodulator. radio und fernsehen 7 (1958) H. 22 S. 675—678
- [2] Orlik, O.: Theoretische Grundlagen der Frequenzmodulation. radio und fernsehen 8 (1959) H. 22 S. 702—705

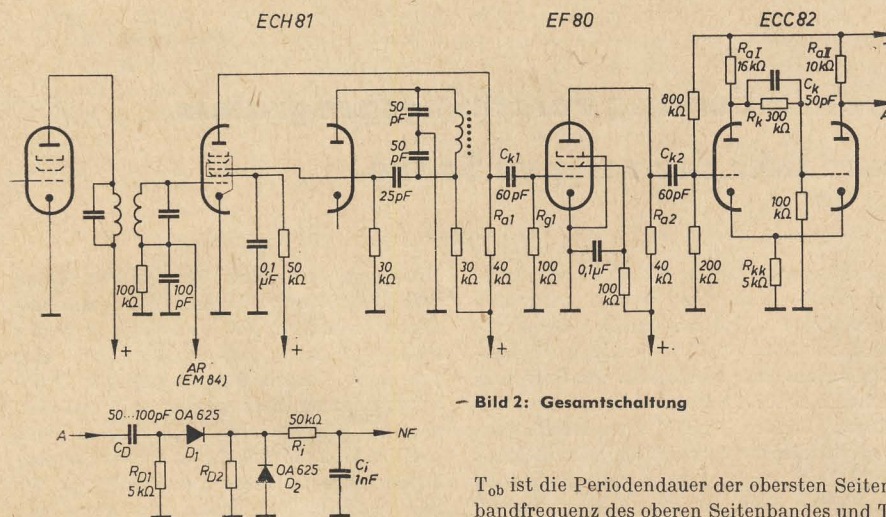
Aus unserem Verlagsangebot empfehlen wir:

E. G. Woschni

Frequenzmodulation

224 Seiten, 102 Bilder, 5 Tafeln, Kunstleder 31,— DM

VEB VERLAG TECHNIK · Berlin



— Bild 2: Gesamtschaltung

T_{ob} ist die Periodendauer der obersten Seitenbandfrequenz des oberen Seitenbandes und T_u die Periodendauer der untersten Seitenbandfrequenz des unteren Seitenbandes.

Die Seitenbanddarstellung ist eine mathematische Annäherung (genau wird sie erst bei Berücksichtigung unendlich vieler Seitenbänder). Sie ist gewählt worden, weil man mit ihrer Hilfe die Modulationsvorgänge mathematisch erfassen kann. Sie baut auf die bekannte Theorie von Fourier auf, die besagt, daß jeder sich periodisch wiederholende Vorgang als Summe von sinusförmigen periodischen Schwingungen aufgefaßt werden kann. Es ist auch praktisch möglich, jede dieser bei einer theoretischen Fourier-Zerlegung auftretenden Frequenzen mittels geeigneter Filter auszusieben. Das beruht jedoch darauf, daß bei den auftretenden Frequenzänderungen eines frequenzmodulierten Signals „Stücke“ einer Sinuskurve auftreten, deren Frequenz der Eigenfrequenz des verwendeten Filters entspricht. Das Filter wird somit angestoßen und schwingt weiter. Je nach der vorhandenen Bedämpfung vollzieht es nach diesem Anstoß mehr oder weniger viele ganze Sinus-

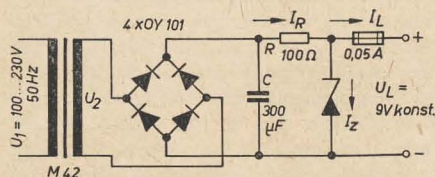
Stufe. Das Rauschen hat seine Ursache in der HF-Vorstufe.

Es wurde schon darauf hingewiesen, daß die Seitenbandfrequenzen der zweiten ZF nicht in den hörbaren NF-Bereich fallen dürfen. Sie werden sonst direkt hörbar, sind aber nicht verständlich. Das macht sich beim Abstimmen auf einen Sender nachteilig bemerkbar. Beim Abstimmen läuft die ZF in den eigentlichen Durchlaßbereich hinein. Weil aber die Dämpfung für Signale wenig außerhalb des Durchlaßbereiches nicht unendlich ist, kommt es im Zusammenwirken mit dem zweiten Oszillator zustande, daß der genannte Fall eintritt. Dadurch treten, je nachdem von welcher Seite her auf den Sender abgestimmt wird, sehr störende Geräusche lautstark auf. Es ist anzunehmen, daß diese Erscheinung mit einer Erhöhung der Selektivität, also z. B. mit einem elfkreisigen Empfänger vor der zweiten Mischung und der Einfügung des RC-Verstärkers, stark herabgemindert wird.

Netzgerät zum Selbstbau

Der Selbstbau von stabilisierten Netzgeräten ist immer wieder ein beliebtes Betätigungsfeld für viele Amateure (z. B. als Zusatznetzteil für batteriebetriebene Kofferempfänger). Die wichtigste Forderung an ein derartiges Netzgerät ist dabei eine sekundäre Spannungsstabilisierung, damit man dem niederohmigen Batterieanschluß nahekommt. Dies erreicht man z. B. mit einer Zenerdiode. Der Versuchsaufbau des im folgenden beschriebenen Gerätes hat ergeben, daß die Stabilisierung bei sehr großen Netzspannungsschwankungen ausreicht, so daß man das Netzgerät für einen primären Anschluß von 110 oder 220 V (ohne umzuschalten) betreiben kann.

Der Berechnungsweg ist so gewählt, daß er für Netzgeräte mit vielseitigen Anforderungen, sofern die entsprechenden Zenerdioden vorhanden sind, angewendet werden kann. Die prinzipielle Schaltung zeigt Bild 1.



Schaltbild des Netzgerätes

Die Dimensionierung der Bauelemente richtet sich nach den gewünschten Anforderungen an das Netzgerät.

Die sekundäre Gleichspannung U_L soll bei einem primären Wechselspannungsbereich von 100...230 V und bei einer Belastung von 0...8 mA konstant 9 V betragen. Der Wechselspannungsanteil dieser Gleichspannung muß so gering sein, daß ein Brummen, z. B. beim Betrieb des „Sternchens“, nicht vernehmbar ist.

Zunächst wird die sekundäre Wechselspannung U_{2min} bei der Primärspannung $U_{1min} = 100$ V berechnet. Der Widerstand R ist ausschlaggebend für die maximale Belastung der Zenerdiode. Er soll mit 100 Ω angenommen werden. Stellt sich am Schluß der Rechnung heraus, daß die Zenerdiode überlastet werden muß, um das geforderte stabile Verhalten zu erreichen, oder daß der Arbeitsbereich der Zenerdiode ungünstig liegt, muß man das Netzgerät nochmals mit einem günstigeren R -Wert berechnen.

Die Zenerdiode (z. B. ZL 910/10) muß einen minimalen Strom von etwa 10 mA ziehen, damit die Spannungskonstanz gewährleistet wird.

Bei maximaler Belastung wird damit I_R

$$I_{Rmax} = I_{Lmax} + I_{Zmin} = 8 + 10 = 18 \text{ mA}$$

Daraus folgt für den Spannungsabfall über R

$$U_R = I_{Rmax} \cdot R = 0,018 \cdot 100 = 1,8 \text{ V}$$

Nun kann die minimale sekundäre Wechselspannung U_{2min} bei U_{1min} berechnet werden

$$U_{2min} = (U_L + U_R) 1,2 = (9 + 1,8) 1,2 = 13 \text{ V}$$

Der Faktor 1,2 berücksichtigt dabei das Verhältnis zwischen Effektivwert und arithmetischem Mittelwert und die inneren Spannungsabfälle im Trafo und in den Gleichrichtern.

Bei U_{1min} ist also ein U_{2min} von 13 V erforderlich.

Daraus folgt etwa für U_{2max}

$$\frac{U_{1min}}{U_{1max}} = \frac{U_{2min}}{U_{2max}}$$

$$U_{2max} = \frac{U_{2min} \cdot U_{1max}}{U_{1min}} = \frac{13 \cdot 230}{100} = 30 \text{ V}$$

Jetzt wird die Belastung der Zenerdiode überprüft.

I_{Zmax} fließt im Leerlauf bei U_{1max} . Hat man eine Zenerdiode mit guter Zenercharakteristik, so kann ihre Innenwiderstandsänderung im Arbeitsbereich vernachlässigt werden. Die Gleichspannung über dem Elko ergibt sich zu

$$U_C = \frac{U_{2max}}{1,2} = \frac{30}{1,2} = 25 \text{ V}$$

Über R müssen also 16 V abfallen, damit $U_L = 9$ V bleibt.

Somit ergibt sich ein Strom

$$I_R = \frac{U_R}{R} = \frac{16}{100} = 160 \text{ mA}$$

Da im Leerlauf $I_R = I_Z$ ist, muß die Zenerdiode einen maximalen Strom von 160 mA vertragen können. Bei Verwendung der oben erwähnten Diode ist sie daher auf ein Kühlblech zu montieren.

Die an R abfallende maximale Verlustleistung ergibt sich zu

$$N_R = \frac{U_R^2}{R} = \frac{16^2}{100} = 2,56 \text{ W}$$

Für den Trafo wurde der Kerntyp M 42 verwendet. Er wurde für 220/30 V und eine sekundäre Last von 160 mA (Berechnungsunterlagen siehe radio und fernsehen 11 (1962) H. 10 S. 324—325) gewickelt. Zur Glättung der Gleichspannung genügt ein Ladeelko von 300 μ F. Die Gleichrichter müssen den halben maximalen Strom, also 80 mA, und eine Sperrspannung von 30 V vertragen können.

Im Versuchsgerät wurden Gleichrichter vom Typ OY 101 verwendet.

Ing. Wolfgang Nelde

Internationales Forschungsprogramm zum Jahr der ruhigen Sonne

Als zweites großes internationales Forschungsvorhaben — nach dem bereits erfolgreich abgelaufenen „Internationalen Geophysikalischen Jahr (IGY)“ — haben Wissenschaftler aus über 50 Ländern der Erde eine weltweite Arbeit im Rahmen des „Jahres der ruhigen Sonne (IQSY)“ vereinbart. Im geophysikalischen Jahr und den darauffolgenden Jahren wurden bereits wertvolle Ergebnisse durch diese weltweite Zusammenarbeit erzielt, und man hofft, auch bei dem neuen Forschungsvorhaben wichtige Erkenntnisse über die uns umgebende Natur zu erhalten. Der Umfang der durchzuführenden Messungen auf den verschiedensten Gebieten gestattet es nicht, daß sich nur ein Land oder nur wenige Wissenschaftler an diese Probleme heranwagen. Vielmehr muß der ganze moderne Apparat an technischen Hilfsmitteln, Funkeinrichtungen, Auswerte- und Datenverarbeitungsanlagen sowie Raketen usw. eingesetzt und der Ablauf der Beobachtungen muß im weltweiten Maßstab geplant werden. Die zum Gebiet der „Erkundungsforschung“ gehörenden Arbeiten beeinflussen in den späteren Jahren auch die Technik, und was heute nur einen kleinen Kreis von Experten interessiert, wird morgen Besitz der gesamten Menschheit.

Wie bereits allgemein bekannt ist, besteht ein etwa 11 Jahre dauernder Sonnenfleckenzyklus. Sein letztes Maximum lag in den Jahren 1957/58. Für 1964 tritt ein Aktivitätsminimum auf, so daß man in diesem Jahr

Messungen durchführen kann, deren Ablauf geringste Störungen durch Sonnenfleckeneffekte erfordert. Mit optischen Methoden beobachtet man die Sonne schon über 100 Jahre, jedoch der Umfang der radioastronomischen Beobachtung hat erst seit etwa 15 Jahren einen vergleichbaren Wert erreicht. Wenn man bedenkt, daß ein Sonnenfleckenzyklus 11 Jahre dauert und man für eine einigermaßen exakte Voraussage des künftigen Verlaufs Meßwerte aus vier bis fünf Zyklen braucht, um korrelieren zu können, so wird klar, daß wir erst am Anfang der Entwicklung stehen.

Wissenschaftler der DDR beteiligten sich bereits erfolgreich am Internationalen Geophysikalischen Jahr. Die Koordinierung aller Arbeiten hatte damals die Deutsche Akademie der Wissenschaften durchgeführt. Aus den Erfahrungen dieser Arbeit ist auch für das kommende Programm ein Nationalkomitee gegründet worden, das im Rahmen der „Europäisch-asiatischen Region des IGC“, einer Einrichtung des International Council of Scientific Unions, seine Arbeit durchführen wird.

Das Jahr der ruhigen Sonne beschäftigt sich in der Hauptsache mit den Erscheinungen in der Atmosphäre und im nahen kosmischen Raum, es wird ergänzt durch das ebenfalls internationale „Upper-Mantle-Project“ (Erforschung der ersten 1000 km der Erdhülle).

Fortsetzung auf Seite 117

SV-Typen (Varistoren)

Fortsetzung aus radio und fernsehen 13 (1964) H. 3 S. 86

Technische Kenndaten der SV-Widerstände

Die Bilder 10 bis 13 zeigen das Strom-Spannungs-Verhalten im linearen Maßstab. Der Kurvenverlauf wird durch die Belastungslinie begrenzt, die der in der Tabelle angegebenen maximalen Belastbarkeit entspricht. Die Strom-Spannungs-Kennlinien sind auf eine Körpertemperatur von 20 °C bezogen; bei höheren Temperaturen (Stromwärme, Außentemperatur) liegen die Werte etwas unter diesen Kurven. Die SV-Widerstände können in speziellen Anwendungsfällen auch rechts von diesem Wert betrieben werden, wenn dabei die Hinweise über Belastbarkeit beachtet werden. In

den Bildern 14 bis 17 ist der Zusammenhang zwischen dem Widerstand des Varistors und der anliegenden Spannung aufgetragen. Durch den gestrichelten Teil der Kurve wird der Verlauf angegeben, der bei strenger Gültigkeit der Gleichung

$$R = \frac{C}{I(1-\beta)}$$

zu erwarten wäre. Der ausgezogene Teil der Kurven entspricht dem tatsächlichen Verhalten der Widerstände in Übereinstimmung mit der Gleichung

$$U = C_1 \cdot I^\beta + C_2 \cdot I$$

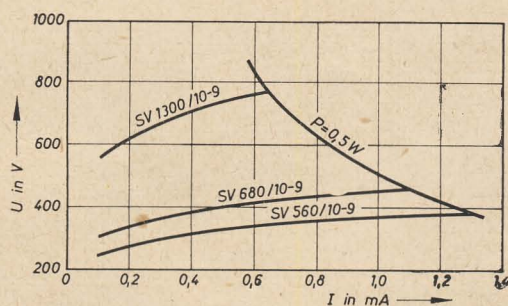


Bild 10: Strom-Spannungs-Kennlinie der SV-Widerstände mit einer maximalen Belastbarkeit von 0,5 W (20 °C)

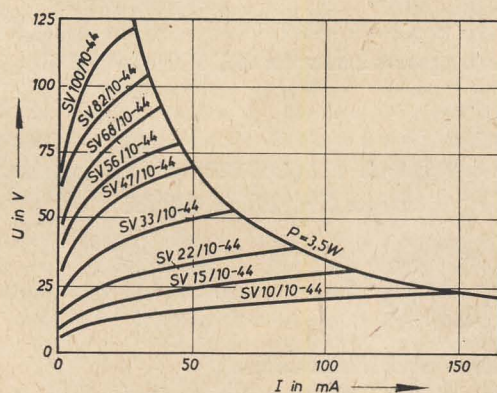


Bild 12: Strom-Spannungs-Kennlinie der SV-Widerstände mit einer maximalen Belastbarkeit von 3,5 W (20 °C)

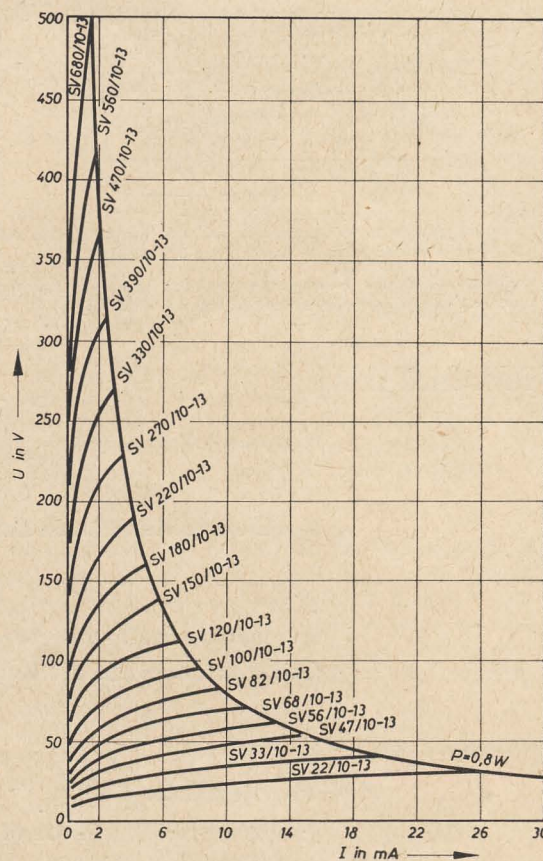


Bild 11: Strom-Spannungs-Kennlinie der SV-Widerstände mit einer maximalen Belastbarkeit von 0,8 W (20 °C)

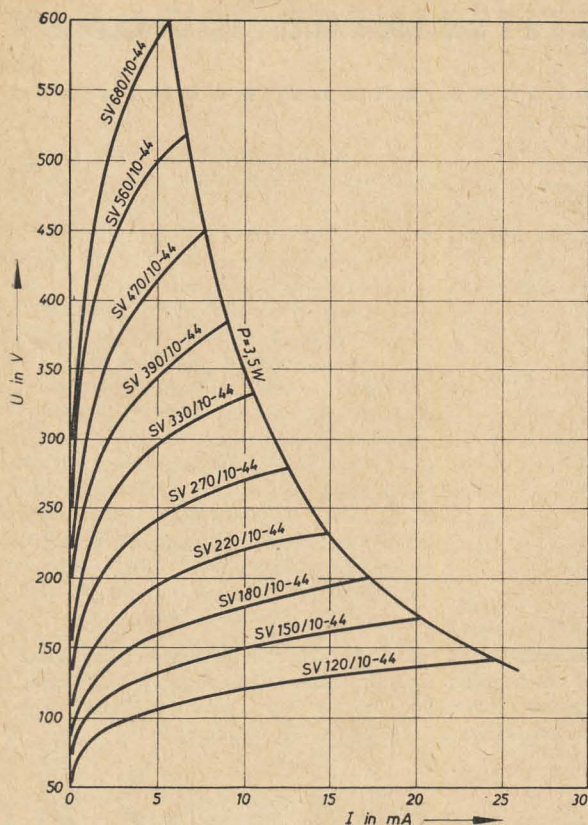


Bild 13: Strom-Spannungs-Kennlinie der SV-Widerstände mit einer maximalen Belastbarkeit von 3,5 W (20 °C)

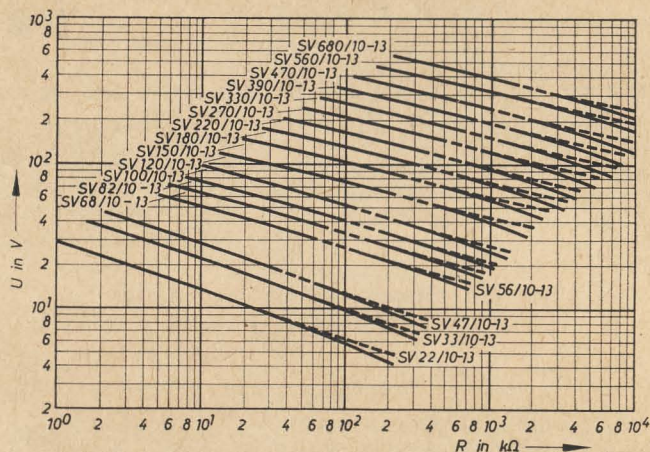


Bild 15: Abhängigkeit des Widerstandes von der Spannung bei Varistoren mit einer maximalen Belastbarkeit von 0,8 W (20 °C)

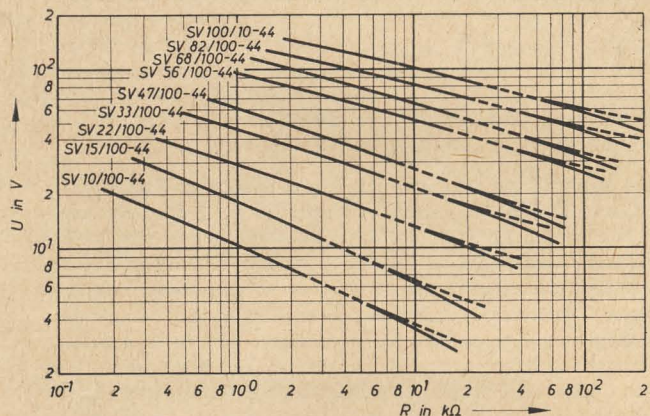


Bild 16: Abhängigkeit des Widerstandes von der Spannung bei Varistoren mit einer maximalen Belastbarkeit von 3,5 W (20 °C)

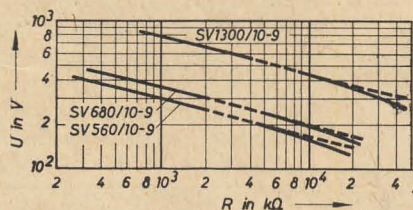
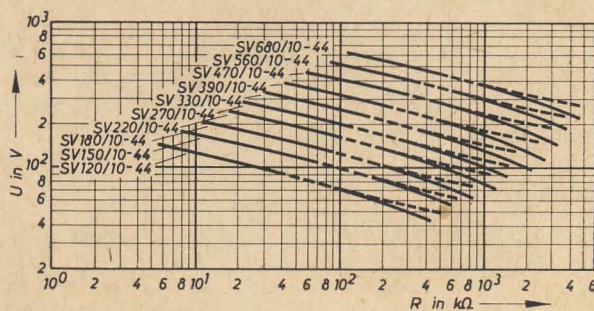


Bild 14: Abhängigkeit des Widerstandes von der Spannung bei Varistoren mit einer maximalen Belastbarkeit von 0,5 W (20 °C)

Bild 17: Abhängigkeit des Widerstandes von der Spannung bei Varistoren mit einer maximalen Belastbarkeit von 3,5 W (20 °C)



Vorankündigung

In den nächsten Heften finden Sie:

MITTEILUNG AUS DEM INSTITUT FÜR HALBLEITERTECHNIK, TELTOW
Vorläufige Kenndaten der Si-pnp-Legierungstristoren OC 920 bis OC 923

*

MITTEILUNG AUS DEM VEB HALBLEITERWERK FRANKFURT (ODER)
Kennwerte der Transistoren GF 120 (OC 880) bis GF 122 (OC 883) und ihre Messung,
und Vorschau auf die Kennwerte der Transistoren GF 129 bis GF 132

*

MITTEILUNG AUS DEM VEB KERAMISCHE WERKE HERMSDORF
Thermistoren TNK-4
Halbleiterwiderstände für Kompensations- und Meßzwecke
Thermistoren TNK
Halbleiterwiderstände zur Temperaturkompensation in Fernsehempfängern

Neue Kaltkatoden-Relaisröhren und einige Anwendungshinweise

Z 860 X, Z 861 X, Z 660 W

Teil 2 und Schluß

Ing. WINFRIED MÜLLER

Mitteilung aus dem VEB Werk für Fernsehelektronik, Berlin

Zählketten

Die Existenz zweier Starter ermöglicht den Aufbau vor- und rückwärtszählender Zählstufen und somit den Vergleich zweier Impulshäufigkeiten. Eine dimensionierte Schaltung zeigt Bild 18. Der hier dargestellte Zählring mit Impulsübertragerstufe zum folgenden Zählring kann den Bedürfnissen entsprechend durch Einfügen weiterer Stufen erweitert werden. Es muß lediglich entschieden werden, ob bei Inbetriebnahme des Zählringes die Röhre 0 automatisch oder, wie dargestellt, durch Tastendruck zünden soll.

Für die sichere Löschung der jeweils in Zählrichtung vorhergehenden Stufen gelten die in [1] gemachten Überlegungen. Die Zählgeschwindigkeit dieser Röhren wird durch ihre Entionisierungszeit $t_e = 1000 \mu s$ nach oben hin begrenzt. Untersuchungen ergaben, daß die obere Frequenzgrenze in Zähl-schaltungen nach Bild 18 etwa 1,2 kHz beträgt. Die bereits angedeutete Möglichkeit, den Starter II für die Gewinnung einer Vorspannung heranzuziehen, wird durch Bild 19 praktisch verdeutlicht. In dieser Schaltung ist die Katodenkombination mit gleicher Funktion in die Anodenzuleitung verlegt worden. Die angegebenen Werte gelten bei Verwendung der Z 660 W bzw. Z 860 X.

Grundsätzlich ist auch mit dieser Schaltung

Betrieb wurden gasgefüllte Ziffernanzeigeröhren durch die Zählkette angesteuert. Es wird empfohlen, mit relativ großem Anodenstrom zu arbeiten, was sich natürlich nachteilig auf die Entionisierungszeit und auf die obere Zählfrequenz auswirkt. Dieser Nachteil mußte zur Gewinnung der Sondenspannung in Kauf genommen werden. Bei geringeren Strömen wäre die Sondenspannung entsprechend kleiner. In diesem Zusammenhang sei darauf hingewiesen, daß ausschließlich keramische Fassungen zu verwenden sind. Damit wird verhindert, daß

finden u. a. häufig in n-stufigen Zählringen Verwendung und haben die Aufgabe, den $(n + 1)$ ten Impuls auf den folgenden Zählring zu übertragen. Dieser Vorgang wiederholt sich jedesmal nach dem Durchzählen eines Zählringes.

Die Bilder 20 bis 22 vermitteln einige häufig angewandte Stufen dieser Art. Ihre Funktion ist etwas unterschiedlich, der gewonnene Impuls entspricht aber jedesmal den gewünschten Forderungen. Praktische Erprobungen wurden an der Stufe nach Bild 22 mit den Röhren Z 660 W und Z 860 X durch-

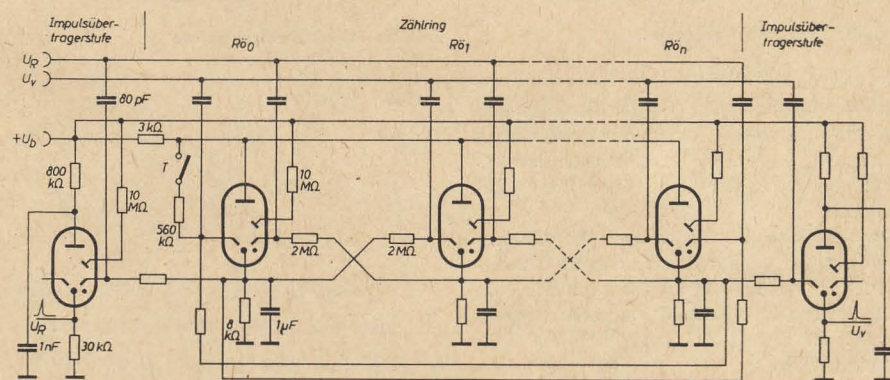


Bild 18: Schaltung eines vor- und rückwärtszählenden Zählringes mit Impulsübertragerstufe mit den Röhren Z 860 X

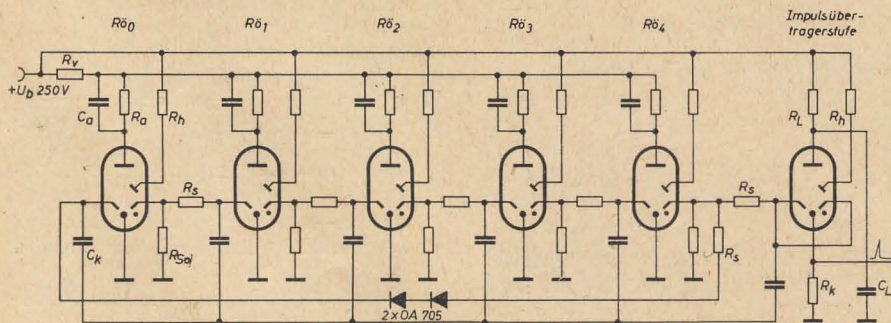


Bild 19: Fünfstufiger Zählring mit Impulsübertragerstufe

	Z 860 X	Z 660 W	
R_V	1,5	1,5	k Ω
R_A	5	25	k Ω
R_h	10	10	M Ω
R_{S0}	20	30	M Ω
R_S	2	2	M Ω
R_L	800	800	k Ω
R_k	30	30	k Ω
C_a	1	0,05 ... 0,05	μF
C_L	1000	500	pF
C_k	80	80	pF

ein Vor- und Rückwärtszählen möglich. Der entscheidende Vorteil dieser Schaltungsvariation kann natürlich nicht die dargestellte Vorspannungsgewinnung allein sein, sondern der sich durch die Schaltung ergebende erheblich geringere Potentialunterschied Anode — Masse bei gezündeter Röhre. Dadurch wird es möglich, gasgefüllte Ziffernanzeige- oder Registerröhren durch die einzelnen Kaltkatoden-Relaisröhren direkt anzusteuern.

Der Zählring entsprechend Bild 19 verhält sich in seinen Eigenschaften ähnlich dem vorher beschriebenen. Durch sorgfältige Dimensionierung und kapazitätsarmen Schaltungsaufbau konnte eine maximale Zählfrequenz von $f_z = 1,8 \text{ kHz}$ erreicht werden. Bei diesem

Isolationsschwierigkeiten zwischen den einzelnen Elektroden der Röhre die Funktionstüchtigkeit der Schaltung beeinträchtigen. Die erreichbaren Zählfrequenzen erscheinen im Vergleich zu transistorisierten oder mit Röhren bestückten Zählern als gering. Die Erfahrung hat aber gezeigt, daß in der industriellen Elektronik die häufigsten Zählprobleme 1 kHz kaum überschreiten. Auch werden heute Relaisröhren wohl kaum für Zähl-schaltungen Anwendung finden. Die Dekadenzählröhren sind im allgemeinen hierfür das geeignetere Bauelement.

Koppelstufen, Impulsübertragerstufen

Diese Stufen sollen im Rahmen dieses Beitrages nur am Rande erwähnt werden. Sie

geführt. Bei allen Stufen handelt es sich um Schaltungen, in denen die einmal gezündete Röhre wieder von selbst verlischt.

Der über einen hochohmigen Widerstand aufgeladene Kondensator dient der Relaisröhre nach ihrem Zünden als Stromquelle. Da sich der Kondensator C_L durch die Röhre exponentiell entlädt, erreicht und unterschreitet die an ihm liegende Spannung die „Löschspannung“ der Röhre.

Das Nichtabreißen der Entladung bei der Löschspannung der Röhre und das Unterschreiten dieses Punktes hat seine Ursache darin, daß sich die in der Röhre vorhandenen Ladungsträger nicht im gleichen Maße verringern wie die an der Röhre anliegende Spannung. Eine einwandfreie Vorausberechnung

dieser Stufen stößt auf mannigfaltige Schwierigkeiten, da bestimmte Faktoren nicht exakt bekannt sind und sich zum anderen das praktische Verhalten in Verbindung mit Zählketten erst im Experiment ergibt. Somit ist die folgende Rechnung nur als Orientierung gedacht.

Unter Berücksichtigung der Entionisierungszeit t_e der entsprechenden Röhrentypen beträgt die maximal erreichbare Zählfrequenz:

$$\text{Z 660 W: } t_e = 500 \mu\text{s}; f = \frac{1}{t_e} = 2 \text{ kHz}$$

$$\text{Z 860 X: } t_e = 1000 \mu\text{s}; f = \frac{1}{t_e} = 1 \text{ kHz}$$

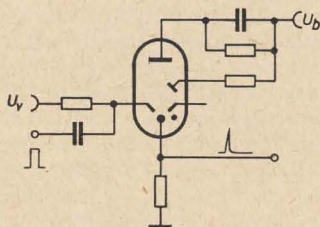


Bild 20: Impulsübertragerstufe

Da die angegebenen Entionisierungszeiten immer einen sicher erreichbaren Mittelwert darstellen, liegen die tatsächlichen erreichbaren Werte unter bzw. über den angegebenen.

Um sich eine Übersicht über die Größenordnung der in Frage kommenden Bauelemente zu verschaffen, empfiehlt es sich, von den bekannten Entionisierungszeiten auszugehen. In diesem Fall setzt sich die Zeitkonstante aus

$$\tau = t_e = R_a \cdot C_L$$

zusammen.

Die Größe von R_a wird durch den jeweiligen Röhrentyp bestimmt und beträgt etwa 0,5 bis 1 M Ω . R_a beeinflusst maßgeblich die Ladezeit von C_L , also die verarbeitbare Impulsfrequenz dieser Stufe, und begrenzt andererseits den Strom durch die Röhre derart, daß ein Aufrechterhalten der Entladung verhindert wird. Das wäre der Fall, wenn z. B. C_L sehr schnell nachgeladen werden würde.

Mit $R_a = 500 \text{ k}\Omega$ und $\tau = t_e = 500 \mu\text{s}$ bzw. $1000 \mu\text{s}$ ergeben sich zunächst folgende überschlägige Kapazitäten für C_L .

$$\text{Z 660 W } C_L = \frac{t_e}{R_a} = \frac{500 \cdot 10^{-6}}{500 \cdot 10^3} = 1 \text{ nF}$$

$$\text{Z 860 X } C_L = \frac{1 \cdot 10^{-3}}{500 \cdot 10^3} = 2 \text{ nF}$$

Die praktischen Untersuchungen ergaben aber eine folgende optimale Impulsfrequenz durch Verändern von Bauelementen

$$R_a = 800 \text{ k}\Omega$$

$$C_L \text{ 660 W} = 500 \text{ pF}$$

$$C_L \text{ 860 X} = 1 \text{ nF}$$

Die gemachten Übersichtsrechnungen setzen eine vollständige Entladung des Kondensators voraus. Diese Annahme ist natürlich sehr ungenau und entspricht auch nicht den Tatsachen, da die Entladung, wie bereits erwähnt, etwas unter dem Löschspannungswert beendet wird.

Die Löschspannung der Röhre, das sei hier eingefügt, ist im dynamischen Betrieb nicht mit der statischen Löschspannung, die etwa gleich der Brennspannung ist, identisch. Die für den Fortgang der Rechnung benötigten Größen

$$U_{\text{Lösch}} = U_L = 100 \text{ V}$$

$$U_{\text{Zünd}} = U_Z = 175 \text{ V}$$

mußten oszillografisch ermittelt werden. Die übrigen benötigten Größen sind:

$$U_b = 270 \text{ V } R_a = 800 \text{ k}\Omega R_k = 30 \text{ k}\Omega$$

$$C_L = 500 \text{ pF (Z 660 W)}$$

$$C_L = 1 \text{ nF (Z 860 X)}$$

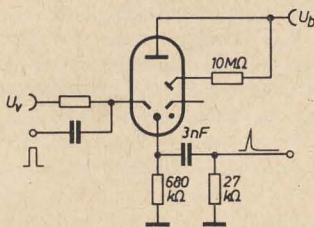


Bild 21: Impulsübertragerstufe

$$U_Z = U_b - U_L \left(1 - e^{-\frac{t_h}{\tau_1}}\right) + U_L \quad (1)$$

$$\tau_1 = C_L \cdot R_a \quad (2)$$

$$U_L = U_Z \cdot e^{-\frac{t_R}{\tau_2}} \quad (3)$$

$$\tau_2 = C_L \cdot R_k \quad (4)$$

Die Gleichung (1) wird nach t_h umgestellt:

$$\text{Z 860 X: } t_h = C_L \cdot R_a \cdot \ln \frac{U_b - U_L}{U_b - U_Z}$$

$$t_h = 10^{-9} \cdot 800 \cdot 10^3 \ln \frac{275 - 100}{275 - 175}$$

$$t_h = 4,48 \cdot 10^{-4} \text{ s}$$

Gleichung (3) nach t_R umgestellt:

$$t_R = C_L \cdot R_k \cdot \ln \frac{U_Z}{U_L}$$

$$= 10^{-9} \cdot 30 \cdot 10^3 \ln 1,75$$

$$= 1,68 \cdot 10^{-4} \text{ s}$$

Die Impulsfrequenz ergibt sich schließlich unter Berücksichtigung der Hin- und Rücklaufzeiten:

$$f = \frac{1}{T} = \frac{1}{t_h + t_R} = \frac{1}{4,65 \cdot 10^{-4}}$$

$$f = 2,15 \text{ kHz}$$

Analog ergibt sich für die Z 660 W eine theoretisch maximal erreichbare Impulsfrequenz von

$$f = 4,13 \text{ kHz}$$

Im bisherigen Rechnungsgang blieb R_k = 30 k Ω unerwähnt. An ihm fallen die für die Ansteuerung der nächstfolgenden Zählstufen benötigten positiven Steuerimpulse ab.

Die beschriebenen Kaltkathoden-Relaisröhren benötigen eine minimale Starterzündspannung von $U_{st} = 150 \dots 160 \text{ V}$. Bei einer maximal zulässigen Startervorspannung $U_v = 100 \text{ V}$ muß die überlagerte Zündimpulsamplitude

gleich oder größer der Differenz der genannten Spannungen sein.

Um die üblichen Unsicherheiten, die von Röhren oder Bauelementestreuwerten herühren könnten, auszuschalten, wurde ein maximaler Steuerimpuls von $\hat{U}_k = 75 \text{ V}$ als ausreichend befunden.

Die Größe des R_v bestimmt man am bequemsten durch das Experiment. Durch einen regelbaren Widerstand für R_k läßt sich rasch die gewünschte Impulsamplitude oszillografisch einstellen und der benötigte Widerstand ermitteln.

In diesem Zusammenhang soll erwähnt werden, daß eine Berechnung des R_k für den

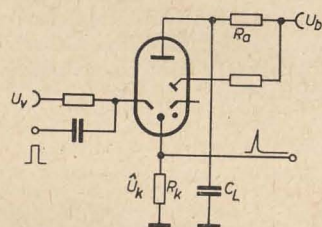


Bild 22: Impulsübertragerstufe

Praktiker umständlich und mit gewissen Schwierigkeiten verbunden ist.

Die Annahme, daß sich der auf eine bekannte Spannung/ aufgeladene Ladekondensator C_L unter Abzug der Brennspannung der Röhre über R_k entlädt und folgerichtig zu der an R_k stehenden Differenzspannung ($U_L - U_{Ba} = \hat{U}_k$) führen muß, trifft nicht zu. Die Ursache ist die in den Bereich der Ionisierungszeit der Röhre $t_i = 20 \mu\text{s}$ fallende Entladezeitkonstante von $\tau = C_L \cdot R_k$. In dieser Zeitspanne bildet sich die Brennspannung der Röhre, und der Kondensator entlädt sich über die sich eben in ihrem Potential verändernde Entladungsstrecke.

Literatur

- [1] Kullmann, J.: Funktion und Dimensionierung von elektronischen Zählaltungen mit Kaltkathoden-Relaisröhren. radio und fernsehen 11 (1962) H. 17 S. 544 bis 547.
- [2] Geßner, R.: Schaltungen mit Relais- und Zählröhren. radio und fernsehen 6 (1957) H. 17 S. 537—539
- [3] Müller, W.; Kullmann, J.: Die Anwendung von Kaltkathodenröhren in einem Zeitmeßgerät mit digitaler Zeitanzeige. radio und fernsehen 12 (1963) H. 2 S. 59—63
- [4] Liebendörfer, H.: Ein neuer Kaltkathoden-zählring mit direkter Ziffernanzeige. Elektronik 8 (1959) H. 12 S. 361—364
- [5] Telefunken-Laborbuch

Im II. Quartal erscheint:

Wilhelm Beier

Röhrentaschenbuch, Band I

9. Auflage
etwa 656 Seiten, etwa 2000 Bilder, Halbleinen etwa 15,— DM

VEB VERLAG TECHNIK · Berlin

Berechnung eines Differenzverstärkers mit Transistoren

Dipl.-Ing. W. KRAUSE

Der Differenzverstärker nach Bild 1 findet vor allem als Teil von Meß-, Steuer- und Rechenverstärkern Verwendung. Oft wird er unsymmetrisch betrieben bzw. neben der Ausnutzung seiner Verstärkungseigenschaften als Übergangsglied von symmetrischem auf unsymmetrischen Betrieb und umgekehrt benutzt, wobei ein unbenutzter Eingang stets direkt oder über einen Widerstand geerdet werden muß.

Für die beiden Anwendungsfälle

- Aussteuerung Eingang 1 — Ausgang 2 bei ungeerdetem Kollektor 1,
- Aussteuerung Eingang 2 — Ausgang 2 bei ungeerdetem Kollektor 1, werden die Betriebsgrößen mit Hilfe der Vierpoltheorie ermittelt. Die übrigen Anwendungsfälle des symmetrischen und des unsymmetrischen Betriebes ergeben sich aus den zwei genannten.

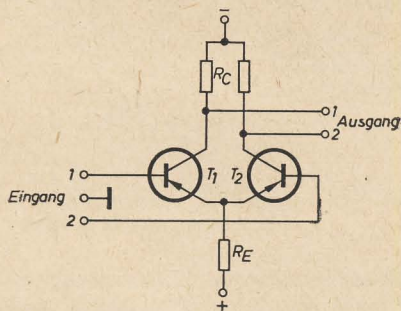


Bild 1: Differenzverstärker

Voraussetzung ist, daß zur Berechnung gleiche Transistoren mit gleichen Arbeitspunkten verwendet werden, daß also die Matrizen beider Transistoren gleich sind. Es werden in den Gleichungen nur die h-Parameter der Emitterschaltung benutzt. Die Rechnungen stützen sich, soweit es möglich ist, auf in der Literatur vorhandene Tabellen [3] [4] [5].

Fall a)

Bild 2 zeigt die für diesen Fall gültige Ersatzschaltung; eine Kettenschaltung von drei Vierpolen mit den Kettenmatrizen A_I bis A_{III} , die mit dem Widerstand R_2 abgeschlossen ist.

Da die Kombination $A_{II} \cdot A_{III}$ später noch benötigt wird, wird diese Multiplikation zuerst vorgenommen.

Unter Berücksichtigung der für die Kettenschaltung richtigen Zählpfeile für Ströme und Spannungen erhält man für die Widerstandsvierpole mit R_E und R_1 die Matrix

$$A = \begin{pmatrix} 1 & 0 \\ \frac{1}{R} & 1 \end{pmatrix} \quad (1)$$

Der Transistor T_2 hat in Basisschaltung mit den Emitterschaltungsparametern die Matrix

$$H_{T_2} = \frac{1}{1 + h_{21} + \Delta h - h_{12}} \begin{pmatrix} h_{11} & \Delta h - h_{12} \\ -(h_{21} + \Delta h) & h_{22} \end{pmatrix}$$

mit

$$\Delta H_{T_2} = \frac{\Delta h}{1 + h_{21} + \Delta h - h_{12}}$$

Die Berücksichtigung des Generatorwiderstandes erfolgt durch sinngemäße Anwen-

$$H_{III} = \frac{1}{1 + h_{21} + \Delta h - h_{12} + h_{22} R_{g2}} \begin{pmatrix} h_{11} + R_{g2} & \Delta h - h_{12} + h_{22} R_{g2} \\ -(h_{21} + \Delta h + h_{22} R_{g2}) & h_{22} \end{pmatrix} \quad (2)$$

Die Determinante ist

$$\Delta H_{III} = \frac{\Delta h + h_{22} R_{g2}}{1 + h_{21} + \Delta h - h_{12} + h_{22} R_{g2}}$$

Aus den Umrechnungstabellen erhält man die zur weiteren Berechnung der Kettenschaltung erforderliche Matrix

$$A_{III} = \frac{1}{h_{21} + \Delta h + h_{22} R_{g2}} \begin{pmatrix} \Delta h + h_{22} R_{g2} & h_{11} + R_{g2} \\ h_{22} & 1 + h_{21} + \Delta h - h_{12} + h_{22} R_{g2} \end{pmatrix}$$

Die Multiplikation mit der Matrix A_{II} ergibt

$$A_{II} \cdot A_{III} = \frac{1}{h_{21} + \Delta h + h_{22} R_{g2}} \begin{pmatrix} 1 & 0 \\ \frac{1}{R_E} & 1 \end{pmatrix} \cdot \begin{pmatrix} \Delta h + h_{22} R_{g2} & h_{11} + R_{g2} \\ h_{22} & 1 + h_{21} + \Delta h - h_{12} + h_{22} R_{g2} \end{pmatrix}$$

derung der in [6] abgeleiteten Gleichungen für die Ersatzmatrix eines Transistors in Emitterschaltung, in dessen Emitterschaltung zur Temperaturstabilisierung ein Widerstand eingefügt wurde. Allerdings wird hier anstelle der Näherung für H_{11} die exakte Gleichung

$$H_{11} = \frac{R_e (1 + \Delta h + h_{21} - h_{12}) + h_{11}}{1 + h_{22} R_e}$$

verwendet.

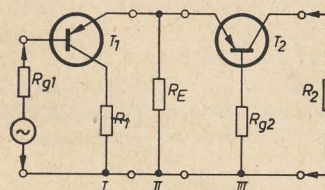


Bild 2: Die für den Fall a) gültige Ersatzschaltung

Man erhält die Matrix H_{III} , indem man in die dort angegebenen Gleichungen anstelle der h-Parameter des zu stabilisierenden Transistors die Elemente der Matrix H_{T_2} einsetzt:

Fortsetzung von Seite 112

In der Periode des IQSY wird es weniger ionosphärische Störungen, Polarlichterscheinungen und solare UV-Strahlungen geben. Die Wechselwirkung Sonne—Erde wird der Hauptgegenstand der Experimente werden, die nicht nur radiotechnische Verfahren umfassen. Es sollen gemessen werden: kosmische Strahlung, Erdströme, Polarlichterscheinungen, Veränderungen des erdmagnetischen Feldes, ionosphärische und meteorologische Effekte.

Der bekannteste Einfluß der Sonne ist die Absorption von Radiowellen in der Ionosphäre. Hier sollen umfangreiche Ausbreitungsmessungen durchgeführt werden, ein Programm, das die Funkamateure — von

jeher willige und qualifizierte Helfer der Wissenschaft — durch eigene genaue Beobachtungen unterstützen können.

Die technischen Hilfsmittel des Meßprogramms zum IQSY sind: Radiosonden, meteorologische Raketen (bis zu Höhen von 200 km) und künstliche Erdsatelliten. Optische Mittel, wie astronomische Fernrohre, Solarspektrometer, Spektrografen, und radiotechnische Mittel, wie Radiometer, Riometer, Ionosphärenimpulssender und vieles andere mehr, ergänzen den Meßgerätepark auf der Erde.

Je nach seiner Größe kann ein Land mehr oder weniger aktiv an dem Programm teilnehmen. Die DDR wird — ihrer Größe und internationalen Bedeutung entsprechend —

in einem angemessenen Umfang an diesem weltweiten Forschungsvorhaben teilnehmen. Die enge Zusammenarbeit mit der Sowjetunion — und hier besonders mit den entsprechenden Gremien bei der Akademie der Wissenschaften der UdSSR — ist ein wichtiger Punkt und für das Gelingen der Vorhaben von großer Bedeutung.

Ohne internationalen Austausch der Ergebnisse, ohne moderne Nachrichtentechnik und ohne enge Zusammenarbeit aller beteiligten Wissenschaftler wäre dieses friedliche Unternehmen nicht möglich. Nur auf diese Weise kann die Menschheit ihr Wissen um die Erscheinungen der sie umgebenden Natur erweitern. Wir wünschen dem Jahr der ruhigen Sonne großen Erfolg.

Fischer

$$= \frac{1}{h_{21} + \Delta h + h_{22} R_{g2}} \begin{pmatrix} \Delta h + h_{22} R_{g2} & h_{11} + R_{g2} \\ \frac{\Delta h}{R_E} + h_{22} + \frac{h_{22}}{R_E} R_{g2} & \frac{h_{11}}{R_E} + 1 + h_{21} + \Delta h - h_{12} + \left(h_{22} + \frac{1}{R_E}\right) R_{g2} \end{pmatrix} \quad (3)$$

Für den Transistor T_1 in Kollektorschaltung gilt die Matrix

$$H_{T_1} = \begin{pmatrix} h_{11} & 1 - h_{12} \\ -(1 + h_{21}) & h_{22} \end{pmatrix}$$

mit $\Delta H_{T_1} = \Delta h + 1 + h_{21} - h_{12}$

Um die Matrix A_I zu finden, müssen der Transistor T_1 und der Widerstand R_1 in der gleichen Weise wie T_2 und R_{g2} zu einer Matrix vereint werden. Als Ergebnis erhält man schließlich nach Umformung in die A-Matrix

$$A_I = \frac{1}{1 + h_{21} + h_{22} R_1} \begin{pmatrix} 1 + h_{21} + \Delta h - h_{12} + h_{22} R_1 & h_{11} + \Delta h R_1 \\ h_{22} & 1 + h_{22} R_1 \end{pmatrix} \quad (4)$$

Die Multiplikation der Gleichungen (4) und (3) ergibt die Matrix des Vierpols $A_I \cdot A_{II}$ $\cdot A_{III}$, aus der die für diesen Fall gültigen Betriebsgrößen berechnet werden.

Die Widerstände R_1 und R_2 setzen sich aus der Parallelschaltung von Kollektor- und Lastwiderständen zusammen. Infolge der Veränderung der Gegenkopplung des Transistors T_1 bei Variation des Lastwiderstandes R_{L1} läßt sich die sofortige Einbeziehung des Lastwiderstandes in die Rechnung nicht vermeiden. Eine Trennung des Widerstandes R_2 in den Kollektorwiderstand R_{C2} und den Lastwiderstand R_{L2} und die Einbeziehung von R_{C2} in den Vierpol ist aus Symmetriegründen nicht möglich, da das Ergebnis der Rechnung auf möglichst alle Betriebsfälle Anwendung finden soll.

$$A_a = A_I \cdots III = \frac{1}{(1 + h_{21} + h_{22} R_1)(h_{21} + \Delta h + h_{22} R_{g2})} \begin{pmatrix} (\Delta h + h_{22} R_{g2})(1 + h_{21} + \Delta h - h_{12} + h_{22} R_1) + (h_{11} + \Delta h R_1) \left(\frac{\Delta h}{R_E} + h_{22} + \frac{h_{22}}{R_E} R_{g2} \right) & h_{22} (\Delta h + h_{22} R_{g2}) + (1 + h_{22} R_1) \left(\frac{\Delta h}{R_E} + h_{22} + \frac{h_{22}}{R_E} R_{g2} \right) \\ (h_{11} + R_{g2})(1 + h_{21} + \Delta h - h_{12} + h_{22} R_1) + (h_{11} + \Delta h R_1) \left[\frac{h_{11}}{R_E} + 1 + h_{21} + \Delta h - h_{12} + \left(h_{22} + \frac{1}{R_E}\right) R_{g2} \right] & h_{22} (h_{11} + R_{g2}) + (1 + h_{22} R_1) \left[\frac{h_{11}}{R_E} + 1 + h_{21} + \Delta h - h_{12} + \left(h_{22} + \frac{1}{R_E}\right) R_{g2} \right] \end{pmatrix} \quad (5)$$

Fall b)

Im Bild 3 ist die Ersatzschaltung für diesen Fall dargestellt. Der Transistor T_2 in Emitterschaltung ist mit einem unüberbrückten Emittterwiderstand $R_{E''}$ gegengekoppelt. Auch hier wird die Berechnung in [6] herangezogen. Gegenüber den vorherigen Anwendungen der Gleichungen, in denen etwas kompliziertere Ausdrücke anstelle der einfachen h-Parameter der Emitterschaltung eingesetzt werden mußten, weil die betreffenden Transistoren in anderen Grundschaltungen arbeiteten, können hier die zitierten Gleichungen bis auf die erwähnte Änderung bei H_{11} direkt übernommen werden.

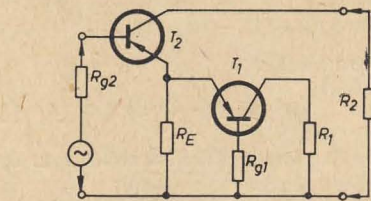


Bild 3: Die für den Fall b) gültige Ersatzschaltung

$$H_b = \begin{pmatrix} \frac{h_{11} + R_E''(1 + h_{21} + \Delta h - h_{12})}{1 + h_{22} R_E''} & \frac{h_{12} + h_{22} R_E''}{1 + h_{22} R_E''} \\ \frac{h_{21} - h_{22} R_E''}{1 + h_{22} R_E''} & \frac{h_{22}}{1 + h_{22} R_E''} \end{pmatrix} \quad (6)$$

Die Determinante ist

$$\Delta H_b = \frac{\Delta h + h_{22} R_E''}{1 + h_{22} R_E''}$$

Der Widerstand R_E'' ist der Eingangswiderstand des Vierpols, der aus dem Widerstand R_E , dem Transistor T_1 und dem Widerstand R_{g1} besteht, wobei der Vierpol mit dem Widerstand R_1 abgeschlossen wurde. Unter entsprechender Berücksichtigung der anderen Indizes erhält man diesen Eingangswiderstand aus den Elementen der Matrix (3).

$$R_E'' = \frac{h_{11} + R_{g1} + (\Delta h + h_{22} R_{g1}) R_1}{\left(\frac{\Delta h}{R_E} + h_{22} + \frac{h_{22}}{R_E} R_{g1} \right) R_1 + \frac{h_{11}}{R_E} + 1 + h_{21} + \Delta h - h_{12} + \left(h_{22} + \frac{1}{R_E}\right) R_{g1}} \quad (7)$$

Setzt man Gleichung (7) in Gleichung (6) ein, so erhält man

$$H_b = \begin{pmatrix} \frac{h_{11} P + Q(1 + h_{21} + \Delta h - h_{12})}{P + h_{22} Q} & \frac{h_{12} P + h_{22} Q}{P + h_{22} Q} \\ \frac{h_{21} P - h_{22} Q}{P + h_{22} Q} & \frac{h_{22} P}{P + h_{22} Q} \end{pmatrix} \quad (8)$$

$$\text{mit } \Delta H_b = \frac{\Delta h P + h_{22} Q}{P + h_{22} Q}$$

wobei Q und P Zähler bzw. Nenner der Gleichung (7) darstellen.

Die aus den Matrizen (5) und (8) mit Hilfe vorhandener Tafeln¹⁾ berechneten Betriebsgrößen werden durch entsprechendes Umordnen der einzelnen Glieder in die Form gebracht, wie sie in der Tabelle 1 dargestellt sind. Die Rechnung ist prinzipiell einfach, jedoch ist wegen ihrer Länge ihre genaue Ausführung hier nicht angebracht.

Die Tabelle 1 enthält im dick umrandeten Teil die Schaltungen und Betriebsgrößen der berechneten Fälle a) und b). Von ihnen ausgehend wird gezeigt, daß sich die Gleichungen mit entsprechenden einfachen Änderungen auch für die anderen Betriebsfälle c) ... g) verwenden lassen. Diese Betriebs-

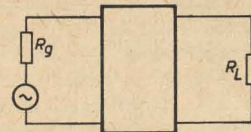


Bild 4: Vierpol mit R_L als Abschluss

fälle umfassen alle möglichen, wobei allerdings auf die trivialen Fälle der Spiegelung an den senkrechten Mittellinien, die lediglich eine Vertauschung der Indizes bei R und R_g bedingen, nicht eingegangen wurde. Da die Gleichungen ohne Vernachlässigungen abgeleitet wurden, um allen evtl. auftretenden extremen Bedingungen genügen zu können, sind für den größten Teil der Anwendungsfälle Vereinfachungen angegeben worden. Sie können benutzt werden, solange die unter „Näherungen“ angegebenen Ungleichungen mit genügender Genauigkeit gelten.

Die Gleichungen der Fälle a) und b) ähneln sich weitgehend und sind im Falle des Ausgangswiderstandes sogar gleich. Die *-Größen unterscheiden sich von den unbesterten nur durch Vertauschung einiger Indizes.

Auf die weiteren Unterschiede in den Gleichungen zu a) und b) wird später eingegangen.

Bei symmetrischen Ein- und Ausgängen beziehen sich die Verstärkungs- und Widerstandsangaben in diesem Beitrag grundsätzlich auf den Meßwert Eingang—Eingang bzw. Ausgang—Ausgang. Die Eingänge sind dabei gegenphasig auszusteuern.

Bezüglich des Ausganges widerspricht diese Handhabung der Rechnung, da als Lastwiderstand für die Bilder 2 und 3 $R = R_C || R_L$ benutzt wurde. Diesem Umstand wird dadurch Rechnung getragen, daß die Größen

¹⁾ Die in [3] S. 95 angegebenen Vorzeichen für die Stromverstärkung müssen mit (—1) multipliziert werden!

Tabelle 1: Schaltungen und Berechnungen der Fälle a) ... g)

$v_u = \frac{K \cdot L \cdot R_2}{(h_{11} + \Delta h R_1) \cdot M + (h_{21} + 1 + \Delta h - h_{12} + h_{22} R_2) \cdot N}$ $\approx \frac{k \cdot l \cdot R_2}{(h_{11} + \Delta h R_1) \cdot m + h_{21} \cdot N}$	$= \frac{-\left[K \cdot L^* + \frac{N^*}{R_E} \cdot h_{21} - 2[(1 + h_{22} R_1)(\Delta h + h_{22} R_{g1}) + h_{12} h_{21}] \right] R_2}{(h_{11} + \Delta h R_2) \cdot M^* + (h_{21} + 1 + \Delta h - h_{12} + h_{22} R_2) \cdot N^*}$ $\approx \frac{-\left[k \cdot l^* + \frac{N^*}{R_E} \cdot h_{21} \right] \cdot R_2}{(h_{11} + \Delta h R_2) \cdot m^* + h_{21} \cdot N^*}$	<p>Gln. des Falles a) mit $R_1 = 0$</p>
$v_i = \frac{-K \cdot L}{(1 + h_{22} R_1) \cdot M + h_{22} \cdot N}$ $\approx \frac{-k \cdot l}{(1 + h_{22} R_1) \cdot m}$	$= \frac{K \cdot L^* + \frac{N^*}{R_E} \cdot h_{21} - 2[(1 + h_{22} R_1)(\Delta h + h_{22} R_{g1}) + h_{12} h_{21}]}{(1 + h_{22} R_2) \cdot M^* + h_{22} \cdot N^*}$ $\approx \frac{k \cdot l^* + \frac{N^*}{R_E} \cdot h_{21}}{(1 + h_{22} R_2) \cdot m^*} \quad \left(= \frac{h_{21}}{1 + h_{22} R_2} \right)$	<p>Gln. des Falles b) mit $R_1 = 0$</p>
$r_{ein} = \frac{(h_{11} + \Delta h R_1) \cdot M + (h_{21} + 1 + \Delta h - h_{12} + h_{22} R_1) \cdot N}{(1 + h_{22} R_1) \cdot M + h_{22} \cdot N}$ $\approx \frac{(h_{11} + \Delta h R_1) \cdot m + h_{21} \cdot N}{(1 + h_{22} R_1) \cdot m}$	$= \frac{(h_{11} + \Delta h R_2) \cdot M^* + (h_{21} + 1 + \Delta h - h_{12} + h_{22} R_2) \cdot N^*}{(1 + h_{22} R_2) \cdot M^* + h_{22} \cdot N^*}$ $\approx \frac{(h_{11} + \Delta h R_2) \cdot m^* + h_{21} \cdot N^*}{(1 + h_{22} R_2) \cdot m^*}$	
$r_{aus} = \frac{(h_{11} + R_{g2}) \cdot M^* + (h_{21} + 1 + \Delta h - h_{12} + h_{22} R_{g2}) \cdot N^*}{(\Delta h + h_{22} R_{g2}) \cdot M^* + h_{22} \cdot N^*} \approx \frac{(h_{11} + R_{g2}) \cdot m^* + h_{21} \cdot N^*}{(\Delta h + h_{22} R_{g2}) \cdot m^*}$		
<p>Bedeutung der Formelzeichen:</p> <p>$h_{11}, h_{12}, h_{21}, h_{22}, \Delta h$: Emitterschaltungsparameter der Transistoren</p> <p>R_{g1}, R_{g2}: Generatorwiderstände</p> <p>R_1, R_2: Widerstände der Parallelschaltung von Kollektorstrom R_C und Lastwiderstand R_L</p> <p>R_E: Emittorwiderstand</p> <p>$v_u, v_i, r_{ein}, r_{aus}$: Betriebsgrößen, auf $R = R_L R_C$ bezogen</p> <p>$v'_u, v'_i, r'_{ein}, r'_{aus}$: Betriebsgrößen gemäß Bild 4</p> <p>$K = h_{21} + 1 + h_{22} R_1$</p> <p>$L = h_{21} + \Delta h + h_{22} R_{g2}$</p> <p>$M = \frac{N}{R_E} + h_{21} + 1 + \Delta h - h_{12} + h_{22} (R_{g2} + R_2)$</p> <p>$N = (\Delta h + h_{22} R_{g2}) R_2 + h_{11} + R_{g2}$</p> <p>$L^* = h_{21} + \Delta h + h_{22} R_{g1}$</p> <p>$M^* = \frac{N^*}{R_E} + h_{21} + 1 + \Delta h - h_{12} + h_{22} (R_{g1} + R_1)$</p> <p>$N^* = (\Delta h + h_{22} R_{g1}) R_1 + h_{11} + R_{g1}$</p> <p>Näherungen:</p> <p>$h_{21} \gg h_{12}, h_{21} \gg \Delta h, h_{21} \gg 1,$</p> <p>$h_{21} \gg h_{22} R_1, h_{22} R_2; h_{21} \gg h_{22} R_{g1}, h_{22} R_{g2}$</p> <p>Unter Verwendung der Näherungen gilt:</p> <p>$K \approx k = h_{21}$ $h_{21} + 1 + \Delta h - h_{12} + h_{22} R_1 \approx h_{21}$</p> <p>$L \approx l = h_{21}$ sowie $h_{21} + 1 + \Delta h - h_{12} + h_{22} R_2 \approx h_{21}$</p> <p>$M \approx m = \frac{N}{R_E} + h_{21}$ $h_{21} + 1 + \Delta h - h_{12} + h_{22} R_{g2} \approx h_{21}$</p> <p>$L^* \approx l^* = h_{21}$</p> <p>$M^* \approx m^* = \frac{N^*}{R_E} + h_{21}$</p>		<p>$v_{ein1} = v_{ein2} : v_{ue} = \frac{1}{2}(v_{ua} + v_{ub})$</p> <p>$i_{ein1} = i_{ein2} : v_{ie} = \frac{1}{2}(v_{ia} + v_{ib})$</p> <p>$r_{eine} = r_{eina} + r_{einb}$</p> <p>$r_{ause} = r_{ausa}$</p> <p>$v_{uf} = v_{ua} + v_{ub}$</p> <p>$v'_{if} = (v_{ia} + v_{ib}) \cdot \frac{1}{1 + \frac{R_L}{R_C} + \frac{r_{aus}}{r_{aus} + R_C}}$</p> <p>$r'_{einf} = r_{eina}$</p> <p>$r'_{aus'f} = 2 \cdot \frac{r_{ausa} \cdot R_C}{r_{ausa} + R_C}$</p>
<p>Näherungen:</p> <p>$h_{21} \gg h_{12}, h_{21} \gg \Delta h, h_{21} \gg 1,$</p> <p>$h_{21} \gg h_{22} R_1, h_{22} R_2; h_{21} \gg h_{22} R_{g1}, h_{22} R_{g2}$</p> <p>Unter Verwendung der Näherungen gilt:</p> <p>$K \approx k = h_{21}$ $h_{21} + 1 + \Delta h - h_{12} + h_{22} R_1 \approx h_{21}$</p> <p>$L \approx l = h_{21}$ sowie $h_{21} + 1 + \Delta h - h_{12} + h_{22} R_2 \approx h_{21}$</p> <p>$M \approx m = \frac{N}{R_E} + h_{21}$ $h_{21} + 1 + \Delta h - h_{12} + h_{22} R_{g2} \approx h_{21}$</p> <p>$L^* \approx l^* = h_{21}$</p> <p>$M^* \approx m^* = \frac{N^*}{R_E} + h_{21}$</p>		<p>$v_{ug} = v_{ua} + v_{ub}$</p> <p>$v'_{ig} = (v_{ia} + v_{ib}) \cdot \frac{1}{1 + \frac{R_L}{R_C} + \frac{r_{aus}}{r_{aus} + R_C}}$</p> <p>$r'_{eing} = r_{eina} + r_{einb}$</p> <p>$r'_{aus'g} = 2 \cdot \frac{r_{ausa} \cdot R_C}{r_{ausa} + R_C}$</p>

v_i' und r_{aus}' eingeführt wurden. Diese Größen beziehen sich auf den Vierpol nach Bild 4, wo als Lastwiderstand R_L allein auftritt und sind mit den nach den Bildern 2 und 3 berechneten in folgender Weise verknüpft: Die Spannung an parallelen Widerständen ist gleich. Also ist hier

$$u_{aus}' = u_{aus}$$

und somit

$$v_u' = v_u$$

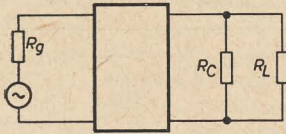


Bild 5: Vierpol mit $R_L \parallel R_C$ als Abschluß

Der Strom durch R_L (Bild 5) ist

$$i_{aus}' = i_{aus} \cdot \frac{1}{1 + \frac{R_L}{R_C}}$$

und damit

$$v_i' = v_i \cdot \frac{1}{1 + \frac{R_L}{R_C}}$$

Der Ausgangswiderstand ist sofort zu schreiben als

$$r_{aus}' = \frac{r_{aus} \cdot R_C}{r_{aus} + R_C}$$

Diese für den unsymmetrischen Ausgang geltenden Umrechnungen können auch für den symmetrischen Ausgang vorgenommen werden (siehe Fall f). Die Gleichungen der Tabelle 1 zum Fall e) sind auf symmetrische Aussteuerung, also auf

$$|u_{ein1}| = |u_{ein2}| \quad \text{und} \quad |i_{ein1}| = |i_{ein2}|$$

beschränkt.

Sind diese Bedingungen nicht gegeben, dann sind die Ableitungen im weiteren Text verwendbar.

Fall c), d) und e)

Diese Fälle finden dann Anwendung, wenn einer der Kollektoren mittels eines Kondensators oder einer Zenerdiode geerdet ist. Man opfert das zusätzliche Bauelement nicht umsonst, wie die Wertezusammenstellung anhand eines Schaltungsbeispiels (Bild 7, Tabelle 2) zeigt.

Im Fall e) wird der Verstärker als Übergangsglied von symmetrischem auf unsymmetrischen Betrieb benutzt. Für den Ausgang kann man das Überlagerungsgesetz anwenden. Allerdings gilt das Gesetz nur für lineare Schaltelemente; da die Transistoren nur mit kleinen Signalen angesteuert werden, wie dies bei Verwendung von h-Parametern vorausgesetzt ist, ist die Bedingung erfüllt. Die Ausgangsspannung ist dann

$$u_{aus2} = u_{ein1} \cdot v_{ua} + u_{ein2} \cdot v_{ub}$$

Für $|u_{ein1}| = |u_{ein2}|$ ist

$$v_{ue} = \frac{u_{aus2}}{u_{ein1} + u_{ein2}} = \frac{1}{2} (v_{ua} + v_{ub})$$

Analog gilt

$$i_{aus2} = i_{ein1} \cdot v_{ia} + i_{ein2} \cdot v_{ib}$$

und für $|i_{ein1}| = |i_{ein2}|$

$$v_{ie} = \frac{1}{2} (v_{ia} + v_{ib})$$

Für die Widerstände erhält man

$$r_{eine}' = r_{eia} + r_{einb}$$

und

$$r_{ause} = r_{ausa}$$

Selbstverständlich muß $R_1 = 0$ gesetzt werden, falls die angedeutete Erdung des Kollektors 1 vorgenommen wird.

Fall f)

Hier wird eine Schaltung angewendet, die einen Übergang von unsymmetrischem auf symmetrisches Signal ermöglicht. Am Ausgang addieren sich die Spannungen, die in Reihe geschaltet sind. Daher ist

$$v_{uf} = v_{ua} + v_{ub}$$

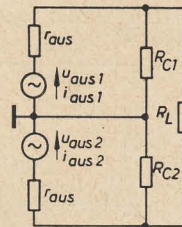


Bild 6: Verhältnisse am Ausgang

Bild 6 zeigt die Verhältnisse am Ausgang. Die Berechnung der Stromverstärkung v_{if} ergibt

$$i_{RL} = i_{aus1} \cdot \frac{R_{C1}}{R_{C1} + R_L + \frac{R_{C2} \cdot r_{aus}}{R_{C2} + r_{aus}}} + i_{aus2} \cdot \frac{R_{C2}}{R_{C2} + R_L + \frac{R_{C1} \cdot r_{aus}}{R_{C1} + r_{aus}}}$$

Mit $R_{C1} = R_{C2}$ und $i_a = v_i \cdot i_e$ erhält man

$$v_{if}' = \frac{i_{RL}}{i_{ein}} = \frac{1}{1 + \frac{R_L}{R_C} + \frac{r_{aus}}{r_{aus} + R_C}} \cdot (v_{ia} + v_{ib})$$

Der Ausgangswiderstand wird abgelesen zu

$$r_{ausf}' = 2 (r_{aus} \parallel R_C)$$

Am Eingangswiderstand ändert sich gegenüber Fall a) nichts, es bleibt

$$r_{ein}' = r_{eia}$$

Fall g)

Dieser Fall kann z. T. nach Bild 6 berechnet werden. Berücksichtigt man

$$i_{aus1} = v_{ia} \cdot i_{ein f} + v_{ib} \cdot i_{ein1}$$

und

$$i_{aus2} = v_{ia} \cdot i_{ein1} + v_{ib} \cdot i_{ein2},$$

dann wird

$$v_{ig}' = \frac{i_{RL}}{i_{ein1} + i_{ein2}} = \frac{1}{1 + \frac{R_L}{R_C} + \frac{r_{aus}}{r_{aus} + R_C}} \cdot (v_{ia} + v_{ib})$$

Die Ausgangsspannung setzt sich wie der Strom aus vier Anteilen zusammen

$$u_{ausg} = u_{aus1} + u_{aus2} = v_{ua} \cdot u_{ein2} + v_{ub} \cdot u_{ein1} + v_{ua} \cdot u_{ein1} + v_{ub} \cdot u_{ein2}$$

Daraus erhält man

$$v_{ug} = v_{ua} + v_{ub}$$

Der Ausgangswiderstand verändert sich gegenüber Fall f) nicht. Der Eingangswiderstand ist

$$r_{eing} = r_{eia} + r_{einb}$$

Im Fall f) ist noch interessant, wie weit zwischen den beiden Ausgängen tatsächlich Symmetrie besteht. Schließlich sind die Fälle a) und b), aus denen sich Fall f) zusammensetzt, aus zwei unterschiedlichen Schaltungen hervorgegangen (Bilder 2 und 3). Dazu vergleichen wir die Gleichungen der Fälle a) und b) in Tabelle 1.

Der Ausgangswiderstand ist der gleiche; das erkennt man schon beim Vergleich beider Schaltungen miteinander, ohne rechnen zu müssen. Voraussetzung dazu ist selbstverständlich $R_{g1} = R_{g2}$ und $R_1 = R_2$. Damit entfallen die Unterschiede zwischen den gestrichelten und den unbestrichenen Formelzeichen. Trotzdem sind Spannungs- und Stromverstärkung um zwei Summanden

$$h_{21} \cdot \frac{N}{R_E} - 2 [(1 + h_{22} R_1) (\Delta h + h_{22} R_{g1}) + h_{12} h_{21}]$$

im Zähler ungleich. Der letzte Summand ist sehr klein gegen den ersten und wird hier nicht betrachtet.

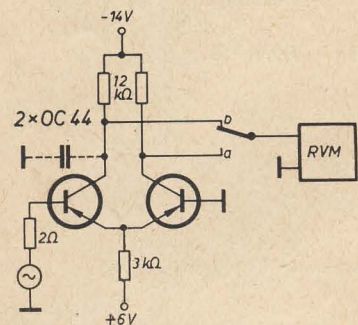


Bild 7: Schaltung zur Überprüfung der Rechenergebnisse

Geht der zweite Summand gegen Null, dann würde die Ungleichheit praktisch beseitigt werden können. In ihm sind enthalten neben den h-Parametern noch R und R_g im Zähler und R_E im Nenner. Da R durch Verstärkungs-

Tabelle 2: Vergleich zwischen Meß- und Rechenwerten, Schaltung Bild 7

Betriebsgröße	a)		b)	
	Rechnung	Messung	Rechnung	Messung
v_u	121	123	—123	—123
r_{ein} in k Ω	6,7	6,8	6,7	6,8
r_{aus} in k Ω	9,98	10,1	9,98	10,1
Betriebsgröße	c)		d)	
	Rechnung	Messung	Rechnung	Messung
v_u	146	153	—147	—153
r_{ein} in k Ω	10,0	10,4	5,5	5,25
r_{aus} in k Ω	9,6	9,6	9,6	9,6

forderungen festgelegt sein dürfte. bleibt nur noch übrig, R_E so groß wie möglich zu wählen. Im Vergleich zu einer Arbeit über die Gleichtaktunterdrückung bei Differenzverstärkern mit Röhren [7], wo zur Vergrößerung des wirksamen R_E eine Pentode anstelle eines Widerstandes verwendet wurde, um die Betriebsspannung relativ klein halten zu können, liegt der Schluß nahe, in diesem Falle den Widerstand R_E durch einen Transistor zu ersetzen. Der Nachweis der Wirksamkeit einer solchen Maßnahme bleibt jedoch einer anderen Arbeit vorbehalten.

In allen Fällen eines nicht benutzten Einganges kann die betreffende Basis wechselstrommäßig geerdet werden. Dadurch werden

$R_{g1} = 0$ oder $R_{g2} = 0$, und die Betriebsgrößen verändern sich. Die Ergebnisse der Rechnungen wurden mit folgenden Werten für die Fälle a) ... d) nachgeprüft:

$$R_{C1} = R_{C2} = 12 \text{ k}\Omega, \quad R_{L1} = R_{L2} \rightarrow \infty, \quad R_E = 3 \text{ k}\Omega \text{ und } R_{g1} = R_{g2} \approx 0.$$

$$H_{T1} = \begin{pmatrix} 4 \text{ k}\Omega & 9 \cdot 10^{-4} \\ 120 & 65 \cdot 10^{-6} \text{ S} \end{pmatrix}$$

$$H_{T2} = \begin{pmatrix} 4,1 \text{ k}\Omega & 9,7 \cdot 10^{-4} \\ 128 & 74 \cdot 10^{-6} \text{ S} \end{pmatrix}$$

Zur Rechnung wurden mittlere h-Parameter benutzt.

$$H_{T1} = H_{T2} = \begin{pmatrix} 4,05 \text{ k}\Omega & 9,35 \cdot 10^{-4} \\ 124 & 70 \cdot 10^{-6} \text{ S} \end{pmatrix}$$

mit $\Delta H = 16,76 \cdot 10^{-2}$

Die Ergebnisse der Rechnung und des Experimentes sind in Tabelle 2 vergleichbar.

Literatur

- [1] Feldtkeller, R.: Vierpoltheorie
- [2] Freitag, K.: Einführung in die Vierpoltheorie, Lehrbriefe für das Fernstudium, TU Dresden
- [3] Kretzer, K.: Handbuch für Hochfrequenz- und Elektrotechniker, Band IV, S. 94—95
- [4] Otto/Müller: Flächentransistoren. VEB Verlag Technik, Berlin
- [5] Shea, F. S.: Transistortechnik. VEB Verlag Technik, Berlin
- [6] Lennartz/Taeger: Transistor-Schaltungstechnik. Beilage zur Funktechnik 13 (1958) H. 14
- [7] Buck, R.: Ein Differenzverstärker mit einer Gleichtaktunterdrückung von 1 : 1000000. Elektronik 11 (1962) H. 2

Der Dünnschichttransistor — ein neues aktives Bauelement

Dipl.-Ing. A. MÖSCHWITZER

Einleitung

Seit der Einführung des Transistors in den Kreis elektronischer Bauelemente gab es, besonders in den vergangenen zehn Jahren, eine lebhaft entwickelte Entwicklung auf dem Gebiete der Festkörperelektronik (insbesondere der Halbleiterelektronik). Ständig entstanden neue Bauelementetypen, die zunächst dem Wunsche, die elektrischen Eigenschaften zu verbessern, entsprangen. So entstanden z. B. der Spacistor, der pnip-Transistor und die Gruppe der Unipolartransistoren. In der Gruppe der Unipolartransistoren sind bis heute der Analogtransistor und verschiedene Arten von Feldeffekttransistoren bekannt. Zu den Feldeffekttransistoren gehört der Dünnschichttransistor. Bei den Feldeffekttransistoren nach W. Shockley wird der Steuermechanismus durch einen in Sperrichtung vorgespannten pn-Übergang bewirkt [1]. Die von beweglichen Ladungsträgern nahezu entblößte Raumladungszone des pn-Überganges schnürt einen leitenden Kanal mit wachsender Sperrspannung immer mehr ein. Diese Operationsweise wird als Entblößungssteuerung bezeichnet. Beim Dünnschichttransistor dagegen

geschieht die Steuerung nicht durch einen pn-Übergang, sondern durch eine vom Halbleiterkanal isoliert angebrachte Gitterelektrode.

Der Grund für die Entwicklung des Dünnschichttransistors — der erstmalig von P. K. Weimar beschrieben wurde — lag darin, ein aktives Bauelement mit guten elektrischen Eigenschaften zu schaffen, das sich ausschließlich durch Aufdampftechnik herstellen läßt. In diesem Punkte unterscheidet sich der Dünnschichttransistor von den allgemein bekannten Halbleiterbauelementen. Während bei den letzteren ausschließlich monokristalline Halbleiter verwendet wurden, hat der Halbleiter des Dünnschichttransistors meist polykristalline Struktur. Der Dünnschichttransistor hat ähnliche elektrische Eigenschaften wie die Hochvakuumpentode.

Der Aufbau

Auf eine Glasunterlage werden zwei Goldkontakte, die sogenannte Senkenelektrode und die Quellenelektrode, aufgedampft. Sie sind durch einen Spalt der Breite L voneinander getrennt. Die Breite des Spaltes be-

trägt ungefähr 10 μm . Über diese Elektroden wird ein Halbleiter mit einer Dicke von etwa 1 μm aufgedampft (Bild 1). Als Halbleitermaterialien werden solche, deren Energiebandmodell eine große Breite der verbotenen Zone zwischen Valenz- und Leitband zeigt, verwendet. In praktisch ausgeführten Mustern sind hierzu die II-VI-Bin-

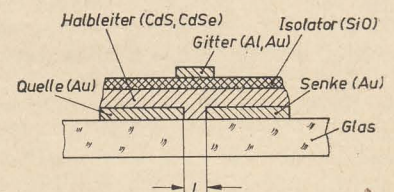


Bild 1: Der prinzipielle Aufbau des Dünnschichttransistors

dungen CdS [2] [3] und CdSe [4] verwendet worden. Durch eine etwa 0,1 μm dicke, ebenfalls aufgedampfte Isolierschicht ist die aufgedampfte Gitterelektrode vom Halbleiter getrennt. Als Isolator haben sich Siliziumoxid und Kalziumfluorid, für die Gitter-

elektrode Aluminium und Gold bewährt. Die Spalte zwischen Quelle und Senke wird von der Gitterelektrode nur leicht überlappt.

Die physikalische Wirkungsweise und die Kennlinie

Es soll ein Dünnschichttransistor mit CdS als Halbleiter betrachtet werden. CdS besitzt bei Zimmertemperatur eine außerordentlich geringe Eigenleitfähigkeit, die ihre Ursache in der geringen Anzahl thermisch generierter Träger hat. Bei Anlegen einer Spannung von ungefähr 10 V zwischen Quelle und Senke ist der Senkenstrom infolge der geringen Eigenleitfähigkeit des Halbleiterkanals praktisch Null. Das gilt aber nur für den Fall, wo die Gitterspannung (z. B. in bezug auf die Quelle) gleich Null ist. Wird nun aber zwischen Gitter und Quelle eine positive Spannung angelegt, so werden an der Oberfläche des Halb-

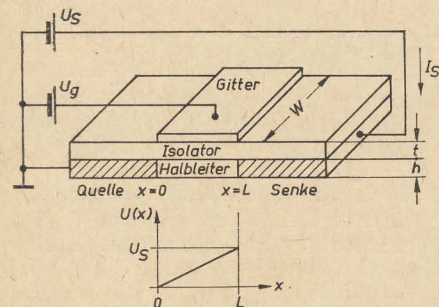


Bild 2: Das idealisierte Modell des Dünnschichttransistors

leiters (CdS) negative Ladungen induziert. Dieser Vorgang kann näherungsweise durch das Plattenkondensatormodell erklärt werden, denn die Anordnung Gitter-Isolator-Halbleiter ist im Grunde weiter nichts als ein Plattenkondensator der Kapazität C_g (totale Gitterkapazität). Das idealisierte Modell des Dünnschichttransistors (Bild 2) soll dies noch einmal veranschaulichen. Wird zwischen Gitter und Quelle — also zwischen Gitter und Halbleiter — eine Spannung angelegt, so befinden sich auf der „positiven Platte“ (Gitter) positive Ladungen und auf der „negativen Platte“ (Halbleiter) negative Ladungen. Die Beziehung zwischen der Spannung U und der Ladung Q lautet bekanntlich

$$Q = C_g \cdot U \quad (1)$$

Fließt zwischen Quelle und Senke ein Strom, so ist der Spannungsabfall über dem Halbleiter vom „Ort“ abhängig, es gilt also $U = U(x)$. Und zwar ist bei $x = 0$ (an der Quelle) $U = 0$ und bei $x = L$ (an der Senke) $U = U_s$ (Senkenspannung). Die Spannung, die also jeweils über dem gedachten Plattenkondensator liegt, ist damit $U = U_g - U(x)$. Damit ist aber auch nach Gleichung (1) die induzierte Ladung ortsabhängig. Wird die induzierte Ladung auf das Volumen des Halbleiters bezogen, so wird

$$\Delta n = \frac{\Delta Q(x)}{q \cdot V_{\text{Halbleiter}}} = \frac{C_g [U_g - U(x)]}{w \cdot L \cdot h \cdot q} \quad (2)$$

Diese zusätzlichen Ladungen verursachen nun aber an der Oberfläche des Halbleiters einen leitenden Kanal. Die Leitfähigkeit der Halbleiterstrecke Quelle — Senke steigt stark an, und es kann ein Senkenstrom fließen. Aus der

Anschauung geht schon hervor, daß dieser umso größer ist, je höher die positive Gitterspannung ist. Mit der Gitterspannung kann also der Senkenstrom gesteuert werden, und zwar, wie eben gezeigt wurde, durch Anreicherung eines leitenden Kanals an der Oberfläche des Halbleiters. Aus diesem Grunde wird hier von Anreicherungssteuerung

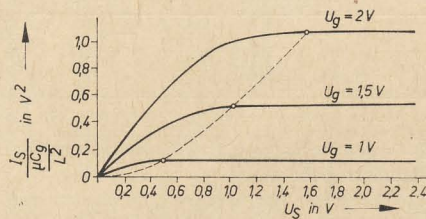


Bild 3: Die berechnete Kennlinie des Dünnschichttransistors ($N_0 \cdot q / C_g = 0,5 \text{ V}$ angenommen)

gesprochen. Es muß jedoch eine Einschränkung gemacht werden. Nicht alle induzierten Ladungsträger tragen im allgemeinen zur Erhöhung der Leitfähigkeit bei, sondern nur die, die beweglich sind, d. h. die an der Oberfläche verschoben werden können. Im Halbleiter gibt es sogenannte Fangstellen, die Elektronen festhalten können. Die Gesamtzahl dieser Fangstellen im betrachteten Halbleitervolumen wird mit N_0 bezeichnet. Die Anzahl der zusätzlichen beweglichen Ladungsträger, die allein zur Erhöhung der Leitfähigkeit beitragen, wird um diese N_0 -Ladungen geringer sein als die Gesamtzahl der induzierten Ladungsträger. Der Strom berechnet sich aus der Beziehung

$$I = -q \cdot \mu \cdot n \cdot \frac{dU}{dx} \cdot A \quad (3)$$

Darin sind μ die Beweglichkeit, q die Elementarladung, n die Trägerdichte, A die Fläche und dU/dx die elektrische Feldstärke.

Wenn für n die Gleichung (2) minus N_0 eingesetzt wird, so ergibt sich für den Senkenstrom in Abhängigkeit von der Gitterspannung U_g und der Senkenspannung U_s

$$I_s = \frac{\mu \cdot C_g}{L^2} \left[\left(-\frac{N_0 \cdot q}{C_g} + U_g \right) U_s - \frac{U_s^2}{2} \right] \quad (4)$$

Das ist die Kennliniengleichung für den Dünnschichttransistor. Sie gilt für Senkenspannungen U_s , die kleiner sind als

$$U_g - \frac{N_0 \cdot q}{C_g}$$

Für größere Senkenspannungen tritt nämlich eine Sättigung des Senkenstromes ein. Das kommt folgendermaßen zustande. Die Spannung zwischen Halbleiter und Gitter muß wenigstens so groß sein, daß die Zahl der induzierten Ladungsträger größer als N_0 (Anzahl der Fangstellen) ist, damit noch die für die Stromleitung nötigen beweglichen Ladungsträger übrigbleiben. An der Senke ist diese Spannungsdifferenz am kleinsten. Sie beträgt $U_g - U_s$. Die Anreicherung beweglicher Ladungsträger hört gerade dann auf — und zwar an der Senke zuerst — wenn

$$U_g - U_s = \frac{N_0 \cdot q}{C_g}$$

ist, also wenn die induzierten Ladungsträger die Fangstellen gerade absättigen. Der Senkenstrom erreicht einen Sättigungswert. Die Kennlinien sind im Bild 3 dargestellt. Aus dieser Darstellung geht hervor, daß die Kennlinien des Dünnschichttransistors denen einer Hochvakuumröhre sehr ähnlich sind. Die Sättigung tritt also bei einer Spannung

$$U_{sk} = U_g - \frac{N_0 \cdot q}{C_g}$$

ein. Wenn diese Spannung in die Kennliniengleichung eingesetzt wird, so ergibt sich der Senkensättigungsstrom zu

$$I_{s\text{max}} = \frac{\mu \cdot C_g}{2 L^2} \left(U_g - \frac{N_0 \cdot q}{C_g} \right)^2 \quad (5)$$

Er steigt also mit dem Quadrat der Gitterspannung an. Auch für die positive Gitterspannung gibt es eine untere Grenze, und zwar

$$U_g = \frac{N_0 \cdot q}{C_g}$$

Ist die Gitterspannung kleiner oder gleich dieser unteren Grenze, so werden nur Fangstellen abgesättigt, und es entstehen keine zusätzlichen beweglichen Ladungsträger. Es ist aber z. B. möglich, durch Lichteinwirkung zusätzliche Ladungen zu erzeugen, die die Fangstellen absättigen. Im Bild 4 sind die Gitterkennlinien für drei verschiedene Fälle dargestellt (ohne Lichteinwirkung, geringe Lichteinwirkung, starke Lichteinwirkung). Je mehr Fangstellen abgesättigt sind, desto kleinere Steuerspannungen sind zum Betrieb des Dünnschichttransistors nötig.

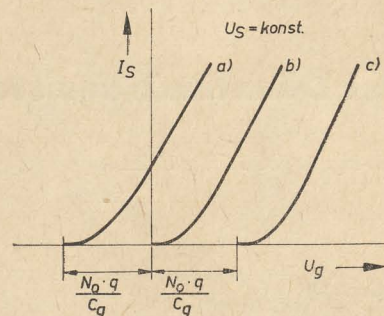


Bild 4: Die Abhängigkeit des Senkenstromes I_s von der Gitterspannung U_g bei konstanter Senkenspannung U_s für verschiedene Absättigungsgrade der unbeweglichen Fangstellen. a) starke Generation ($N_0 < 0$), b) die zusätzliche Generation (z. B. durch Licht) sättigt die unbeweglichen Fangstellen gerade ab ($N_0 = 0$), c) die unbeweglichen Fangstellen sind noch nicht abgesättigt ($N_0 > 0$)

Die elektrischen Eigenschaften des Dünnschichttransistors

Der Dünnschichttransistor ist ein spannungsgesteuertes Bauelement mit einem sehr hohen Gleichstromeingangswiderstand. Seine Kennlinien sind, wie bereits erwähnt, denen der Elektronenröhre sehr ähnlich. Es liegt also nahe, bei der Diskussion der elektrischen Eigenschaften vergleichende Betrachtungen mit der Elektronenröhre anzustellen. Das Ersatzschaltbild des Dünnschichttransistors ist im Bild 5 dargestellt. Die totale Gitterkapazität teilt sich in die Kapazität zwischen Gitter und Senke C_{gs} und in die Kapazität zwischen Gitter und Quelle C_{gq} auf. Es gilt also

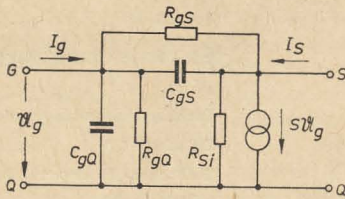


Bild 5: Ersatzschaltbild des Dünnschichttransistors

$$C_g = C_{gS} + C_{gQ}$$

Bei gefertigten Mustern lag C_g bei 50 pF. Sie verteilt sich ungefähr zu gleichen Teilen auf C_{gS} und C_{gQ} . Die Gleichstromwiderstände zwischen Gitter und Senke R_{gS} und zwischen Gitter und Quelle R_{gQ} betragen etwa 10 M Ω . Für kleine Aussteuerungen kann für den Senkenstrom

$$I_S = S \cdot U_g + G_{Si} \cdot U_S \quad (6)$$

geschrieben werden. G_{Si} ist der Ausgangsleitwert und S die Steilheit. Die Steilheiten gefertigter Muster lagen bei 5 ... 25 mA/V. Zum Vergleich wird das Ersatzschaltbild der Elektronenröhre herangezogen (Bild 6). Die Kapazität C_{ga} liegt bei Pentoden in der Größenordnung von $1 \cdot 10^{-2} \dots 5 \cdot 10^{-2}$ pF, die Kapazität C_{gk} in der Größenordnung von 5 ... 10 pF. Der elektronische Eingangswiderstand R_{ei} wird erst bei sehr hohen Frequenzen wirksam, nämlich dann, wenn die Schwingungsdauer der zu verstärkenden Frequenz in die Größenordnung der Elektronenlaufzeit kommt. Die Steilheiten üblicher Elektronenröhren liegen in der Größenordnung von 5 mA/V. Für kleine Aussteuerungen gilt auch hier die Steuergleichung

$$I_a = S \cdot U_g + D_a \cdot U_a \quad (7)$$

$D_a \cdot U_a$ wird als Verschiebespannung bezeichnet. Beim Dünnschichttransistor tritt eine Verschiebespannung dieser Art nicht auf. Verschiebungen der Kennlinie werden lediglich durch den unterschiedlichen Absättigungsgrad der unbeweglichen Fangstellen verursacht. Im Bild 7 sind die Gitterkennlinien der Elektronenröhre und des Dünnschichttransistors dargestellt.

An gefertigten Mustern wurden Verstärkungs-Bandbreitenprodukte von 15 MHz bei Verstärkungen von 80 ... 150 gemessen [2] [3] [4]. Beim Betrieb als Oszillator sind Frequenzen bis zu 17 MHz erzeugt worden. Wie die Elektronenröhre kann der Dünnschichttransistor in Senken-, Quellen- und Gitterbasisschaltung betrieben werden. Die entsprechenden Ersatzschaltbilder sind im Bild 8 dargestellt. Danach wird bei Kleinsignalbetrieb

für die Quellenbasisschaltung

a) der Ausgangsleitwert

$$Y_a = \frac{1}{R_{Si}} + \frac{(1 + j\omega CR)(1 + SR_i)}{R_i + R + j\omega CR R_i} \quad (8)$$

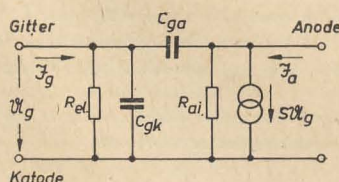


Bild 6: Ersatzschaltbild der Elektronenröhre

Mit den praktisch vorkommenden Werten ($1/\omega C$; $R \gg R_i$; $1/S$; $R_{Si} = 10$ k Ω) und den gültigen Näherungen für niedrige Frequenzen ($\omega C \ll 1/R_i$; S ; $1/R_{Si}$) wird näherungsweise

$$Y_a(NF) \approx \frac{1}{R_{Si}}$$

b) den Eingangsleitwert

$$Y_e = \frac{1}{R} + j\omega C + \frac{\left(\frac{1}{R} + j\omega C\right)\left(S + \frac{1}{R_{Si}} + \frac{1}{R_a}\right)}{\frac{1}{R} + j\omega C + \frac{1}{R_{Si}} + \frac{1}{R_a}} \quad (9)$$

$$Y_e(NF) \approx 2,5 \left(\frac{1}{R} + j\omega C\right) \rightarrow 0$$

für die Gitterbasisschaltung

a) der Ausgangsleitwert

$$Y_a = \frac{1}{R} + j\omega C + \frac{1}{R_i + R_{Si} + SR_i \cdot R_{Si}}$$

$$Y_a(NF) \approx \frac{1}{R_i + R_{Si} + SR_i \cdot R_{Si}} \quad (10)$$

b) der Eingangsleitwert

$$Y_e = \frac{1}{R} + j\omega C + \frac{\left(\frac{1}{R} + \frac{1}{R_a} + j\omega C\right)(1 + SR_{Si})}{1 + \frac{R_{Si}}{R_a} + \frac{R_{Si}}{R} + j\omega CR_{Si}}$$

$$Y_e(NF) \approx \frac{\frac{1}{R_a}(1 + SR_{Si})}{1 + \frac{R_{Si}}{R_a}} \quad (11)$$

für die Senkenbasisschaltung

a) der Ausgangsleitwert

$$Y_a = \frac{1}{R_{Si}} + \frac{1 + SR + j\omega CR}{R + R_i(1 + j\omega CR)}$$

$$Y_a(NF) \approx \frac{1}{R_{Si}} + S \quad (12)$$

b) der Eingangsleitwert

$$Y_e = \frac{1}{R} + j\omega C + \left(\frac{1}{R} + j\omega C\right) \frac{\frac{1}{R_a} + \frac{1}{R_{Si}}}{\frac{1}{R} + j\omega C + \frac{1}{R_a} + \frac{1}{R_{Si}} + S}$$

$$Y_e(NF) = 1,6 \left(\frac{1}{R} + j\omega C\right) \rightarrow 0 \quad (13)$$

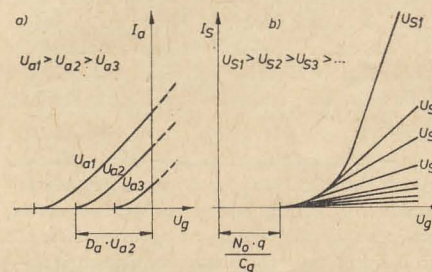


Bild 7: Der Senken- bzw. Anodenstrom in Abhängigkeit von der Gitterspannung, a) für die Elektronenröhre, b) für den Dünnschichttransistor

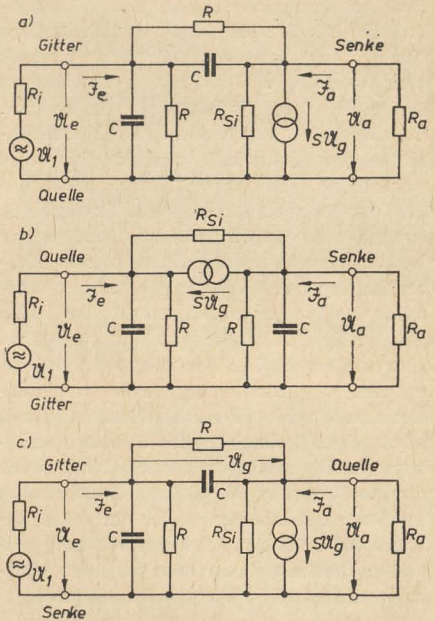


Bild 8: Ersatzschaltungen des Dünnschichttransistors, a) in Quellenbasisschaltung, b) in Gitterbasisschaltung, c) in Senkenbasisschaltung

Der Dünnschichttransistor in der Mikroelektronik

Die Mikroelektronik wird mit steigender Komplexiertheit elektronischer Geräte eine immer zwingendere Notwendigkeit. Die ersten Schritte dazu waren die gedruckten Schaltungen und die Modultechnik. In den letzten Jahren kam es zur Entwicklung der Molekularelektronik. Die ersten Schritte in dieser Hinsicht sind die Festkörperkreistechnik und die Dünnschichttechnik.

In der Festkörperkreistechnik werden in einem Halbleitereinkristall mehrere Transistoren, Widerstände und Kondensatoren zu einer Schaltung zusammengefaßt, mit Anschlüssen versehen und beispielsweise in einem Transistorgehäuse untergebracht.

Einen anderen Weg beschreitet die Dünnschichttechnik. Auf ein Substrat werden Widerstandsbahnen und Kapazitäten aufgedampft. Diese passiven Bauelemente haben bessere elektrische Eigenschaften als die Bauelemente der Festkörperkreistechnik. Ihre Konstitution entspricht völlig der unserer klassischen elektronischen Bauelemente. So werden z. B. die Kapazitäten in der Dünnschichttechnik in der üblichen Plattenkondensatoranordnung Metall-Dielektrikum-Metall hergestellt, indem auf einen aufgedampften Tantalfilm das Dielektrikum (Ta_2O_5) durch elektrolytische Oxydation des Tantals aufgebracht wird. Als Gegenelektrode wird ein Aluminiumfilm aufgedampft. Diese Kapazitäten sind in großen Grenzen spannungsunabhängig und daher lineare Bauelemente. Anders ist dies bei den Kapazitäten der Festkörperkreistechnik. Hier werden die Kapazitäten durch die Raumladungen eines in Sperrichtung vorgespannten pn-Überganges gebildet. Diese Kapazität ist stark spannungsabhängig, das Bauelement ist deshalb nicht-linear. Darüber hinaus führt die „Anbringung“ isolierter Strompfade, die zur Verbindung der Bauelemente nötig sind, in der Festkörperkreistechnik zu einigen Komplikationen. In der Dünnschichttechnik sind diese

Probleme einfacher lösbar. Die Dünnfilmtechnik besaß aber einen entscheidenden Nachteil, nämlich den, daß bisher mangels geeigneter aktiver Bauelemente Transistoren in die Schaltung eingelötet werden mußten. Da aber dieser Weg bereits in der Modultechnik angewendet wird, bedeutet dies keine wesentliche Verbesserung. Hier soll der Dünnfilmtransistor Abhilfe schaffen. Er fügt sich entsprechend seines Aufbaues und seiner Herstellung völlig in die technologische Konzeption der Dünnfilmtechnik ein. Die elektrischen Daten der gefertigten Muster lassen ein breites Anwendungsgebiet vermuten. Eine weitere Absicht der Mikroelektronik ist es, mit möglichst wenig Arten von Bauelementen in einem Funktionsblock und damit mit wenigen technologischen Schritten auszukommen. Die radikalste Vereinfachung ist die direkte Kopplung der aktiven Bauelemente. In dieser Hinsicht eignet sich der Dünnfilmtransistor mit Anreicherungssteuerung besonders gut zur Integration in einen molekularelektronischen Funktionsblock (als Integration wird die Zusammenfassung mehrerer Bauelemente zu einem Funktionsblock bezeichnet).

Der gute Nachbar

Jedermann weiß, daß ein Fernsehgerät gelegentlich einmal den Dienst aufkündigt. Was tut Herr Schulze, Lehmann oder Meier nun? Er trachtet, sein häusliches Unterhaltungsinstrument schnellstmöglich repariert zu bekommen. Doch die Vertragswerkstatt ist weit, der Empfänger schwer, der Meister besetzt und ohnehin wohlhabend... Herr Schulze scheut Zeit, Weg, Mühe und Kosten.

Aber da ist ja der gute Nachbar. Sie kennen ihn nicht? Sie Glücklicher! Der gute Nachbar ist jener hilfreiche Mensch, der nun an die Reparatur herangeht. Er ist wohlmeinend und fühlt sich stets kompetent.

Bei einigen Tassen Kaffee entwickelt er erst einmal seine Meinung hinsichtlich des allgemeinen Qualitätsstandes unserer Fernsehproduktion und gibt Anekdoten aus dem reichen Schatz seiner Erfahrungen zum besten. Herr Schulze, genügend eingeschüchtert, fragt sich, wieso der Kasten überhaupt jemals ging und ist selig, eine solche Kapazität erwischte zu haben, die alle Sünden der Herstellerfirma mit Genialität und reichem Erfahrungsschatz ausmerzen wird.

Der gute Nachbar geht nun an die Beschaffung eines Stromlaufplans. Man sieht, er ist ein Kenner; er weiß, daß jedes Gerät einen solchen hat. Mangel an Meßgeräten hemmt ihn nicht; er hat einen nassen Finger, einen „Multiprüfer“ seines Neffen und viel Initiative, die durch keinerlei Sachkenntnis gehemmt wird.

Und nun geht er ran. Es ist ja auch ganz einfach: Läßt ein Kondensator Gleichstrom

Zusammenfassung

Die physikalische Wirkungsweise wird anhand des einfachen Plattenkondensatormodells erläutert. Die Kennwerte gefertigter Muster werden genannt und die elektrischen Eigenschaften mit denen der Elektronenröhre verglichen. Im Hinblick auf die Mikrominiaturisierung wird die Notwendigkeit des Dünnfilmtransistors in der Dünnfilmtechnik begründet.

Literatur

- [1] Shockley, W.: The unipolar-field-effect-transistor. Proc. IRE vol 40 (1952) H. 11 S. 1365
- [2] Weimer, P. K.: The TFT-a new thin-film transistor. Proc. IRE vol 50 (1962) H. 6 S. 1462—1469
- [3] Borkan, H.; Weimer, P. K.: An analysis of the characteristics of insulated gate thin-film transistors. RCA Review vol XXIV (Juni 1963) H. 2 S. 153—166
- [4] Shallcross, F. V.: CdSe thin-film transistor. Proc. IEEE vol 51 (1963) H. 5 S. 851

durch, ist er eben defekt und muß ausgetauscht werden. Ein Widerstand hingegen läßt immer etwas Strom durch, sonst ist er ebenfalls defekt. Röhren sind prinzipiell verdächtig, außerdem bekommt man eine Menge davon nicht so leicht zu kaufen. Die Bildröhre ist wahrscheinlich in Ordnung, so lange sie noch hell wird. Herr Schulze hält geduldig den Lötkolben und nährt eine wachsende Verachtung für das „Schundding“, das soviel Eifer und Investitionen trotz...

Und wenn genügend Freizeit, Lötzinn, Geld, Kaffee und Initiative dran gewendet ist... Sie haben es erraten: Dann kommt das Gerät zur Werkstatt, wo es allen Kennern Seufzer der Bewunderung entlockt. Und ganz am Schluß kommt die Rechnung der Werkstatt, und Herr Schulze ist empört: Da sieht man mal wieder, wie die Handwerker ihr Geld im Schlaf verdienen!

Und das ist das Kuriosum: Dem guten Nachbarn billigen die fernsehenden „Schulzes“ mehr Zeit und Geld und Risiko zu als jedem Fachmann... Und das versteht nicht mal der noch bessere Nachbar aus dem 1. Stock, der allenfalls bei Trabant-Reparaturen helfend eingreift.

Sie — und Ihre Bekannten — sind natürlich nicht gemeint. Sie sind vielmehr höchstwahrscheinlich, als Leser einer Fachzeitschrift, zu jenen Unglücklichen zu rechnen, über die sich der Zorn von Herrn Schulze ergießt — nachdem Sie mit viel Mühe die Spuren seines Nachbarn aus Herrn Schulze's Fernsehempfänger getilgt haben! Oder...?

Aus der

Nachrichtentechnik

Technisch-wissenschaftliche
Zeitschrift für
Elektronik · Elektroakustik ·
Hochfrequenz-
und Fernmeldetechnik

Heft 3 (1964)

■ Halbleiterbauelemente als elektronische Schalter

Es werden wichtige Kennwerte des Schalters angegeben, die verschiedenen physikalischen Wirkungsmechanismen der Halbleiterbauelemente, die als Schalter eingesetzt werden können, erläutert, und es wird daraus phänomenologisch deren Schaltverhalten gefolgert. Speziell für den Transistor werden die Kennwerte, die das Schaltverhalten beschreiben, näher betrachtet.

■ Der Mesatransistor — Gleichstromverhalten

Anhand des strukturellen Aufbaues des Mesatransistors wird auf die Besonderheiten eingegangen, die er gegenüber den herkömmlichen Bauformen von Hochfrequenztransistoren besitzt.

Die Besonderheiten drücken sich in einigen Effekten aus, wie man sie im Gleichstromverhalten, im Kleinsignalniederfrequenzverhalten, vornehmlich aber bei höheren Frequenzen und im Rauschen, feststellen kann. Der meist am Gehäuse liegende Kollektor zwingt zu neuen Schaltungen im Hochfrequenzverstärker.

■ Berechnung von Transistorbreitbandverstärkern nach dem Pol-Nullstellen-Verfahren, Teil II

In dem Aufsatz wird das frequenzabhängige Verhalten rückgekoppelter Transistorbreitbandverstärker berechnet, und es werden Verfahren zur Synthese solcher Verstärker entwickelt.

■ Die Meßgrenzen einiger direktanzeigender Hochfrequenz-Durchgangsleistungsmesser

Bei Untersuchungen mit direktanzeigenden HF-Leistungsmessern (nach Bader bzw. McNamara) zeigt sich im Bereich einiger MHz eine stark fehlerbehaftete Leistungsanzeige. Diese Fehlanzeige wird auf die bei diesen Frequenzen wirksam werdende Schallkapazität zurückgeführt. Es werden Grenzbedingungen angegeben, deren Beachtung für eine einwandfreie Leistungsmessung notwendig ist.

■ Die Bildung unerwünschter Frequenzen in Senderendstufen und Empfängereingangsstufen

Es wird über die Bildung von Nebenwellen (spurious emissions) durch Kreuzmodulation in Senderendstufen, insbesondere des UKW-Frequenzbereichs, und deren Auswirkungen auf den einwandfreien Empfang von UKW- und Fernsehprogrammen berichtet. Dabei werden allgemein gültige Beziehungen zur Berechnung dieser Effekte angegeben und am Beispiel einer UKW-Senderendstufe zahlenmäßig belegt. Ferner wird auf die Kreuzmodulationseffekte in handelsüblichen UKW- und Fernsehempfängern eingegangen.

■ Zum Problem der Fließfertigung in der Montage elektronischer Meßgeräte

■ Verbesserung der Qualität von Schichtwiderständen

Die häufigsten Fehler im Transistorempfänger und deren hauptsächlichsten Ursachen

Bei der Fehlersuche in Transistorempfängern sind gegenüber Röhrenempfängern besondere Vorsichtsmaßnahmen zu beachten. Bei der Signalführung gibt die Methode der Fingerprobe beim Abtasten der Leiterplatte nicht immer eindeutige Ergebnisse. Es ist ratsam, einen Multivibrator oder Sperrschwinger zur Signalführung und einen aperiodischen Verstärker zur Signalverfolgung zu verwenden. Ein zum Teil erheblicher Unterschied beider Empfängerarten besteht in der geringeren

Größe der Bauelemente der Transistorempfänger, die deshalb auch eher Fehler aufweisen. Hinzu kommt der gedrängte Aufbau vieler kleiner Taschenempfänger, der bei einer Reparatur sehr viel Fingerspitzengefühl erfordert. Es soll weiterhin auf eine einwandfreie Kontrolle der Batteriespannung hingewiesen werden. Bei Untersuchungen von Transistorempfängern hat außerdem eine allgemeine Messung der Betriebsspannungen bei $+20^\circ\text{C}$ an den Transistoranschlüssen voranzugehen, wodurch

sich schon wichtige Hinweise (z. B. falsche Basisvorspannungen) und etwaige Fehler an den Transistoren ergeben.

Eine gründliche optische Kontrolle — insbesondere der Leiterplatte und der Litzenverbindungen — sollte bei Reparaturen dieser Empfänger gleich zu Beginn vorgenommen werden. Die folgende Fehlersuchtafel gibt einen bescheidenen Überblick über die häufigsten Fehler aus der Transistor-Reparaturtechnik. Ebenso wie bei den Röhrenempfängern treten auch bei den Transistorempfängern eine große Zahl von Fehlern in der Praxis auf, die unmöglich alle aufgeführt werden können.

Einige Bezeichnungen der Bauelemente sowie Hinweise in den Klammern der folgenden Übersicht gelten für die Schaltung des „Sternchen“. Die gegebenen Hinweise sind jedoch auch für andere Transistorempfänger mit ähnlicher Schaltung zutreffend.

Kein Empfang Lautsprecher gibt keinen Sender und keinerlei Geräusch wieder				Kein Empfang Lautsprecher gibt ein Geräusch, aber keinen Sender wieder			
Kontrolle	Kontroll- ergebnis	Mögliche Fehler	Fehlerermittlung und Abhilfe	Kontrolle	Kontroll- ergebnis	Mögliche Fehler	Fehlerermittlung und Abhilfe
Batterie- spannung bei Bela- stung, d. h. mit ent- sprechendem Bela- stungs- widerstand messen (900 Ω ent- spricht un- gefähr dem Betrieb des Gerätes „Sternchen“ bei voller Lautstärke)	Spannungs- wert stimmt	Ein-Ausschalter (S ₁) defekt oder verunreinigt	Schalter austauschen oder Kontakt reinigen	der Basis des Transi- stors T ₄ ein NF-Signal ¹⁾ zuföhren; das Signal muß vom Lautspre- cher wie- dergegeben werden	Signal bzw. Ge- räsusch nicht hör- bar	Transistor (T ₄) defekt	Transistor prüfen ²⁾ Transistor eventuell gegen einen einwandfreien gleichen Typ austauschen
	Schalter in Ordnung	Lautsprecherbuchse kein Kontakt oder Verbindungs- litze unterbrochen	Kontaktfeder justieren; Litze austauschen		Signal bzw. Ge- räsusch hör- bar		
		Lautsprecher defekt Ausgangstransformator defekt	Lautsprecher und Ausgangs- trafo prüfen; eventuell aus- wechseln				
		ein Elko (z. B. C ₂₃) oder ein Keramikkondensator, z.B. C ₂₄ (1. Variante des „Sternchen“), hat Schluß oder ist taub (ohne Kapazität)	Elko oder Keramikkondensa- tor prüfen; eventuell aus- wechseln	der Basis des ZF- Transisto- ren T ₃ , T ₂ ein ZF-Si- gnal über 100-pF- Kondensa- tor zuföh- ren ¹⁾ Das Signal muß vom Lautspre- cher wie- dergegeben werden	Signal bzw. Geräsusch nicht hör- bar	ZF-Bandfilter defekt; Spulen L ₇ bis L ₁₀ unterbrochen; Kon- densatoren C ₁₃ , C ₁₃ defekt	ZF-Bandfilter prüfen; even- tuell probeweise austauschen, um damit die in diese einge- bauten Bauelemente mit zu erfassen
		Transistor im NF-Teil fehler- haft (T ₄ oder T ₅ , T ₆)	Transistor prüfen ²⁾ Transistor eventuell gegen einen einwandfreien gleichen Typ austauschen			Transistor T ₃ oder T ₅ defekt	befindet sich der Transistor in einem ZF-Bandfilter, wird dieses am besten probeweise ausgetauscht
	Spannungs- wert ist un- ter 40 bis 50% einer neuen Bat- terie abge- sunken	Batterie verbraucht	Batterie austauschen	Signal bzw. Geräsusch hörbar		Überbrückungskondensator (z. B. C ₁₄) hat Schluß	Kondensator austauschen
		Batterieanschlüsse oxidiert; Batterie ausgelaufen	Batterieanschlüsse reinigen; eventuell Batteriebehälter mit einer Aqua destillata- Essig-Lösung 10 : 1 aus- waschen, gut mit Aqua destillata nachspülen und mit Heißluftdusche trocknen oder austauschen			Misch- und Oszillatortransi- stor defekt (T ₁)	Transistor prüfen ²⁾ eventuell probeweise gegen einen einwandfreien gleichen Typ austauschen
Lautsprecher gibt ein Geräusch aber keinen Sender wieder				der Basis des Misch- und Oszil- latortransi- stors T ₁ ein HF- oder ZF-Signal über 100-pF- Kondensa- tor zuföh- ren ¹⁾	Signal bzw. Geräsusch nicht hör- bar	ZF-Bandfilterspulen (L ₅ und L ₆) unterbrochen; Konden- sator (C ₆) defekt	vermutlich defektes Bauele- ment prüfen; eventuell probe- weise austauschen
Spannung an den Kol- lektoren der Transi- storen, ins- besondere der im NF- Teil, mes- sen	Spannungs- werte zu niedrig	Batterie verbraucht	Batterie austauschen			Oszillatorspule (L ₃ /L ₄) un- terbrochen oder hat Schluß	Spulen auf Durchgang und Schluß untersuchen; am besten probeweise gegen neue einwandfreie Spulen austauschen
						Koppelspule (L ₂) auf Ferrit- stab unterbrochen (1. Variante des „Sternchen“)	Koppelspule mit geeignetem Leitungsprüfer (I ≤ 3 mA) auf Durchgang prüfen
	Spannungs- werte stim- men mit den Angaben des Her- stellers überein			Skala auf den Orts- sender ein- stellen (eventuell auch Prüf- generator — modu- liert — be- nutzen)	Geräsusch, aber der eingestellte Ortssender nicht hör- bar	Antennenspule (L ₁) ist un- terbrochen oder hat Schluß (1. Variante des „Sternchen“)	Spulen mit Leitungsprüfer (Kurzschlußstrom ≤ 3 mA) auf Durchgang untersuchen, dabei wenn nötig einseitig ablöten

Geringe Empfindlichkeit				Geringe Lautstärke					
Kontrolle	Kontroll- ergebnis	Mögliche Fehler	Fehlerermittlung und Abhilfe	Kontrolle	Kontroll- ergebnis	Mögliche Fehler	Fehlerermittlung und Abhilfe		
Abstimm- skala durch- drehen bzw. Empfangs- versuch durchführen (eventuell eine Koppel- spule und Prüfgenera- tor — mo- duliert — benutzen). Die Koppel- spule be- steht aus vier Draht- windungen (isolierte Litze), die über den Empfänger zur An- kopplung gewickelt werden. An beide Spu- lenenden schließt man dann den Prüfgenera- tor an (siehe Abgleichen- weisung des Transistors 57/69 TT)	Aussetzen bei hoher Frequenz (300 kHz; 1500 kHz; 12 MHz d.h. bei L-, M- oder K- Wellen- empfang)	Kopplungskondensator (C_6) in der Misch-Oszillatorstufe defekt	Kondensator probeweise aus- wechseln	NF-Teil kontrollie- ren, Signal- geber (Tongene- rator mit definier- barer Aus- gangsspan- nung) be- nutzen	NF-Vor-, Treiber- oder End- stufe ver- stärken nicht ge- nügend	Emitterkondensator in einer dieser Stufen defekt (z. B. C_{22})	Kondensator probeweise aus- tauschen; eventuell vermut- lich defekten Kondensator einseitig ablöten		
		Misch-Oszillatortransistor (T_1) defekt	Transistor probeweise gegen einen gleichen Typ austau- schen			NF-Transistor in einer dieser Stufen defekt	Transistor prüfen ²⁾ oder pro- beweise durch einen Prüf- transistor ersetzen		
		ein Schwingkreis verstimmt (z. B. $L_1 - C_1$)	verstimmten Schwingkreis er- mitteln und mit Prüfgenera- tor richtig abgleichen			Widerstand unterbrochen	Widerstand mit einem ent- sprechendem Prüf Widerstand probeweise überbrücken; auch Kontrollmessung mit geeignetem Ohmmeter (Kurz- schlußstrom < 3 mA) durch- führen, dabei Widerstand eventuell einseitig ablöten		
	geringe Empfind- lichkeit bei hoher Fre- quenz (300 kHz; 1500 kHz; 12 MHz)	Ferritstab zerbrochen	Ferritstab oder gesamte Fer- ritstabantenne erneuern			Verzerrte Wiedergabe			
geringe Empfind- lichkeit bei niedriger Frequenz (150 kHz; 520 kHz; 6 MHz)	Antennen- bzw. Vorkreis- oder Koppelspule (L_1 bzw. L_2) gelockert und verrutscht	durch Verschieben der ge- lockerten Spule Empfänger auf maximale Lautstärke ab- gleichen und danach Spule mit Duosan festkleben	Batterie- spannung messen und Schwund- regelspan- nung kon- trollieren	Schwund- regelspan- nung fehlt oder ist zu niedrig	Batterie verbraucht oder Wi- derstand in Regelleitung de- fekt			Batterie gegen eine einwand- freie neue auswechseln; de- fekten Widerstand ermitteln und auswechseln	
	Misch-Oszillatortransistor (T_1) defekt	Transistor probeweise gegen einen passenden gleichen Typ austauschen	Batterie- spannung zu niedrig	Batterie verbraucht					
	Misch-Oszillatortransistor (T_1) defekt	Transistor probeweise aus- tauschen gegen einen glei- chen Typ			Koppelkondensator (C_{21}) zwischen Demodulator-, NF- Vor- und Treiberstufe hat Schluß oder ist taub (ohne Kapazität)			Prüfkondensator anwenden; Koppelkondensator einseitig auslöten	
Abstimm- skala durch- drehen bzw. Empfangs- versuch durchführen; (eventuell eine Koppel- spule und Prüfgenera- tor — mo- duliert — benutzen); dabei die Schwund- regelspan- nung kon- trollieren	geringe Empfind- lichkeit im allgemeinen	ZF-Verstärker-Transistor (T_2 oder T_3) defekt	betreffenden ZF-Verstärker- transistor mit Hilfe eines Si- gnalverfolgers oder Signal- gebers (Prüfgenerators) er- mitteln ²⁾	Empfänger mit einge- stelltem Sender ab- hören	Wieder- gabe ist ver- zerrt	Siebkondensator (C_{14}) zwi- schen Fußpunkt der Basis- Koppelspule und Kollektor- Kreisspule hat Schluß	Prüfkondensator anwenden; verdächtigen Kondensator einseitig auslöten		
		Überbrückungskondensator (C_{12} , C_{14} , C_{15} , C_{17}) im ZF- Verstärker defekt	defekten Kondensator durch probeweises Überbrücken mit Prüfkondensator ermit- teln, eventuell den vermut- lich defekten einseitig aus- löten			Demodulator- oder Dämp- fungsdioden (D_1 oder D_2) defekt	Dioden probeweise austau- schen		
		ZF-Kreis verstimmt (L_5/C_9 , L_7/C_{13} , L_8/C_{15})	verstimmten ZF-Kreis mit Hilfe eines Signalverfolgers oder Signalgebers (Prüfgenera- tors) ermitteln und neu ab- gleichen			Überbrückungskondensator (C_{22}) parallel zum Emitter- widerstand des Treibertran- sistors hat Schluß oder ist taub	Prüfkondensator anwenden. Defekten Kondensator even- tuell einseitig auslöten		
	Abstim- skala durch- drehen bzw. Empfangs- versuch durchführen (eventuell eine Koppel- spule und Prüf- generator benutzen) und dabei die Schwund- regelspan- nung mit einem 20 k Ω /V- Spannungs- messer kon- trollieren	Schwund- regelspan- nung zwi- schen R_{12} und C_{20} zu hoch (≈ 800 mV bei starkem Sender)	Widerstand (R_3 , R_6 , R_{12} oder R_{13}) im Schwundregelkreis defekt			defekten Widerstand ermit- teln und auswechseln	Blubbern		
keine Schwund- regelspan- nung am Transistor T_2			Demodulatoriode (D_2) de- fekt; letztes ZF-Bandfilter (L_9/C_{14}) verstimmt	Demodulatoriode probe- weise austauschen; letzten ZF-Kreis nachabgleichen					
HF-Überbrückungskonden- sator (C_{19} , C_{20}) im Dioden- kreis hat Schluß			Kondensator probeweise aus- tauschen						
				Empfänger mit einge- stelltem Sender ab- hören	Batterie- spannung besitzt den Wert der Nennspan- nung bzw. ist ausrei- chend groß	ZF-Bandfilterkreise ver- stimmt	ZF-Bandfilterkreise nachab- gleichen		
						Überbrückungskondensator im ZF- oder NF-Teil hat Unterbrechung oder ist taub; ohne Kapazität	Prüfkondensator anwenden. Vermutlich defekten Kondensator damit überbrücken		
						Koppelkondensator (C_{21}) im NF-Teil hat keinen Durch- gang	mit Prüfkondensator über- brücken		
						Sieb-Elektrolytkondensator (C_{22}) in Batteriezuleitung defekt	mit Prüfelektrolytkondensa- tor überbrücken		
								fehlerhaftes Bauelement im Gegenkopplungsweig	mittels Prüfbaulemente Fehler suchen

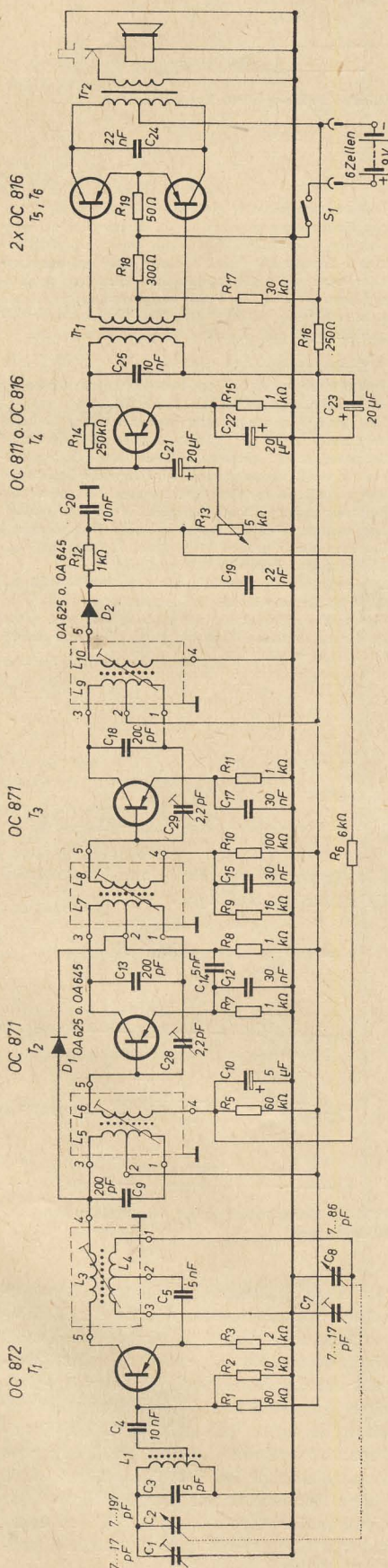
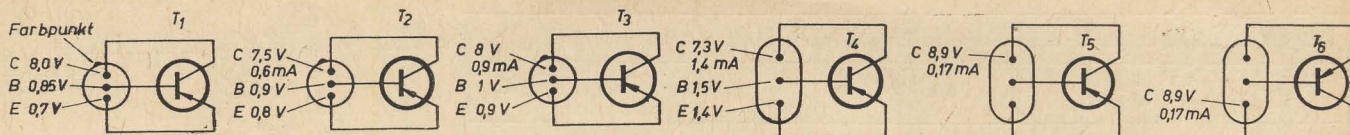


Bild 1: Schaltbild des Transistorsuper „Sternchen“ 57/69 TT-3

Pfeifen, Kreischen und Krachen

Kontrolle	Kontroll- ergebnis	Mögliche Fehler	Fehlerermittlung und Abhilfe
Batteriespannung unter Belastung messen	Batteriespannung zu niedrig (unter 50% der Nennspannung)	Batterie verbraucht	neue Batterie einsetzen
Empfänger mit eingestelltem Sender abhören	Batteriespannung besitzt den Wert der Nennspannung bzw. ist ausreichend groß		
	(Pfeifen)	ZF-Verstärker verstimmt	ZF-Bandfilterkreise nachabgleichen
		fehlerhafter Kondensator im Neutralisationszweig (C_{28} , C_{29}); in der 1. Variante des „Sternchen“ sind das die Kondensatoren (C_{11} , C_{16})	Kondensator probeweise austauschen
	(Kreischen)	ein Schwingkreis — auch ZF-Kreis — verstimmt	nachabgleichen
		Überbrückungskondensator hat Unterbrechung	mit entsprechendem Prüfkondensator überbrücken
	(Krachen)	Transistor defekt	vermutlich defekten Transistor gegen Prüftransistor austauschen
		Wackelkontakt im gesamten Empfänger	Fehler durch vorsichtiges Abklopfen der Schaltungen ermitteln
		schlechte Lötstelle auf der Leiterplatte	Lötstellen mit Lupe kontrollieren und schlechte Lötstellen nachlöten

Allgemeine Fehler (nach Angaben des Empfängerbesitzers)

Empfänger mit eingestelltem Sender überprüfen	Batterieverbrauch zu hoch	Elektrolytkondensator (C_{29}) hat zu hohen Reststrom oder Schluß; desgleichen auch einer der anderen Kondensatoren	Gesamtstromaufnahme messen und mit der Nennstromaufnahme vergleichen defekten Kondensator suchen und austauschen
		ein Transistor fehlerhaft (T_1 bis T_6)	Betriebswerte, insbesondere die Basis- und Emitterspannung des Transistors kontrollieren; vermutlich defekten Transistor probeweise austauschen und ersetzen
		Basisvorspannung der Gegentakt-Endstufentransistoren (oder eines anderen Transistors) falsch eingestellt	Basisvorspannung bzw. Kollektorstrom auf vorgeschriebenen Betriebswert einregeln
		Kriechstrom durch ausgelaufene Batterien	Batteriebehälter mit einer Aquadestillata-Essig-Lösung 10 : 1 reinigen, mit Aqua destillata gut abspülen und mit Heißluftdusche trocknen
	Sendereinstellung „läuft“ fort oder Scheinschwund	Batterie fast verbraucht	Batterie erneuern
		Stabilisationselement (Gnomelement EAaT 1,5 V) verbraucht (betr. Transistorsuper „Stern 3“)	Gnomelement EAaT 1,5 V erneuern
		Misch-Oszillatortransistor (T_1) fehlerhaft	Transistor probeweise austauschen
		Stabilisation arbeitet nicht mehr einwandfrei (betr. „Stern 3“)	Stabilisationstransistor mit Prüfgerät prüfen; eventuell austauschen (betr. „Stern 3“)
	Aussetzfehler und Krachen	Schalterkontakte (S_1) verschmutzt; bei manchen Geräten auch Wellenschalter	Schalterkontakte reinigen
		Misch-Oszillatortransistor (T_1) fehlerhaft	Transistor prüfen ²⁾ ; eventuell probeweise austauschen
		Batterieanschlüsse verschmutzt oder locker	Batterieanschlüsse reinigen und nachbiegen
		„kalte“ Lötstelle in der Leiterplatte	„kalte“ Lötstelle mit der Lupe suchen und nachlöten
		Riß in der gedruckten Leiterplatte	Riß mit der Lupe oder Leuchtprüfer feststellen und mit Drahtverbindung überbrücken

Allgemeine Fehler (nach Angaben des Empfängerbesitzers)

Kontrolle	Kontroll- ergebnis	Mögliche Fehler	Fehlerermittlung und Abhilfe
Aussetzfehler und Krachen		Abstimm-drehkondensator fehlerhaft; Plattenschluß oder Kontaktfehler	Drehkondensator in bekannter Weise untersuchen und reinigen; eventuell auslöten
		Stabilisationselement (Gnomelement EAaT 1,5 V) verbraucht; Stabilisations-Transistor oder Widerstand defekt (Stern 3)	Gnomelement erneuern; verdächtigen Widerstand auswechseln; Stabilisations-Transistor mit Prüfgerät prüfen ($\beta = 10$)
		Lautstärkeregler verschmutzt	Lautstärkeregler reinigen oder auswechseln
		ein Elektrolytkondensator hat teilweise Schluß	Prüfelko verwenden, eingebauten Elko einseitig auslöten
		ein Widerstand hat teilweise Unterbrechung	Prüfwiderstand anwenden, probeweise überbrücken
		ein Kondensator hat teilweise Unterbrechung	Prüfkondensator anwenden, probeweise überbrücken
		Demodulatordiode fehlerhaft	Prüfdiode anwenden

Rauschen

a) bei zuge-drehem Lautstärkeregler	Transistor im NF-Teil fehlerhaft (T_4)	Transistor probeweise auswechseln
b) bei aufgedrehem Lautstärkeregler	Transistor im HF-Teil fehlerhaft	

Bemerkung:

Rauschen bei zuge-drehem Lautstärkeregler hat oft seine Ursache im NF-Teil. Ein rauschender NF-Transistor kann durch Überbrücken seines Außenwiderstandes mit einem etwa 5- μ F-Elektrolytkondensator ermittelt werden. Hört das Rauschen hierbei auf, so ist der dazugehörige Transistor die Rauschquelle. In Geräten mit NF-Vorstufe rauscht zuerst der NF-Vorstufentransistor, dann erst der Treibertransistor. Es ist auch mitunter erforderlich, beide zu wechseln. Probieren, ob der Treibertransistor rauscht. Es darf gar nichts zu hören sein, wenn der Vorstufentransistor abgelötet ist (betr. „Stern 3“ und „Stern 4“).

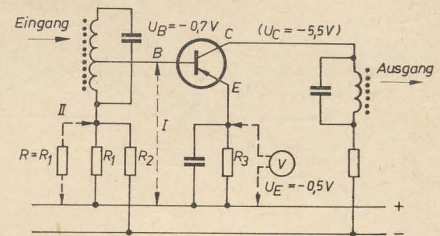


Bild 2: Prüfung einer Transistorstufe

¹⁾ Man kann mitunter auch beim Transistorempfänger die Fingerprobe anwenden. Zu diesem Zweck werden die Transistoranschlüsse mit einer Prüfspitze berührt, die mit der Hand Kontakt hat. Vom Lautsprecher wird dann ein zusätzliches Geräusch wiedergegeben. Ist kein Geräusch vorhanden, dann ist mit entsprechenden Hilfsmitteln (Signalgeber oder Signalverfolger mit Trennkondensator) vorzugehen.

²⁾ Transistorprüfung im Empfänger

Transistoren lassen sich am besten ohne auszulöten im Empfänger folgendermaßen prüfen (Bild 2): Mit einem Spannungsmesser von mindestens 20 k Ω /V wird zunächst der am Emittierwiderstand R_3 auftretende Spannungsabfall gemessen. Ohne den Spannungsmesser von R_3 abzuklemmen, wird dann die Basis B mit der Bezugsleitung direkt verbunden (I), wobei die Emitterspannung auf mindestens 0,1 V abfallen muß. Legt man parallel zum Basisspannteilerwiderstand R_1 einen gleich großen Widerstand R, dann muß die Emitterspannung auf die Hälfte abfallen. Die Basisspannung muß im Betrieb stets um 0,1 bis 0,2 V größer sein als die Emitterspannung. Einwandfreie Prüfergebnisse ergeben sich nur, wenn in der betreffenden Transistorstufe alle Bauelemente in Ordnung sind.

Referate

K. Posel

Das überbrückte T-Glied zur Messung induktiver Scheinwiderstände

Electronic Technology 39 (1962) H. 8

Doppel-T-Glieder zum Messen von Scheinwiderständen sind seit einiger Zeit bekannt. Das Meßobjekt bildet dabei ein Glied der Schaltung. Der Vorteil gegenüber der Brückenordnung besteht darin, daß der Generator am Eingang und der Indikator am Ausgang der Schaltung einseitig an Masse gelegt werden können (Bild 1).

Im Heft 8 (1962) der Zeitschrift „Electronic Technology“ beschreibt K. Posel eine vereinfachte Schaltung in Form des überbrückten T-Gliedes zum Messen induktiver Scheinwiderstände. Er geht dabei vom Doppel-T-Glied aus, das er in die äquivalente π -Schaltung umformt (Bild 2).

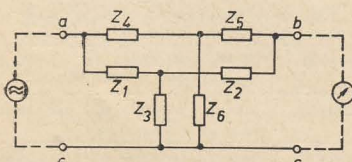


Bild 1: Doppel-T-Glied zur Messung von Scheinwiderständen

Bei Anwendung des Nullverfahrens muß der Widerstand Z_{ab} im abgeglichenen Zu-

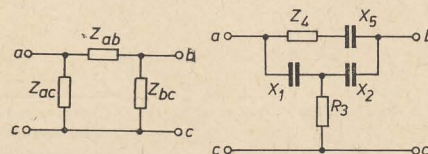


Bild 2: π -Ersatzschaltung

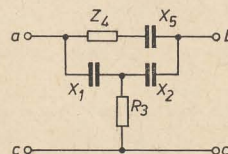


Bild 3: Überbrücktes T-Glied zur Messung induktiver Scheinwiderstände

stand der Schaltung unendlich groß sein. Aus dieser Bedingung folgt die Gleichung

$$N = Z_4 + Z_5 + \frac{Z_4 Z_5}{Z_6} + Z_1 + Z_2 + \frac{Z_1 Z_2}{Z_3}$$

die den Nennerausdruck des Widerstandes Z_{ab} darstellt. Bei Abgleich ist $N = 0$. Der Verfasser untersucht anhand dieser Gleichung die zweckmäßigste Einordnung des Meßobjektes in die Schaltung unter Berücksichtigung der Forderung, daß Wirk- und Blindanteil getrennt und unabhängig voneinander abgeglichen werden können. Am günstigsten verhält sich die Schaltung nach Bild 3, wobei sich die Schaltung gegenüber der Doppel-T-Anordnung durch Wegfall von Z_6 und durch Einsatz rein ohmscher und rein imaginärer Widerstände vereinfacht. Tritt an die Stelle von Z_4 das Meßobjekt $A + jB$, so gilt bei Abgleich die Beziehung

$$N = 0 = A + jB - jX_5 - jX_1 - jX_2 + \frac{jX_1 jX_2}{R_3}$$

Die Trennung von Real- und Imaginärteil liefert für das Meßobjekt

$$A = \frac{X_1 X_2}{R_3} \quad B = X_1 + X_2 + X_5$$

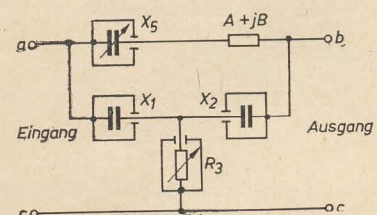


Bild 4: Meßschaltung mit eingezeichneten Abschirmungen

Als Abgleichglieder sind R_3 und X_5 vorgesehen. Den praktischen Aufbau der Meßeinrichtung zeigt Bild 4. Der besondere Vorteil dieser Anordnung ist, daß der Regler R_3 direkt und der Kondensator X_5 über den niedrigen Innenwiderstand des Generators an Masse liegen, so daß der Einfluß der Handkapazität während des Abgleichvorganges vernachlässigbar ist. Den Schluß der Arbeit bilden Untersuchungen über den Einfluß der Kondensatorverluste und Widerstandsinduktivitäten sowie über die Abgleichempfindlichkeit.

Wolff



VEB MESSELEKTRONIK BERLIN

Für den Elektronik-Amateur

sind unsere elektronischen, steckbaren Baugruppen in gedruckter Schaltung sehr gefragt.

Die Baugruppen bestehen aus Bauelementen, welche jeweils im Selbstbau montiert werden. Folgende Baugruppen sind erhältlich:

KUV 1	Kleinsignal-Universal-Verstärker
2 NV 1	Zweistufiger Niederfrequenz-Verstärker
KRS 1	Kombiniertes Regel- und Siebglied
GES 4-1	Gegentakt-Endstufe mit Treiber
EBS 1	HF-Eingangsbaustein
RG 1-1	Rufgenerator
2 GV 1-1	Zweistufiger Gleichstrom-Verstärker
EBS 2-1	HF-Eingangsbaustein

Ferner das Prüfgerät „Tobitest 2“ (Ton- und Bildtester)

Mit diesen Baugruppen lassen sich interessante, elektronische Geräte zusammenstecken, z. B.

**Taschenempfänger für Lautsprecher,
Taschenempfänger für Kopfhörer,
Wechselsprechanlage, Dämmerungsautomatik,
Plattenspielerverstärker, Telefon-Mithör-Verstärker**

Weitere Beispiele enthält die im Januar 1964 erscheinende Broschüre „Bausteintechnik für den Amateur“ (Reihe: Der praktische Funkamateur)

RFT-Industrielanden,
Bauteile und Ersatzteile,
Berlin O 34, Warschauer Str. 71,
Ecke Grünberger Straße
Telefon 58 23 90



Lautsprecher- Reparaturen

aufmagnetisieren – spritzen
sauber · schnell · preiswert

Mechanische Werkstatt
Alfred Pötz, Arnstadt/Thür.
Friedrichstr. 2, Telefon 2673

Herstellung von

**Kleintrafo, HF-Trafo,
Bandfilter usw.**

für die Rundfunk- und
Fernseh-Industrie über-
nimmt

Elektro-Apparatebau KG
Wernigerode, Mühlental 10

Schwerhörige!

Transistoren-Hörhilfen, Hörrohre, Ohrhörnchen
ab 16,- DM liefert

Rochhausen, Waldkirchen/Erzgeb.
auf Wunsch zur Probe, Reparaturen aller Systeme

PGH

„FUNKTECHNIK“

Dresden N 6, Obergraben 6
Fernruf: 5 30 74

Lautsprecher- Spezialwerkstatt

Reparatur aller
Fabrikate und Typen
bis 40 W

*Auch Kleinanzeigen
haben
große Wirkung!*

Zum Verkauf bieten wir an:

1 Störfeldstärkemeßgerät FM 62 neuwertig

**1 Wellenwiderstand-Breitbandtransformator
BT 467 A** neuwertig

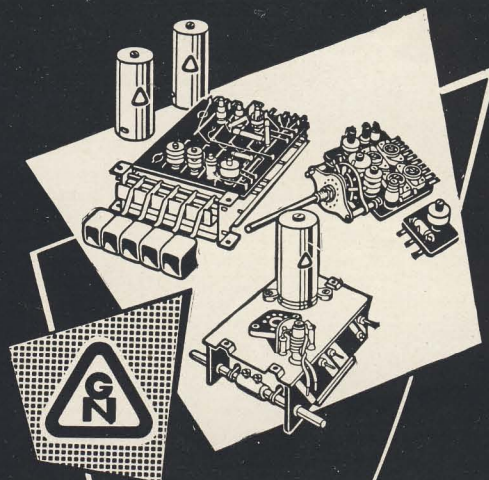
PGH Elektro-Wärmetechnik Halle/Saale N 10
Trothaer Straße 49

Zeman-Widerstände

0,05 Watt	radial
0,1 Watt	radial und axial
0,25 Watt	radial und axial
0,5 Watt	radial und axial
1 Watt	radial
2 Watt	radial



Josef Zeman i. V. – Rosswein



Spulensätze

für Rundfunkempfänger

UKW, Kurzwelle, Mittelwelle, Langwelle

Komplett verdrahtet, mit Dreh- und Tastenschaltern

GUSTAV NEUMANN KG

SPEZIALFABRIK FÜR SPULEN, TRANSFORMATOREN,
DRAHTWIDERSTÄNDE · CREUZBURG/WERRA THÜR.

Das Buch ist ein Wegweiser für Ingenieure, Techniker, Studierende und Schüler, aus dem grundsätzliche Hinweise dafür gewonnen werden können, welche technischen Lösungen für die Durchführung bestimmter Messungen vorhanden sind. Der Ratsuchende findet hier jene Angaben, aus denen er die richtige Auswahl eines Meßgeräts oder eines Meßverfahrens treffen kann.

F. HENZE

ATLAS DER MESSGERÄTE

Ohne auf die physikalisch-technische Wirkungsweise einzugehen, werden die Daten und technischen Eigenschaften handelsüblicher Meßgeräte mitgeteilt, aus denen ihre Eignung für den speziellen Anwendungsfall ersehen werden kann. Neben Meßgeräten für das Messen elektrischer Größen werden auch Meßgeräte für Länge, Druck, Temperatur, Drehzahl usw. beschrieben. Zahlreiche Bilder und Schaltungen, von denen einige der besseren Übersicht wegen im Mehrfarbendruck ausgeführt sind, helfen dem Leser, den gebotenen Stoff leichter zu übersehen.

16,7 x 24,0 cm,
114 Seiten,
etwa 180 teils mehrfarbige Bilder,
Halbleinen 15,- DM

Alle unsere Bücher sind durch jede Buchhandlung erhältlich. Sollte der gewünschte Titel dort nicht vorhanden sein, wird Ihre Bestellung direkt an den Verlag erbeten.

VEB VERLAG TECHNIK · BERLIN

